



UNIVERSIDAD NACIONAL AUTÓNOMA DE MÉXICO

FACULTAD DE ESTUDIOS SUPERIORES
ARAGÓN

“PROYECTO ESTRUCTURAL DE PUENTE “SIN NOMBRE”
CUERPO DERECHO, LOCALIZADO EN EL KM: 140+620,
DEL ARCO NORTE DE LA CIUDAD DE MÉXICO,
TRAMO ENTRONQUE MÉXICO –QUERÉTARO –
ATLACOMULCO, ESTADO DE MÉXICO”.

TESIS

QUE PARA OBTENER EL TÍTULO DE

INGENIERO CIVIL

P R E S E N T A:

RUBEN GUADARRAMA FLORES

ASESOR:

ING. VICENTE HERNÁNDEZ SÁNCHEZ



NEZAHUALCÓYOTL, ESTADO DE MÉXICO, FEBRERO 2018



Universidad Nacional
Autónoma de México

Dirección General de Bibliotecas de la UNAM

Biblioteca Central



UNAM – Dirección General de Bibliotecas
Tesis Digitales
Restricciones de uso

DERECHOS RESERVADOS ©
PROHIBIDA SU REPRODUCCIÓN TOTAL O PARCIAL

Todo el material contenido en esta tesis esta protegido por la Ley Federal del Derecho de Autor (LFDA) de los Estados Unidos Mexicanos (México).

El uso de imágenes, fragmentos de videos, y demás material que sea objeto de protección de los derechos de autor, será exclusivamente para fines educativos e informativos y deberá citar la fuente donde la obtuvo mencionando el autor o autores. Cualquier uso distinto como el lucro, reproducción, edición o modificación, será perseguido y sancionado por el respectivo titular de los Derechos de Autor.

AGRADECIMIENTOS

A MIS PADRES.

Por su esfuerzo en apoyar mis estudios, amor y grandes consejos que me han apoyado a lo largo de mi vida, alentándome a ser mejor día con día.

A MIS HERMANOS.

Por su confianza y apoyo.

A ASESOR DE MI TESIS ING. VICENTE HERNÁNDEZ SÁNCHEZ.

Por su tiempo, apoyo y compartir su conocimiento para el desarrollo de la presente tesis.

A LA UNIVERSIDAD NACIONAL AUTONOMA DE MEXICO.

Por permitirme realizar mis estudios profesionales obteniendo conocimientos de gran valor.

A LOS PROFESORES DE LA UNAM FES ARAGON.

Por sus enseñanzas y apoyo que me permitieron mi formación como ingeniero civil.

ÍNDICE GENERAL

INTRODUCCIÓN

| | |
|--|---|
| CAPÍTULO I. GENERALIDADES | 1 |
|--|---|

CAPÍTULO II. ESTUDIOS PRELIMINARES

| | |
|-----------------------------------|---|
| II.1. Datos de Localización..... | 2 |
| II.2. Estudio Topohidráulico..... | 3 |
| II.3. Estudio Geotécnico..... | 6 |

CAPÍTULO III. ANÁLISIS Y DISEÑO ESTRUCTURAL DE LA SUPERESTRUCTURA

| | |
|--|----|
| III.1. Especificaciones y reglamentos de diseño..... | 11 |
| III.2. Diseño de losa..... | 13 |
| III.2.1 Diseño de losa en la zona sobre pilas..... | 18 |
| III.3. Trabe presforzada..... | 25 |
| III.4. Diseño de trabe AASHTO tipo IV presforzada..... | 26 |
| III.5. Diseño de apoyos de neopreno integral..... | 41 |

CAPÍTULO IV. ANÁLISIS Y DISEÑO ESTRUCTURAL DE LA SUBESTRUCTURA

| | |
|--|----|
| IV.1. Especificaciones y reglamentos de diseño | 46 |
| IV.1.1. Diseño de caballete No.1..... | 49 |
| IV.1.2. Diseño de zapata..... | 54 |
| IV.1.3. Diseño de columnas..... | 57 |
| IV.1.4. Diseño de cabezal..... | 70 |
| IV.1.5. Diseño de tope sísmico..... | 72 |
| IV.2.1. Diseño de pila No.2..... | 75 |
| IV.2.2. Diseño de zapata..... | 79 |
| IV.2.3. Diseño de columnas..... | 82 |
| IV.2.4. Diseño de cabezal..... | 89 |
| IV.2.5. Diseño de tope sísmico..... | 91 |

| | |
|---|----|
| CAPÍTULO V. CONCLUSIONES Y RECOMENDACIONES | 94 |
|---|----|

| | |
|--------------------------|----|
| REFERENCIAS | 96 |
|--------------------------|----|

| | |
|---------------------------|----|
| BIBLIOGRAFÍA | 97 |
|---------------------------|----|

| | |
|--|----|
| ANEXO. PLANOS ESTRUCTURALES | 98 |
|--|----|

Índice de tablas y figuras

| | |
|-----------------------------------|--|
| Tabla 2.2.1 | Resumen de resultados estudio hidrológico. |
| Tabla 2.2.2 | Resumen de resultados estudio hidráulico. |
| Tabla 2.3.1 | Datos de los sondeos. |
| Tabla 2.3.4 | Desplante de los apoyos. |
| Tabla 3 | Ubicación de apoyos. |
| Tabla 3.1 | Datos geométricos. |
| Tabla 4.1 | Espectros de diseño para estructuras comunes |
| Figura 2.1 | Croquis de localización. |
| Figura 3.1 | Sección transversal del puente. |
| Figura 3.1.1 | Carga viva: Camión HS-20, T3-S3 y T3-S2-R4. |
| Figura 3.2.1 | Vista extruida del modelo (losa sobre pilas). |
| Figura 3.2.2 | Sección de losa sobre pila para diseño. |
| Figura 3.4.1 | IMT 66.5 (para claros menores de 30 m). |
| Figura 4 | Espectro de diseño. |
| Figura 4.1 | Regionalización sísmica de México. |
| Figura 4.1.1 | Elevación caballete No.1. |
| Figura 4.1.3 | Vista extruida del modelo caballete No.1. |
| Figura 4.1.3.1 | Sección de columna para diseño caballete No.1. |
| Figura 4.1.3.2 (recomendación) | Sección de columna para diseño caballete No.1 |
| Figura 4.2.1 | Elevación pila No.2. |
| Figura 4.2.3 | Vista extruida del modelo pila No.2. |
| Figura 4.2.3.1 | Sección de columna para diseño pila No.2. |

INTRODUCCIÓN.

Los puentes son de gran importancia debido a que son parte fundamental de las vías de comunicación, que han tenido un papel importante en la sociedad a lo largo del tiempo, que ha hecho uso de ellas por la necesidad de tener intercambios tanto económicos como culturales.

La construcción de puentes no es un tema de la actualidad, ya que se tiene conocimiento que en el esplendor del imperio romano se construyeron grandes puentes, que considerando el avance tecnológico de la época estos puentes presentaban características adecuadas de seguridad estructural.

Por otra parte, las características generales que permiten la definición de la estructuración del proyecto de un puente son: el material a utilizar, la longitud del claro total, la altura de rasante, la configuración del terreno, las condiciones de cimentación del suelo y las características del cuerpo de agua, si existiera éste en el caso de estudio. Por lo tanto es labor del ingeniero civil especialista en puentes analizar estas características y seleccionar la mejor alternativa para el caso particular en estudio.

Además para la correcta elaboración de un proyecto ejecutivo de un puente es necesario que los estudios preliminares, es decir, estudios topohidráulicos y geotécnicos, se realicen de manera correcta, con esto se evitara que en el proceso de construcción se presenten inconvenientes que podrían comprometer el comportamiento adecuado del puente.

El buen funcionamiento de un puente dependerá del adecuado análisis y diseño, del uso y del mantenimiento que se le dé a la estructura.

“Proyecto estructural de puente “sin nombre” cuerpo derecho, localizado en el km: 140+620, del arco norte de la ciudad de México, tramo entronque México –Querétaro – Atlacomulco, Estado de México”.

Concretamente en el análisis y diseño del puente se debe de tomar en cuenta que la estructura deberá de cumplir con las siguientes tres características:

Resistencia: todos los elementos del puente deben de soportar con un factor de seguridad razonable las cargas a las que estén expuestos.

Buen comportamiento: el puente debe de cumplir la fase de servicio para el cual fue proyectado sin presentar deformaciones fuera de las permisibles en sus elementos estructurales.

Durabilidad: el puente debe de cumplir con la vida útil para la cual fue diseñado.

En esta tesis se presenta el desarrollo estructural del puente “sin nombre” cuerpo derecho, localizado en el km: 140+620, del arco norte de la ciudad de México, tramo entronque México –Querétaro – Atlacomulco, estado de México.

El puente tiene una longitud total de 79.289 m, con una superestructura formada por 7 trabes AASHTO Tipo IV de concreto presforzado de 135 cm de peralte y 26 m de claro, con una losa continua de concreto de 20 cm de peralte y un ancho de sección transversal de 12.16 m. La superestructura estará apoyada sobre dos caballetes extremos a base de cabezales sobre columnas que estarán cimentadas con zapatas de concreto reforzado y dos pilas intermedias con la misma estructuración que los caballetes extremos.

Para el diseño estructural del puente se aplicaron las siguientes especificaciones:

- Standard Specifications for Highway Bridges of Association State Highway and Transportation Officials (AASHTO) 17th Edition 2002.
 - Términos de Referencia de la Secretaria de Comunicaciones y Transportes (SCT).
-

“Proyecto estructural de puente “sin nombre” cuerpo derecho, localizado en el km: 140+620, del arco norte de la ciudad de México, tramo entronque México –Querétaro – Atlacomulco, Estado de México”.

CAPÍTULO I

GENERALIDADES.

I.GENERALIDADES.

Para la elaboración del proyecto ejecutivo de un puente es necesario la elaboración de estudios previos, para obtener la siguiente información:

- **ESTUDIO TOPOHIDRAULICO.**
 - Planta topohidraulica del cruce.
 - Perfil detallado del eje del camino.
 - Perfil de construcción.
 - Secciones hidráulicas aguas arriba y aguas abajo.
 - Gasto de diseño.
 - Velocidad de la corriente.
 - Elevaciones de NADI (nivel de aguas de diseño) y NAMOC (nivel de aguas máximas observadas en campo).
 - Perfil general de socavación.
 - Reporte fotográfico.
- **ESTUDIO GEOTECNICO.**
 - Perfil estratigráfico del cruce.
 - Localización de sondeos.
 - Datos de los sondeos.
 - Capacidad de carga y asentamientos para el tipo de cimentación propuesta.
 - Desplantes de la cimentación propuesta.
 - Reporte fotográfico.

La longitud del puente depende de:

- La capacidad hidráulica.
- Cimentación propuesta.
- Las dimensiones de cuerpos flotantes.
- Cruce obligado.

“Proyecto estructural de puente “sin nombre” cuerpo derecho, localizado en el km: 140+620, del arco norte de la ciudad de México, tramo entronque México –Querétaro – Atlacomulco, Estado de México”.

CAPÍTULO II

ESTUDIOS PRELIMINARES.

“Proyecto estructural de puente “sin nombre” cuerpo derecho, localizado en el km: 140+620, del arco norte de la ciudad de México, tramo entronque México –Querétaro – Atlacomulco, Estado de México”.

II.1 DATOS DE LOCALIZACION.

Cruce: Puente “Sin Nombre”.

KM: 140+620.

Carretera: Arco Norte de la Ciudad de México.

Tramo: Entronque México-Querétaro-Atlacomulco.

Origen: Km 0+000 Carretera Atlacomulco-Puebla.

Figura 2.1 Croquis de localización



Fuente: Google maps. (2017). [Mapa]. Recuperado de: <https://www.google.com.mx/maps/place/Acambay,+Estado+de+M%C3%A9xico/@19.9230703,-99.8504662,14.38z/data=!4m5!3m4!1s0x85d2569b6e9c7fef:0x27be006389cfda07!8m2!3d19.9543397!4d-99.8441134>.

II.2 ESTUDIO TOPOHIDRÁULICO.

La corriente nace a 4.46 km del sitio de cruce y desemboca a 2 km en el valle de Acambay, la cual no provoca influencia hidráulica en el cruce. El área de la cuenca drenada hasta el cruce es de 6.77 km² y pertenece a la Región Hidrológica No. 12 (Lerma-Santiago), según la clasificación de la CNA (Comisión Nacional del Agua). En la zona del cruce la vegetación se puede clasificar como pastizales y la topografía es de lomerío. El cauce en la zona del cruce es estable, sensiblemente recto y encajonado. El escurrimiento es de carácter torrencial y el tipo y longitud máxima de los cuerpos flotantes son ramas y basura.

El periodo de lluvias en la región comprende los meses de agosto y octubre y la precipitación media anual en la cuenca es de 900mm. El cauce presenta erosión marginal y algunas caídas, aproximadamente a 35 m aguas abajo del cruce existe una caída de 2 m de altura. La geología superficial en el fondo del cauce es arena y arcilla al igual que en ambos márgenes.

En el puente del cuerpo existente del cruce en estudio se ha colocado debajo de la estructura material producto de la construcción de terracerías, del lado aguas arriba el agua fluye por debajo del material colocado.

II.2.1 ESTUDIO HIDROLÓGICO.

Los métodos semiempíricos aplicados son: Hidrograma Triangular Unitario, Ven Te Chow y Racional, obteniendo resultados de cada método, mencionando que de acuerdo a sus hipótesis y rangos de aplicación se opta por utilizar como resultado final lo obtenido con el método del Hidrograma Unitario Triangular (HUT).

“Proyecto estructural de puente “sin nombre” cuerpo derecho, localizado en el km: 140+620, del arco norte de la ciudad de México, tramo entronque México –Querétaro – Atlacomulco, Estado de México”.

El estudio hidrológico se considera confiable, ya que la estación pluviométrica 150001 Acambay cuenta con 49 años de registro de precipitación pluvial de 1957 a 2006.

Tabla 2.2.1 Resumen de resultados estudio hidrológico

| Tr=100 años Gasto (m ³ /s) | Tr=500 años Gasto (m ³ /s) | Tr=1000 años Gasto (m ³ /s) |
|--|--|---|
| 68 | 95 | 107 |

II.2.2 ESTUDIO HIDRÁULICO.

Para el estudio fue ocupado el software de simulación hidráulica Hec Ras, utilizando la información recabada del levantamiento topográfico 200 m aguas arriba y 200 m aguas abajo, para la simulación del escurrimiento se utilizaron secciones a cada 20 m.

Los niveles de agua utilizados en los cálculos se consideran confiables, ya que fueron proporcionados por personas que habitan en las cercanías al cruce en estudio.

Tabla 2.2.2 Resumen de resultados estudio hidráulico

| | |
|--|----------------------|
| Namin, Nivel de aguas mínimas: | Cauce Seco |
| NAMOC, Nivel de aguas máximas observadas en campo: | 2192.18 m |
| NADI, Nivel de aguas de diseño: | 2592.83 m |
| Gasto obtenido: | 18 m ³ /s |
| Velocidad máxima: | 1.3 m/s |
| Duración de la creciente: | 1 hora |

“Proyecto estructural de puente “sin nombre” cuerpo derecho, localizado en el km: 140+620, del arco norte de la ciudad de México, tramo entronque México –Querétaro – Atlacomulco, Estado de México”.

II.2.3 INFORME FOTOGRÁFICO.



- a) Vista hacia aguas abajo, se aprecia la zona en donde se construirá el nuevo cuerpo



- b) Vista hacia aguas arriba, se aprecia la curva que tiene el arroyo Sin Nombre.

La información presentada fue tomada del Estudio Topohidraulico e Hidrológico del Proyecto Ejecutivo: Puente “Sin Nombre” Km: 140+620, elaborado por JAAICSA.

II.3 ESTUDIO GEOTÉCNICO.

Como parte de los estudios preliminares se realizó la ubicación de la estructura y la propuesta de los apoyos de la misma para así ubicar el sitio de los sondeos de exploración y poder efectuar el estudio geotécnico.

II.3.1 EXPLORACIÓN Y MUESTREO.

Se realizaron tres sondeos ubicados sobre el eje de trazo y localizados a lo largo del claro de la estructura, usando la técnica de penetración estándar con máquina perforadora, alternando con el uso de barril muestrador NQ cuando se detectó un estrato rocoso.

Tabla 2.3.1 Datos de los sondeos

| SONDEO | UBICACIÓN (Km) | ELEVACIÓN (m) | PROFUNDIDAD (m) |
|--------|-------------------|------------------|--------------------|
| S-1 | 140+620.00 | 2592.07 | 10.00 |
| S-2 | 140+590.00 | 2591.88 | 10.00 |
| S-3 | 140+565.00 | 2595.57 | 10.00 |

II.3.2 PRUEBAS DE LABORATORIO.

- Clasificación manual y visual del suelo según el Sistema Unificado de Clasificación de Suelos (SUCS).
- Contenido de agua (w).
- Límites de consistencia (Limite liquido LL y Limite Plástico LP).
- Porcentaje de finos
- Granulometría
- Resistencia a la compresión simple

II.3.3 ESTRATIGRAFIA DEL SUELO.

De acuerdo a las columnas estratigráficas resultado de los sondeos realizados, se detectan dos estratos básicos que en forma descendente se describen a continuación:

Estrato-1: Detectado superficialmente con un espesor máximo de 7.5 m, se tiene relleno superficial heterogéneo localizado únicamente en el sondeo No.2.

Estrato-2: Subyaciendo el estrato anterior y hasta la máxima profundidad explorada de 10.00m, se tiene roca de origen ígneo (andesita), fracturada, gris claro, de calidad pobre a regular.

II.3.4. ANALISIS DE CIMENTACIÓN

De acuerdo con las características de los materiales detectados en los sondeos exploratorios, se recomienda una cimentación de tipo superficial a base de zapatas de concreto armado desplantadas sobre un a roca de origen ígneo (andesita).

Para el cálculo de la capacidad de carga de esta propuesta de cimentación se empleó el criterio propuesto en las normas AASHTO 17th Edition-2002 section 4.4.8.1.2. Considerando un factor de seguridad de 2.5 se obtuvo una capacidad de carga admisible de 50 ton/m² para todos los apoyos.

Para el cálculo de los asentamientos inmediatos se empleó el criterio propuesto en las normas AASHTO 17th Edition-2002 section 4.4.8.2.2. De donde se obtuvo un asentamiento inmediato de 0.01 m para los dos apoyos extremos del puente.

“Proyecto estructural de puente “sin nombre” cuerpo derecho, localizado en el km: 140+620, del arco norte de la ciudad de México, tramo entronque México –Querétaro – Atlacomulco, Estado de México”.

La elevación de desplante para cada uno de los apoyos de la estructura se indica a continuación:

Tabla 2.3.4 Desplante de los apoyos

| APOYO | ELEVACIÓN DESPLANTE |
|----------------|---------------------|
| Caballete No.1 | 2590.00 |
| Pila No.2 | 2582.00 |
| Pila No.3 | 2584.00 |
| Caballete No.4 | 2587.00 |

Se recomienda que una vez efectuada las excavaciones para alojar las zapatas, se coloque en el fondo una plantilla de concreto simple con un $f'c = 100 \text{ kg/cm}^2$, de 5.00 cm de espesor.

Para fines de diseño estructural se deberá considerar la estructura dentro de la región sísmica B con un tipo de suelo I correspondiente a un terreno firme, basándose en el Manual de Diseño por Sismo del Manual de Diseño de Obras Civiles de la Comisión Federal de Electricidad, (1994).

II.3.5. REPORTE FOTOGRÁFICO



a) Vista general del equipo de perforación para los sondeos exploratorios.

“Proyecto estructural de puente “sin nombre” cuerpo derecho, localizado en el km: 140+620, del arco norte de la ciudad de México, tramo entronque México –Querétaro – Atlacomulco, Estado de México”.



b) Detalle del barreno utilizado para el sondeo S-2

La información presentada fue tomada del Estudio de Cimentación del Proyecto Ejecutivo: Puente “Sin Nombre” Km: 140+620, elaborado por JAAICSA.

“Proyecto estructural de puente “sin nombre” cuerpo derecho, localizado en el km: 140+620, del arco norte de la ciudad de México, tramo entronque México –Querétaro – Atlacomulco, Estado de México”.

CAPÍTULO III

ANÁLISIS Y DISEÑO

ESTRUCTURAL DE LA

SUPERESTRUCTURA.

“Proyecto estructural de puente “sin nombre” cuerpo derecho, localizado en el km: 140+620, del arco norte de la ciudad de México, tramo entronque México –Querétaro – Atlacomulco, Estado de México”.

De acuerdo con los estudios preliminares el puente se resolverá con una superestructura formada por 7 trabes AASHTO Tipo IV de concreto presforzado de 135 cm de peralte y 26 m de claro, trabajando conjuntamente con una losa continua de concreto de 20 cm de peralte y un ancho de sección transversal de 12.16 m. La superestructura estará apoyada sobre dos caballetes extremos a base de cabezales sobre columnas que estarán cimentadas con zapatas de concreto reforzado y dos pilas intermedias con la misma estructuración que los caballetes extremos.

A continuación se indica el cadenamamiento de la ubicación de los apoyos del puente:

Tabla 3 Ubicación de apoyos

| APOYO | ESTACIÓN |
|----------------|-------------|
| Caballote No.1 | 140+554.707 |
| Pila No.2 | 140+581.030 |
| Pila No.3 | 140+607.673 |
| Caballote No.4 | 140+633.996 |

Del análisis geométrico del alineamiento horizontal y vertical se obtienen las elevaciones de rasante del puente, a continuación se presenta las elevaciones de rasante sobre el eje de trazo para cada uno de los apoyos.

Tabla 3.1 Datos geométricos

| APOYO | ELEVACIÓN RASANTE (m) |
|----------------|-----------------------|
| Caballote No.1 | 2607.164 |
| Pila No.2 | 2605.901 |
| Pila No.3 | 2604.622 |
| Caballote No.4 | 2603.364 |

“Proyecto estructural de puente “sin nombre” cuerpo derecho, localizado en el km: 140+620, del arco norte de la ciudad de México, tramo entronque México –Querétaro – Atlacomulco, Estado de México”.

III.1 ESPECIFICACIONES Y REGLAMENTOS DE DISEÑO.

Para el diseño estructural de los elementos que conforman la superestructura se consideraron las siguientes especificaciones:

- Standard Specifications for Highway Bridges of Association State Highway and Transportation Officials (AASHTO) 17th Edition 2002.
- Términos de Referencia de la SCT.
- Manual de Diseño de Obras Civiles de la Comisión Federal de Electricidad, (1994).

En particular se consideraron de AASHTO las siguientes secciones:

- Section 3 LOADS
- Section 8 REINFORCED CONCRETE
8.16 STRENGTH DESIGN METHOD (LOAD FACTOR DESIGN)
- Section 9 PRESTRESSED CONCRETE
- Section 14 BEARINGS

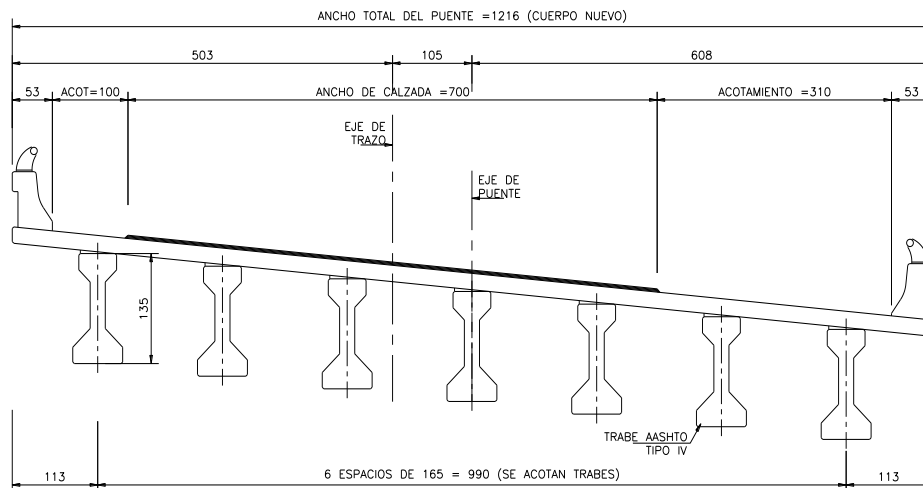
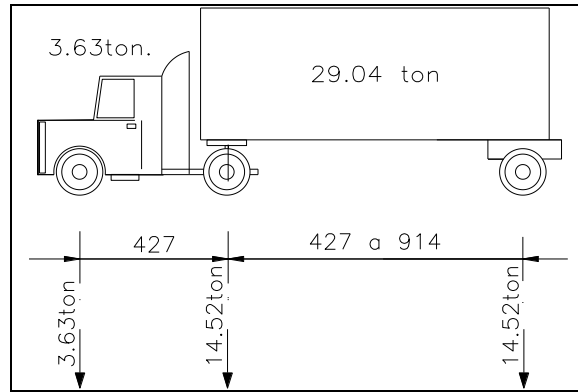


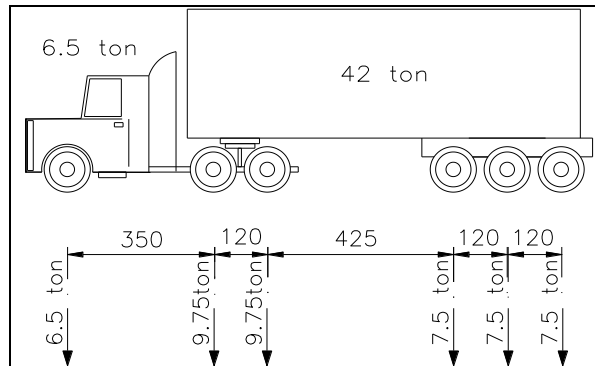
Figura 3.1 Sección transversal del puente

“Proyecto estructural de puente “sin nombre” cuerpo derecho, localizado en el km: 140+620, del arco norte de la ciudad de México, tramo entronque México –Querétaro – Atlacomulco, Estado de México”.

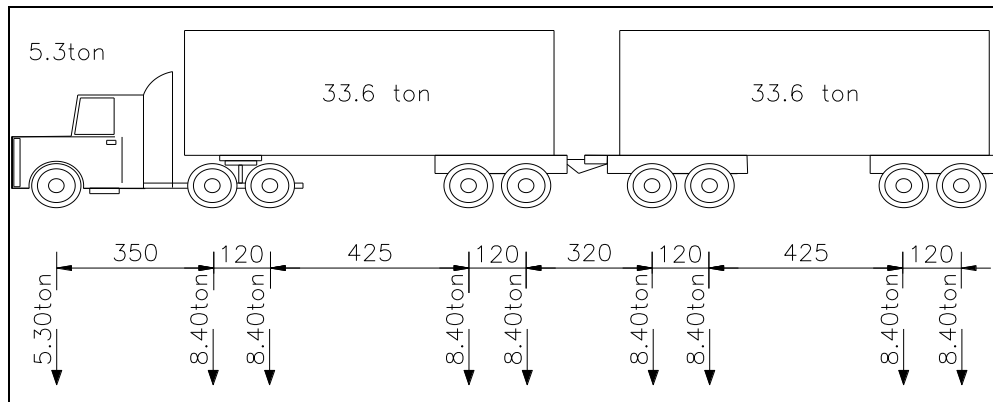
Para el análisis estructural de los elementos de la superestructura se considerara los siguientes camiones de carga viva:



CAMIÓN HS-20 PESO=32.67 TON



CAMIÓN T3-S3 PESO=48.5 TON



CAMIÓN T3-S2-R4 PESO=72.5 TON

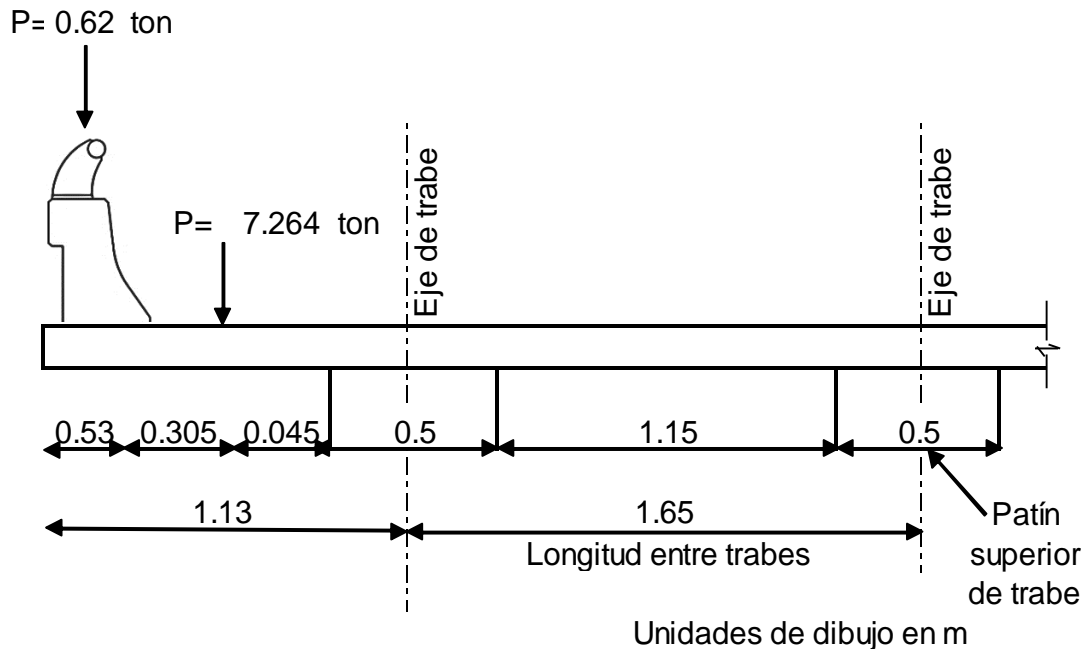
Figura 3.1.1 Carga viva: Camión HS-20, T3-S3 y T3-S2-R4.

“Proyecto estructural de puente “sin nombre” cuerpo derecho, localizado en el km: 140+620, del arco norte de la ciudad de México, tramo entronque México –Querétaro – Atlacomulco, Estado de México”.

III.2 DISEÑO DE LOSA

DATOS:

| | | |
|-------------------------------------|-------|--------------------|
| (f'c) Concreto= | 250 | kg/cm ² |
| (fy) Acero= | 4200 | kg/cm ² |
| Peso volumétrico concreto= | 2.4 | ton/m ³ |
| Peso volumétrico carpeta asfáltica= | 2.2 | ton/m ³ |
| Factor continuidad >3 soportes= | 0.8 | |
| Ancho total (puente)= | 12.16 | m |
| No. De traves= | 7 | pzas |
| Separación entre traves= | 1.65 | m |
| Patín superior trabe= | 0.50 | m |
| Peso de guarnición y parapeto= | 0.62 | ton/ml |
| Espesor de carpeta= | 0.12 | m |
| Peralte de losa= | 0.20 | m |
| Carga viva= | 7.264 | ton |
| Longitud efectiva entre traves (S)= | 1.40 | m |



Para claros comprendidos entre: 0.610 m a 7.315 m CUMPLE

“Proyecto estructural de puente “sin nombre” cuerpo derecho, localizado en el km: 140+620, del arco norte de la ciudad de México, tramo entronque México –Querétaro – Atlacomulco, Estado de México”.

Para el diseño de la losa se consideró para la carga viva el camión tipo HS-20 ya que representa la descarga por rueda más desfavorable que produce los mecánicos máximos a la losa. Considerando las especificaciones AASHTO Section 3.24.

IMPACTO:

$$I = \frac{15.24}{L + 38} = \frac{15.24}{1.40 + 38.1} = 0.3858 > 0.30 \text{ Por lo tanto } I = 1.30$$

REFUERZO PERPENDICULAR AL TRAFICO (EN VOLADO)

$$L_v = 0.148\text{ft}$$

$$E = 0.8 \times L_v + 3.75 = 3.869\text{ft}$$

$$\begin{aligned} \text{MOMENTO CV+I} &= \frac{P \times L_v \times \text{Imp.}}{E} \\ &= \frac{7.264 \times 0.045 \times 1.30}{1.18} \\ &= 0.362 \text{ ton-m/ml} \end{aligned}$$

MOMENTO DE CM

Guarnición y parapeto:

$$M_{cm} = PL = 0.62 \times 0.615 = 0.381 \text{ ton-m/ml}$$

Losa:

$$M_{cm} = \frac{wL^2}{2} = \frac{0.48 \times 0.88^2}{2} = 0.186 \text{ ton-m/ml}$$

$$\text{Carpeta: } M_{cm} = \frac{wL^2}{2} = \frac{0.26 \times 0.35^2}{2} = 0.016 \text{ ton-m/ml}$$

$$\Sigma \text{ MOMENTO CM} = 0.583 \text{ ton-m/ml}$$

“Proyecto estructural de puente “sin nombre” cuerpo derecho, localizado en el km: 140+620, del arco norte de la ciudad de México, tramo entronque México –Querétaro – Atlacomulco, Estado de México”.

$$\mathbf{Mu = 1.3 (Mcm+1.67*Mcv+i)}$$

$$\mathbf{Mu = 1.544 \text{ ton-m/ml}}$$

$$M_R = \Phi \left[A_s * f_y \left(d - \frac{a}{2} \right) \right] \quad \text{Donde; } a = \frac{A_s * f_y}{0.85 * f'c * b}$$

Se proponen vars. Del No. = 4 y del No. 4
 En paquetes de = 1
 Separación de = 20 cm
 Recubrimiento = 5 cm
 Área de las barras = 2.54 cm²
 Área de acero (As) = 12.7 cm²
 Peralte total = 20 cm
 Peralte efectivo (d) = 15 cm
 b = 100 cm
 a = 2.51

$$\mathbf{MR = 6.60 \text{ ton-m/ml} > \mathbf{Mu = 1.54 \text{ ton-m/ml} \quad \text{Bien}}$$

REFORZAMIENTO PERPENDICULAR AL TRAFICO (ENTRE TRABES)

$$\begin{aligned} \mathbf{MOMENTO CV+I} &= \frac{(S + 0.61)}{9.74} \times P(\text{HS-20}) \times \text{Imp} \times F_{\text{Cont.}} = \\ &= \frac{(1.40 + 0.61)}{9.74} \times 7.264 \times 1.30 \times 0.8 = \\ &= \mathbf{1.559 \text{ ton-m/ml}} \end{aligned}$$

MOMENTO DE CM

Losa:

$$M_{cm} = \frac{wL^2}{8} = \frac{0.48 \times 1.40^2}{8} = 0.118 \text{ ton-m/ml}$$

Carpeta:
$$M_{cm} = \frac{wL^2}{8} = \frac{0.26 \times 1.40^2}{8} = 0.065 \text{ ton-m/ml}$$

$$\mathbf{\Sigma \text{ MOMENTO CM} = 0.182 \text{ ton-m/ml}}$$

“Proyecto estructural de puente “sin nombre” cuerpo derecho, localizado en el km: 140+620, del arco norte de la ciudad de México, tramo entronque México –Querétaro – Atlacomulco, Estado de México”.

$$\mathbf{Mu = 1.3 (Mcm+1.67*Mcv+i)}$$

$$\mathbf{Mu = 3.622 \text{ ton-m/ml}}$$

$$M_R = \Phi \left[A_s * f_y \left(d - \frac{a}{2} \right) \right] \quad \text{Donde; } a = \frac{A_s * f_y}{0.85 * f'_c * b}$$

Se proponen vars. Del No. = 4
En paquetes de = 1
Separación de = 20 cm
Recubrimiento = 3.5 cm
Área de las barras = 1.27 cm²
Área de acero (As) = 6.35 cm²
Peralte total = 20 cm
Peralte efectivo (d) = 16.5 cm
b = 100 cm
a = 1.26

$$\mathbf{MR = 3.810 \text{ ton-m/ml} > \mathbf{Mu = 3.62 \text{ ton-m/ml} \quad \text{Bien}}$$

REFORZAMIENTO POR DISTRIBUCIÓN (ENTRE TRABES)

Como máximo será: 67 %

$$\frac{220}{\text{Raíz (S) }} = \frac{220}{\text{Raíz(4.593) }} = 103 \quad \%$$

Acero principal = 6.35 cm²

$$0.67 \quad \times \quad 6.35 \text{ cm}^2 = 4.25 \text{ cm}^2$$

Se proponen vars. Del No. = 3
En paquetes de = 1
Separación de = 25 cm
Área de las barras = 0.71 cm²
Área de acero (As) = 2.84 cm²
b = 100 cm

El % es = 44.7 % Cumple con el acero por distribución

“Proyecto estructural de puente “sin nombre” cuerpo derecho, localizado en el km: 140+620, del arco norte de la ciudad de México, tramo entronque México –Querétaro – Atlacomulco, Estado de México”.

ACERO POR TEMPERATURA

De acuerdo AASHTO Section 8.20:

El área por temperatura esta dada por 1/8 de pulgada al cuadrado por pie

$$\text{Área por temperatura} = \frac{2.54^2}{8} \times \frac{100 \text{ cm}}{30.48 \text{ ft}} = 2.65 \text{ cm}^2/\text{ml}$$

Se proponen vars. Del No. = 4
En paquetes de = 1
Separación de = 25 cm
Área de las barras = 1.27 cm²
Área de acero (As) = 5.08 cm²
b = 100 cm

Área propuesta = 5.08 cm² Cumple con el acero por Temperatura

III.2.1 DISEÑO DE LOSA EN LA ZONA SOBRE PILAS.

La estructura en estudio tendrá una superestructura de tipo semi-continuo, integrada por traveses AASHTO tipo IV presforzadas simplemente apoyadas trabajando conjuntamente con una losa continua en la longitud total del puente.

La semicontinuidad del puente se logrará desligando la losa de la trabe, colocando sobre los extremos de la trabe en la zona de las pilas intermedias una placa de neopreno simple de 0.5 cm de espesor y 200 cm a lo largo de la trabe, evitando que la trabe trabaje en sección compuesta en esta zona del puente. Debido a esto se producirán elementos metálicos, que no están considerados en el diseño de la trabe presforzada. Estas solicitaciones serán absorbidas por la losa.

Por lo que la losa en esta zona será diseñada a flexo compresión para garantizar el buen comportamiento estructural del tablero semi-continuo. Para el análisis estructural de la losa se elaboró un modelo matemático considerando las siguientes cargas:

1. Carga muerta por trabe producida por todos los elementos de la superestructura.
2. Carga viva producida por dos carriles de circulación del camión T3-S2-R4
3. Para el estudio de la respuesta sísmica de la estructura se realizó un análisis modal espectral, el espectro utilizado se definió basándose en el Manual de Diseño por Sismo del Manual de Diseño de Obras Civiles de la Comisión Federal de Electricidad, (1994), considerando la zonificación sísmica B y terreno tipo I.

“Proyecto estructural de puente “sin nombre” cuerpo derecho, localizado en el km: 140+620, del arco norte de la ciudad de México, tramo entronque México –Querétaro – Atlacomulco, Estado de México”.

MODELO DE ANALISIS

Considerando las cargas descritas anteriormente y la geometría de la superestructura, se elabora el modelo de análisis en el programa Midas Civil 2011 (v2.1)

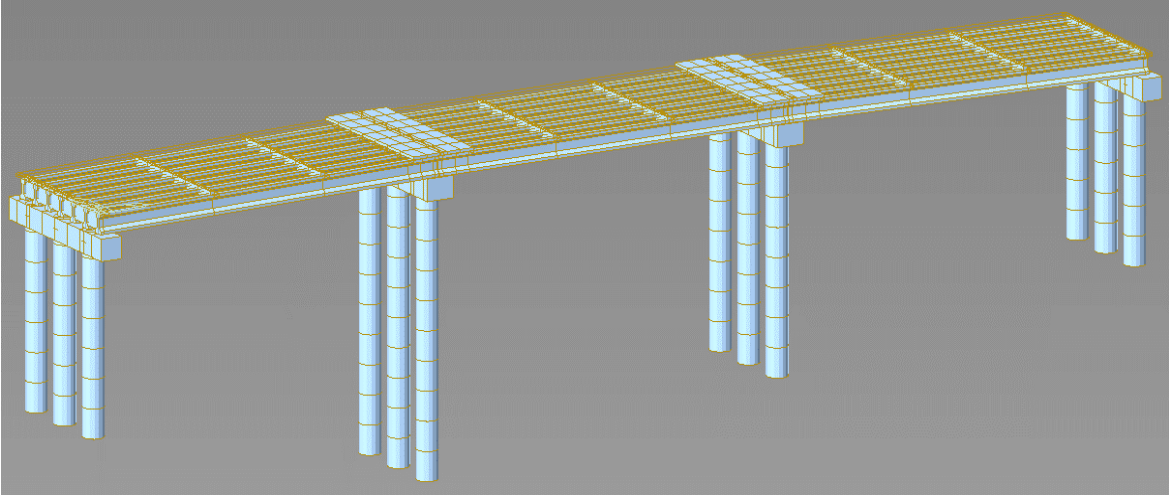


Figura 3.2.1 Vista extruida del modelo (losa sobre pilas)

ELEMENTOS MECANICOS OBTENIDOS DEL MODELO PARA LA LOSA

| CONDICION | N(ton) | M _{long} (ton-m) | M _{tran} (ton-m) | V _{tran} (ton) |
|--------------------|--------|---------------------------|---------------------------|-------------------------|
| Carga Muerta | 12.9 | 9.1 | 0.7 | 7.4 |
| Carga Viva | 8.9 | 3.8 | 12.8 | 2.7 |
| Sismo Longitudinal | 13.2 | 3.6 | 7.0 | 8.2 |
| Sismo Transversal | 14.5 | 4.6 | 7.8 | 8.3 |

1.- Revisión Grupo I :

1.3 (Carga muerta+(1.67 Carga viva)

| | |
|--------------------------------|----------------------------------|
| N= 36.1 ton | N= 79.6 kips |
| M _{LONG} = 20.1 ton-m | M _{LONG} = 145.2 kip-ft |
| M _{TRAN} = 28.7 ton-m | M _{TRAN} = 207.6 kip-ft |
| V _{TRAN} = 15.5 ton | V _{TRAN} = 34.1 kips |

2.- Revisión Grupo VII:

1.3 (Carga muerta + Sismo longitudinal)

| | |
|--------------------------------|----------------------------------|
| N= 33.9 ton | N= 74.8 kips |
| M _{LONG} = 16.5 ton-m | M _{LONG} = 119.4 kip-ft |
| M _{TRAN} = 10.0 ton-m | M _{TRAN} = 72.4 kip-ft |
| V _{LONG} = 20.3 ton | V _{TRAN} = 44.7 kips |

1.3 (Carga muerta + Sismo Transversal)

| | |
|--------------------------------|----------------------------------|
| N= 35.6 ton | N= 78.5 kips |
| M _{LONG} = 17.8 ton-m | M _{LONG} = 128.8 kip-ft |
| M _{TRAN} = 11.1 ton-m | M _{TRAN} = 79.9 kip-ft |
| V _{LONG} = 20.4 ton | V _{TRAN} = 45.0 kips |

Se hace la conversión de unidades para ingresar los valores de elementos mecánicos al programa pcaColumn-version3.63 para el diseño de la losa a **flexo compresión**.

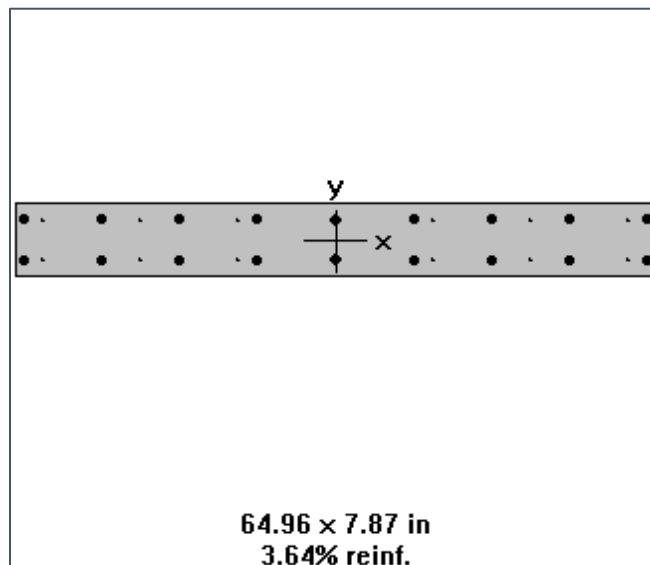


Figura 3.2.2 Sección de losa sobre pila para diseño

“Proyecto estructural de puente “sin nombre” cuerpo derecho, localizado en el km: 140+620, del arco norte de la ciudad de México, tramo entronque México –Querétaro – Atlacomulco, Estado de México”.

11/12/17 pcaColumn V3.63 - PORTLAND CEMENT ASSOCIATION -
 00:52:33 Licensed to: Licensee name not yet specified.
 sobre pilas

Page 1
 losa

```

0000000 00000 00000 00000 00000 00
00 00 00 00 00 00 00 00 00 00 00
00 00 00 00 00 00 00 00 00 00 00
00 00 00 00 00 00 00 00 00 00 00
00 00 00 000000 00 00 00 00
0000000 00 00 00 00 00 00 00 00
00 00 00 00 00 00 00 00 00
00 00000 00 00 00000 00000 00000 (TM)
    
```

=====
 Computer program for the Strength Design of Reinforced Concrete Sections
 =====

Licensee stated above acknowledges that Portland Cement Association (PCA) is not and cannot be responsible for either the accuracy or adequacy of the material supplied as input for processing by the pcaColumn(tm) computer program. Furthermore, PCA neither makes any warranty expressed nor implied with respect to the correctness of the output prepared by the pcaColumn(tm) program. Although PCA has endeavored to produce pcaColumn(tm) error free, the program is not and can't be certified infallible. The final and only responsibility for analysis, design and engineering documents is the licensees. Accordingly, PCA disclaims all responsibility in contract, negligence or other tort for any analysis, design or engineering documents prepared in connection with the use of the pcaColumn(tm) program.

11/12/17 pcaColumn V3.63 - PORTLAND CEMENT ASSOCIATION -
 00:52:33 Licensed to: Licensee name not yet specified.
 sobre pilas

Page 2
 losa

General Information:

```

=====
File Name: C:\Users\Admin\Documents\140+620\archivo fuente\PUENTE 140+620
MEMORIAS\losa sobre pilas.col
Project: PUENTE SIN NOMBRE 140+620
Column: LOSA SOBRE PILAS           Engineer: GFR
Code:   ACI 318-02                 Units: English

Run Option: Investigation           Slenderness: Not considered
Run Axis:   Biaxial                 Column Type: Structural
    
```

Material Properties:

```

=====
f'c = 3.56 ksi           fy = 60 ksi
Ec  = 3400.95 ksi       Es  = 29000 ksi
Ultimate strain = 0.003 in/in
Beta1 = 0.85
    
```

“Proyecto estructural de puente “sin nombre” cuerpo derecho, localizado en el km: 140+620, del arco norte de la ciudad de México, tramo entronque México –Querétaro – Atlacomulco, Estado de México”.

Section:

=====

Rectangular: Width = 64.96 in Depth = 7.87 in

Gross section area, $A_g = 511.235 \text{ in}^2$
 $I_x = 2638.69 \text{ in}^4$ $I_y = 179776 \text{ in}^4$
 $X_o = 0 \text{ in}$ $Y_o = 0 \text{ in}$

Reinforcement:

=====

Rebar Database: ASTM A615

| Size | Diam (in) | Area (in ²) | Size | Diam (in) | Area (in ²) | Size | Diam (in) | Area (in ²) |
|------|-----------|-------------------------|------|-----------|-------------------------|------|-----------|-------------------------|
| # 3 | 0.38 | 0.11 | # 4 | 0.50 | 0.20 | # 5 | 0.63 | 0.31 |
| # 6 | 0.75 | 0.44 | # 7 | 0.88 | 0.60 | # 8 | 1.00 | 0.79 |
| # 9 | 1.13 | 1.00 | # 10 | 1.27 | 1.27 | # 11 | 1.41 | 1.56 |
| # 14 | 1.69 | 2.25 | # 18 | 2.26 | 4.00 | | | |

Confinement: Tied; #3 ties with #10 bars, #4 with larger bars.
 $\phi(a) = 0.8$, $\phi(b) = 0.9$, $\phi(c) = 0.65$

Pattern: Irregular

Total steel area, $A_s = 18.60 \text{ in}^2$ at 3.64%

| Area in ² | X (in) | Y (in) | Area in ² | X (in) | Y (in) | Area in ² | X (in) | Y (in) |
|----------------------|--------|--------|----------------------|--------|--------|----------------------|--------|--------|
| 0.88 | -31.5 | 2.1 | 0.20 | -29.5 | 2.1 | 0.88 | -23.6 | 2.1 |
| 0.20 | -19.7 | 2.1 | 0.88 | -15.8 | 2.1 | 0.20 | -9.8 | 2.1 |
| 0.88 | -7.9 | 2.1 | 1.08 | 0.0 | 2.1 | 0.88 | 7.9 | 2.1 |
| 0.20 | 9.8 | 2.1 | 0.88 | 15.8 | 2.1 | 0.20 | 19.7 | 2.1 |
| 0.88 | 23.6 | 2.1 | 0.20 | 29.5 | 2.1 | 0.88 | 31.5 | 2.1 |
| 0.88 | -31.5 | -2.1 | 0.20 | -29.5 | -2.1 | 0.88 | -23.6 | -2.1 |
| 0.20 | -19.7 | -2.1 | 0.88 | -15.8 | -2.1 | 0.20 | -9.8 | -2.1 |
| 0.88 | -7.9 | -2.1 | 1.08 | 0.0 | -2.1 | 0.88 | 7.9 | -2.1 |
| 0.20 | 9.8 | -2.1 | 0.88 | 15.8 | -2.1 | 0.20 | 19.7 | -2.1 |
| 0.88 | 23.6 | -2.1 | 0.20 | 29.5 | -2.1 | 0.88 | 31.5 | -2.1 |

Factored Loads and Moments with Corresponding Capacities: (see user's manual for notation)

=====

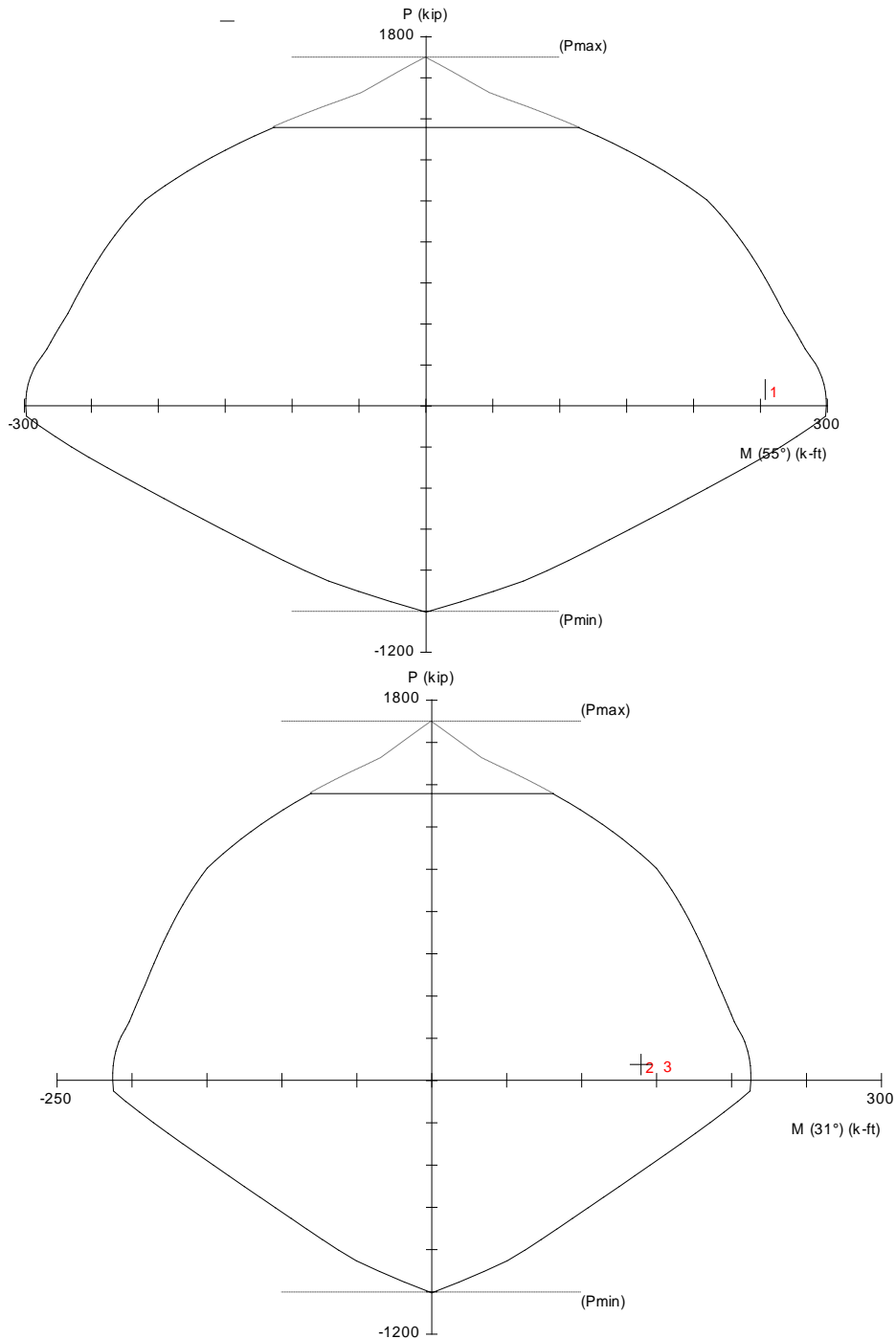
| No. | P_u kip | M_{ux} k-ft | M_{uy} k-ft | f_{Mnx} k-ft | f_{Mny} k-ft | f_{Mn}/μ |
|-----|--------------|------------------|------------------|-------------------|-------------------|--------------|
| 1 | 79.6 | 145.2 | 207.6 | 170.9 | 244.4 | 1.177 |
| 2 | 74.8 | 119.4 | 72.4 | 182.0 | 110.4 | 1.524 |
| 3 | 78.5 | 128.8 | 79.9 | 181.8 | 112.8 | 1.411 |

*** Program completed as requested! ***

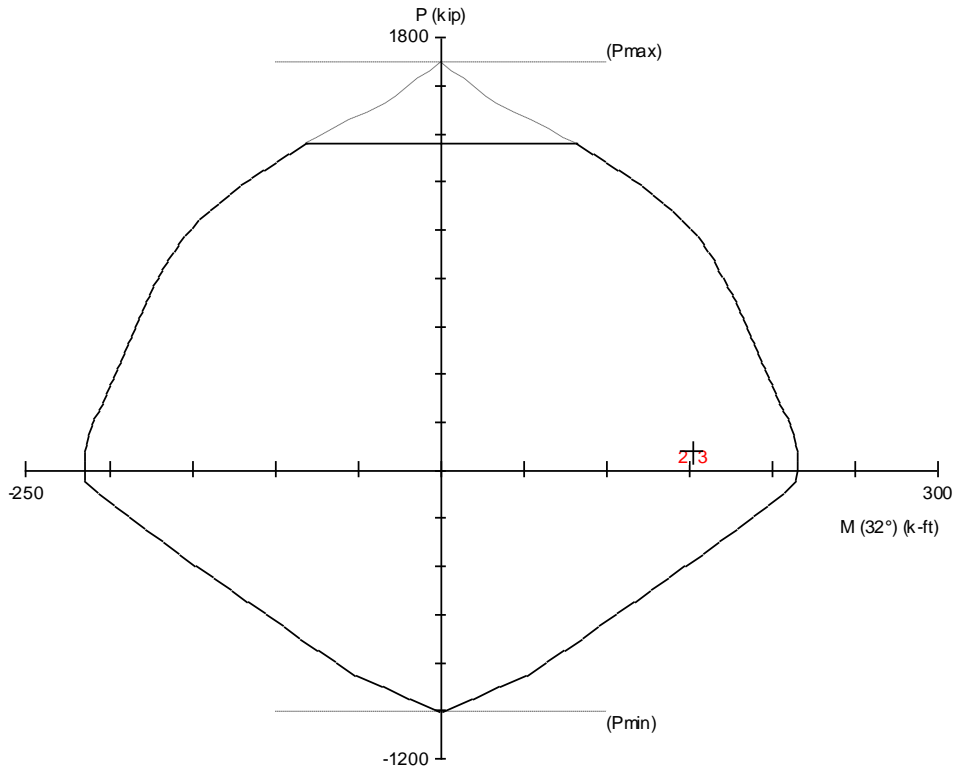
“Proyecto estructural de puente “sin nombre” cuerpo derecho, localizado en el km: 140+620, del arco norte de la ciudad de México, tramo entronque México –Querétaro – Atlacomulco, Estado de México”.

Por lo tanto se opta por un refuerzo de 2 varillas del #6 @ 20 cm en ambas parrillas de la losa agregado al refuerzo general por temperatura y distribución de la losa.

A continuación se muestra el diagrama de interacción que presenta que las combinaciones de carga están dentro de la superficie de fluencia:



“Proyecto estructural de puente “sin nombre” cuerpo derecho, localizado en el km: 140+620, del arco norte de la ciudad de México, tramo entronque México –Querétaro – Atlacomulco, Estado de México”.



Diseño a Cortante de la losa

$$V_u = 20,410 \text{ kg}$$

Donde:

$$\phi = 0.850$$

$$f_c = 250 \text{ kg/cm}^2$$

$$f_y = 4,200 \text{ kg/cm}^2$$

$$\phi V_c = 0.53 (\text{Raiz } f_c) b d = 17,630 \text{ kg}$$

No resiste por sección propia, Requiere Refuerzo transversal

$$V_c = 0.53 (\text{Raiz } f_c) b d = 20,741 \text{ kg}$$

$$V_s = (V_u / \phi) - V_c = 3,271 \text{ kg}$$

$$b = \text{Ancho en cm} = 165 \text{ cm}$$

$$H = \text{Peralte total en cm} = 20 \text{ cm}$$

$$r = \text{Recubrimiento en cm} = 5 \text{ cm}$$

$$d = \text{Peralte efectivo en cm} = 15 \text{ cm}$$

$$= \text{Número de ramas} = 8$$

$$= \text{Se proponen Vars del No.} = 3$$

$$A_v = \text{Área de acero en cm}^2 = 5.68 \text{ cm}^2$$

$$\text{Separación de estribos } S = (A_v * f_y * d) / (V_s) \text{ en cm} = 109 \text{ cm}$$

Se proponen estribos del 3 c en 8 Ramas.

Separación de estribos: @ 20 cm En la zona de losa sobre pilas

III.3 TRABE PRESFORZADA.

“Se puede definir al presfuerzo como un precargado del elemento estructural antes de que soporte las cargas propias de su función con el objeto de mejorar su comportamiento” (Orozco, 2005, p.1).

Para un elemento de concreto se producen esfuerzos de compresión previos a la aplicación de las cargas de servicio en las zonas donde se esperan tensiones, con el objetivo de que bajo las cargas de servicio los esfuerzos de tensión esperados se reduzcan o se anulen. Por tanto el elemento tiene un comportamiento estructural tal que soporta esfuerzos de tensiones.

Además un elemento estructural presforzado tipo viga presenta contraflechas, que compensa las deflexiones debidas a cargas de servicio mejorando el comportamiento de la estructura.

La trabe AASHTO tipo IV de éste proyecto se diseñara el presfuerzo de acuerdo a AASHTO section 9, considerando el diseño por esfuerzo permisibles:

- **Esfuerzos en transferencia:**
 - Compresión : $0.6 f'_{ci}$ (psi)
 - Tensión: $7.5 \text{ raíz } f'_{ci}$ (psi)
- **Esfuerzos en servicio:**
 - Compresión : $0.6 f'_{c}$ (psi)
 - Tensión: $6 \text{ raíz } f'_{c}$ (psi)

Para el cálculo del factor de concentración por trabe para el análisis de carga viva de la trabe se utilizó el método de courbon, que considera que el tablero es infinitamente rígido transversalmente, esta condición es lograda con la existencia de los diafragmas transversales, el método condiciona que: el tablero es simétrico, las trabes deben de ser del mismo material y propiedades geométricas.

“Proyecto estructural de puente “sin nombre” cuerpo derecho, localizado en el km: 140+620, del arco norte de la ciudad de México, tramo entronque México –Querétaro – Atlacomulco, Estado de México”.

III.4 DISEÑO DE TRABE AASHTO TIPO IV PRESFORZADA

DATOS=

| | |
|---------------------------------|------------------------|
| Claro= | 26.0 m |
| No. De Trabes= | 7.0 pzas |
| Ancho total de la sección= | 12.16 m |
| Ancho de carril de circulación= | 3.50 m |
| Ancho de carril de carga = | 3.05 m |
| Ancho de guarnición= | 0.53 m |
| f’c (trabe)= | 350 kg/cm ² |
| f’c (losa)= | 250 kg/cm ² |

ANALISIS DE CARGAS

| | Espesor (m) | Ancho (m) | Área (m ²) | Ton/m ³ | | |
|---------------|-------------|-----------|------------------------|--------------------|---|-------------|
| w trabe = | | 1.65 | 0.4974 | 2.4 | = | 1.194 ton/m |
| w losa = | 0.20 | 1.65 | 0.33 | 2.4 | = | 0.792 ton/m |
| w Diafragma= | 0.30 | | 1.534 | 2.4 | = | 0.073 ton/m |
| w carpeta = | 0.12 | 1.586 | 0.190 | 2.2 | = | 0.419 ton/m |
| w guarnición= | | | 0.24 | 2.4 | = | 0.165 ton/m |
| w parapeto = | | | | | = | 0.006 ton/m |

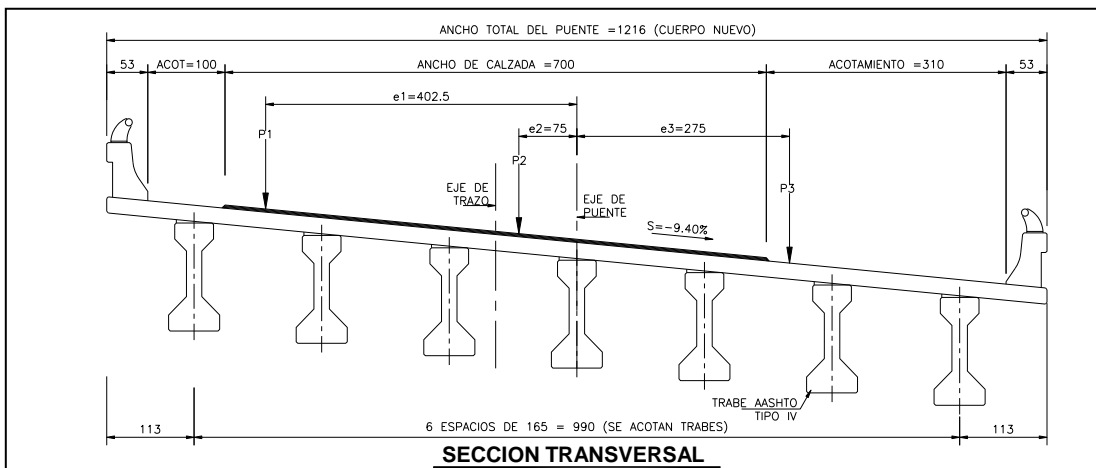
Calculo del factor de concentración para traveses por el "METODO DE COURBON".

$$F_c = w \left(\frac{1}{N} + \left(\frac{e}{\sum d^2} \right) (d_i) \right)$$

N = numero de traveses

d = distancia del eje del puente a cada trabe

e = excentricidad del camión



“Proyecto estructural de puente “sin nombre” cuerpo derecho, localizado en el km: 140+620, del arco norte de la ciudad de México, tramo entronque México –Querétaro – Atlacomulco, Estado de México”.

| | |
|-----|-------|
| e1= | 4.025 |
| e2= | 0.75 |
| e3= | -2.75 |

| No. Trabe | Dist. Centro a trabe | Dist. ² | Fc para P1 | Fc para P2 | Fc para P3 |
|------------|----------------------|--------------------|------------|------------|------------|
| T1 | 4.95 | 24.50 | 0.4042 | 0.1916 | -0.0357 |
| T2 | 3.30 | 10.89 | 0.3171 | 0.1753 | 0.0238 |
| T3 | 1.65 | 2.72 | 0.2300 | 0.1591 | 0.0833 |
| T4 | 0.00 | 0.00 | 0.1429 | 0.1429 | 0.1429 |
| T5 | -1.65 | 2.72 | 0.0557 | 0.1266 | 0.2024 |
| T6 | -3.30 | 10.89 | -0.0314 | 0.1104 | 0.2619 |
| T7 | -4.95 | 24.50 | -0.1185 | 0.0942 | 0.3214 |
| Sumatoria= | | 76.23 | 1.0000 | 1.0000 | 1.0000 |

Factores de distribución para la trabe mas cargada T1

De acuerdo a AASHTO section 3.12.1

Para un carril de circulación(100%)= 0.4042

Para dos carriles de circulación(100%)= 0.5958 RIGE

Para tres carriles de circulación(90%)= 0.5041

Factor de impacto

$$\text{Impacto} = \frac{15.24}{L + 38.1} = 0.24 \% \leq 30\%$$

Momentos y cortantes máximos para las cargas vivas especificadas por S.C.T para una línea de circulación (datos obtenidos del programa MIDAS CIVIL 2011 (v 2.1))

| Tipo de camión | Peso del camión | Momento máximo | Cortante máximo |
|----------------|-----------------|----------------|-----------------|
| HS-20 | 32.7 | 173.55 | 29.08 |
| T3-S3 | 48.5 | 232.81 | 39.19 |
| T3-S2-R4 | 72.5 | 278.87 | 47.1 |

Momento y cortante de diseño debido a carga viva

M_{cvi}= 205.646 ton-m

V_{cvi}= 34.733 ton

“Proyecto estructural de puente “sin nombre” cuerpo derecho, localizado en el km: 140+620, del arco norte de la ciudad de México, tramo entronque México –Querétaro – Atlacomulco, Estado de México”.

Sección compuesta (ancho equivalente de losa)

$$E_{\text{losa}} = 14000 \text{raiz}(f'c) = 221359.4 \text{ kg/cm}^2$$
$$E_{\text{trabe}} = 14000 \text{raiz}(f'c) = 261916.0 \text{ kg/cm}^2$$

$$\text{Relación modular: } n = E_{\text{losa}}/E_{\text{trabe}} = 0.85$$

$$b_L = 1.65 \text{ m}$$

$$b_{\text{equivalente}} = b_L * n = 139.45 \text{ cm}$$

Propiedades geométricas de la trabe

| Sección simple | | Propiedades de la sección compuesta | |
|------------------|------------------------------|-------------------------------------|------------------------------|
| Área= | 4,974.0 cm ² | Área= | 7,763.0 cm ² |
| I= | 10,261,070.0 cm ⁴ | I= | 22,813,478.1 cm ⁴ |
| Y _s = | 73.5 cm | Y _{Slosa} = | 63.5 cm |
| Y _i = | 61.5 cm | Y _{Strabe} = | 43.5 cm |
| S _s = | 139,606.4 cm ³ | Y _{inf} = | 91.5 cm |
| S _i = | 166,846.7 cm ³ | S _{Slosa} = | 359,261.5 cm ³ |
| | | S _{strabe} = | 524,435.3 cm ³ |
| | | S _{sinf} = | 249,330.4 cm ³ |

Elementos mecánicos y determinación de esfuerzos debidos a carga muerta

Esfuerzos al centro del claro

Momento y esfuerzos debido al Po.Po de la trabe:

$$M = 100.9 \text{ ton-m}$$

$$\sigma_s = 72.3 \text{ kg/cm}^2$$

$$\sigma_i = -60.5 \text{ kg/cm}^2$$

Momento y esfuerzos debido al peso de la losa (Sección simple):

$$M = 66.9 \text{ ton-m}$$

$$\sigma_s = 47.9 \text{ kg/cm}^2$$

$$\sigma_i = -40.1 \text{ kg/cm}^2$$

“Proyecto estructural de puente “sin nombre” cuerpo derecho, localizado en el km: 140+620, del arco norte de la ciudad de México, tramo entronque México –Querétaro – Atlacomulco, Estado de México”.

Momento y esfuerzos debido al peso del diafragma (Sección simple):

$$\begin{aligned}M &= 6.2 \text{ ton-m} \\ \sigma_s &= 4.4 \text{ kg/cm}^2 \\ \sigma_i &= -3.7 \text{ kg/cm}^2\end{aligned}$$

Momento y esfuerzos debido al peso de carga muerta adicional (S. compuesta):

$$\begin{aligned}M &= 49.8 \text{ ton-m} \\ \sigma_{s \text{ losa}} &= 13.9 \text{ kg/cm}^2 \\ \sigma_{s \text{ trabe}} &= 9.5 \text{ kg/cm}^2 \\ \sigma_{i \text{ trabe}} &= -20.0 \text{ kg/cm}^2\end{aligned}$$

Determinación de esfuerzos debidos a carga viva

Momento y esfuerzos debido a carga viva (S. compuesta):

$$\begin{aligned}M &= 205.6 \text{ ton-m} \\ \sigma_{s \text{ losa}} &= 57.2 \text{ kg/cm}^2 \\ \sigma_{s \text{ trabe}} &= 39.2 \text{ kg/cm}^2 \\ \sigma_{i \text{ trabe}} &= -82.5 \text{ kg/cm}^2\end{aligned}$$

Calculo de la fuerza de presfuerzo aproximada

$$\frac{P}{A} + \frac{P \cdot e}{Si} = \Sigma f_i$$

$$\begin{aligned}\Sigma \sigma_i &= -206.7 \text{ kg/cm}^2 \\ \text{Suponiendo } y &= 10.0 \text{ cm} \\ e &= 51.5 \text{ cm}\end{aligned}$$

Sustituyendo de la ecuación, la carga de presfuerzo

$$P = 405,533.8 \text{ kg}$$

Datos del presfuerzo

$$\begin{aligned}f_{pu} &= 19,000.0 \text{ kg/cm}^2 \\ \%f_{pu} &= 75 \% \\ \text{torón (13mm)} \quad A &= 0.9871 \text{ cm}^2\end{aligned}$$

Suponiendo 20 % de perdidas para obtener el numero de torones

$$\# \text{ torones} = 36.0$$

“Proyecto estructural de puente “sin nombre” cuerpo derecho, localizado en el km: 140+620, del arco norte de la ciudad de México, tramo entronque México –Querétaro – Atlacomulco, Estado de México”.

Torones propuestos

| | Fuerza de tensado (ton) | No. Torones 13mm | Área torones cm ² | Ubicación (e) cm | A x e |
|------------|-------------------------------|------------------------|------------------------------------|---------------------|-------|
| Lecho No.1 | 169 | 12 | 11.845 | 6 | 71.1 |
| Lecho No.2 | 169 | 12 | 11.845 | 11 | 130.3 |
| Lecho No.3 | 169 | 12 | 11.845 | 16 | 189.5 |
| | | | Área total= 35.536 | e= | 11.0 |

Datos del presfuerzo

fpu= 19,000.0 kg/cm²

%fpu= 75 %

torón (13mm) A= 0.9871 cm²

Yis= 50.5 cm

Pi= 506,382.3 kg/cm²

CÁLCULO DE PÉRDIDAS DE PRESFUERZO

La fuerza de presfuerzo aplicada a la trabe no es constante a lo largo de su vida útil, desde la etapa de transferencia, cuando se tensa el acero de presfuerzo el esfuerzo producido tiende a disminuir, es decir existen pérdidas. Estas pérdidas se pueden clasificar en instantáneas y dependientes del tiempo.

Las pérdidas instantáneas son producidas por acortamiento elástico y relajamiento del acero de presfuerzo, mientras que las pérdidas dependientes del tiempo se deben al flujo plástico y contracción del concreto.

Para el cálculo de estas pérdidas es necesario que la trabe ya éste diseñada es decir, se debe de conocer la fuerza de presfuerzo, por lo que se recomienda estimar un porcentaje de pérdidas de la fuerza total de presfuerzo (Orozco, 2005).

- **Acortamiento elástico en concreto:**

Al aplicar la fuerza de presfuerzo del acero al elemento de concreto, este se comprime acortando su longitud permitiendo que el cable recupere parcialmente su longitud inicial, produciendo con esto una pérdida de esfuerzo.

- **Relajación del acero de presfuerzo:**

Se produce una pérdida de esfuerzo con longitud constante dependiente del tiempo y aplicación del esfuerzo inicial que se aplica al acero de presfuerzo.

- **Flujo plástico del concreto :**

Acortamiento del elemento debido a la aplicación de un esfuerzo constante que se caracteriza por tener una variación respecto al tiempo máximo en los primeros instantes y tiende a cero a largo plazo.

- **Contracción del concreto:**

Acortamiento del elemento debido a la pérdida de humedad (Nilson, 1990).

“Proyecto estructural de puente “sin nombre” cuerpo derecho, localizado en el km: 140+620, del arco norte de la ciudad de México, tramo entronque México –Querétaro – Atlacomulco, Estado de México”.

Calculo de perdidas de presfuerzo

a) Perdidas por flujo plástico del concreto.

$$CRc=12 f_{cir} -7 f_{cfs}$$

CALCULO DE f_{cir}

f_{cir} = esfuerzo en el concreto en el centro de gravedad del presfuerzo después de la transferencia por peso propio de la trabe y el presfuerzo

Por lo que tenemos el esfuerzo de solo el presfuerzo en el centro de gravedad del mismo

$$\sigma = 209.4 \text{ kg/cm}^2$$

Esfuerzo debido al PoPo. de la trabe en el centro de gravedad del presfuerzo

$$\sigma = -49.6 \text{ kg/cm}^2$$

$$f_{cir} = 159.8 \text{ kg/cm}^2$$

CALCULO DE f_{cfs}

Momento y esfuerzo debido al PoPo. de la losa y cma en el centro de gravedad del presfuerzo

$$M = 122.9 \text{ kg/cm}^2$$

$$f_{cfs} = 60.5 \text{ kg/cm}^2$$

$$CRc = 1,494.4 \text{ kg/cm}^2$$

b) Perdidas por acortamiento elástico.

$$ES = f_{cir} E_s / E_{ci}$$

donde:

E_s = es el módulo de elasticidad del acero de presfuerzo (28,000,000 psi)

$$E_s = 1,971,200.0 \text{ kg/cm}^2$$

E_{ci} = es el módulo de elasticidad del concreto en el tiempo de la transferencia

$$E_{ci} = 33w^{3/2} \sqrt{f'_{ci}} \dots (\text{psi})$$

$$f'_{ci} = 0.95 \text{ de } f'_c$$

$$E_{ci} = 308,101.4 \text{ kg/cm}^2$$

$$ES = 1,022.4 \text{ kg/cm}^2$$

“Proyecto estructural de puente “sin nombre” cuerpo derecho, localizado en el km: 140+620, del arco norte de la ciudad de México, tramo entronque México –Querétaro – Atlacomulco, Estado de México”.

c) Perdidas por contracción del concreto debido al fraguado.

$$SH = 17000 - 150 RH$$

$$RH = 65 \%$$

$$SH = 510.4 \text{ kg/cm}^2$$

d) Perdidas por relajación del acero.

$$CR_s = 5000 - 0.1 ES - 0.05 (SH + CR_c)$$

$$CR_s = 149.5 \text{ kg/cm}^2$$

Perdidas totales.

$$CR_c = 1,494.4 \text{ kg/cm}^2$$

$$ES = 1,022.4 \text{ kg/cm}^2$$

$$SH = 510.4 \text{ kg/cm}^2$$

$$CR_s = 149.5 \text{ kg/cm}^2$$

$$TOTAL = 3,176.7 \text{ kg/cm}^2$$

$$\text{Porcentaje de perdidas} = 22.29\%$$

$$\text{Perdidas en fuerza} = 112,885.3 \text{ kg}$$

1) Esfuerzos en la transferencia (debidos al PoPo de la trabe y presfuerzo)

Esfuerzos al centro del claro

Momento y esfuerzos debido al Po.Po de la trabe:

$$M = 100.9 \text{ ton-m}$$

$$\sigma_s = 72.3 \text{ kg/cm}^2$$

$$\sigma_i = -60.5 \text{ kg/cm}^2$$

Esfuerzo debido al presfuerzo.

$$P = 464,737.3 \text{ kg} \quad \text{Fuerza total del presfuerzo incluyendo pérdidas por relajación del acero y acortamiento}$$

$$\sigma_s = -74.7 \text{ kg/cm}^2$$

$$\sigma_i = 234.1 \text{ kg/cm}^2$$

Esfuerzo en la transferencia (por peso de trabe más presfuerzo)

$$\sigma_s = -2.4 \text{ kg/cm}^2 \quad \text{Bien}$$

$$\sigma_i = 173.6 \text{ kg/cm}^2 \quad \text{Bien}$$

ESFUERZOS PERMISIBLES SEGÚN AASHTO 17th EDITION 2002 SECTION 9

$$\text{Esfuerzo permisible a compresión (AASHTO)} = 0.6 f'_{ci} = 199.5 \text{ kg/cm}^2$$

$$\text{Esfuerzo permisible a tensión (AASHTO)} = 7.5 \text{ raíz } f'_{ci} = -36 \text{ kg/cm}^2$$

2) Esfuerzos en servicio con carga viva y perdidas de presfuerzo

Esfuerzos al centro del claro

Momento y esfuerzos debido al peso de la losa y diafragma (Sección simple):

$$\begin{aligned} M &= 73.1 \text{ ton-m} \\ \sigma_s &= 52.3 \text{ ton-m} \\ \sigma_i &= -43.8 \text{ ton-m} \end{aligned}$$

Momento y esfuerzos debido al peso de carga muerta adicional (S. compuesta):

$$\begin{aligned} M &= 49.8 \text{ ton-m} \\ \sigma_{s \text{ losa}} &= 13.9 \text{ ton-m} \\ \sigma_{s \text{ trabe}} &= 9.5 \text{ ton-m} \\ \sigma_{i \text{ trabe}} &= -20.0 \text{ ton-m} \end{aligned}$$

Momento y esfuerzos debido a carga viva (S. compuesta):

$$\begin{aligned} M &= 205.6 \text{ ton-m} \\ \sigma_{s \text{ losa}} &= 57.2 \text{ ton-m} \\ \sigma_{s \text{ trabe}} &= 39.2 \text{ ton-m} \\ \sigma_{i \text{ trabe}} &= -82.5 \text{ ton-m} \end{aligned}$$

Esfuerzo debido al presfuerzo incluyendo pérdidas totales

$$\begin{aligned} P &= 393,497.0 \text{ kg/cm}^2 \\ \sigma_s &= -63.2 \text{ kg/cm}^2 \\ \sigma_i &= 198.2 \text{ kg/cm}^2 \end{aligned}$$

Esfuerzos en servicio, carga muerta, presfuerzo, pérdidas y carga viva

$$\begin{aligned} \sigma_{s \text{ losa}} &= 71.1 \text{ kg/cm}^2 \\ \sigma_{s \text{ trabe}} &= 110.1 \text{ kg/cm}^2 && \text{Bien} \\ \sigma_{i \text{ trabe}} &= -8.5 \text{ kg/cm}^2 && \text{Bien} \end{aligned}$$

ESFUERZOS PERMISIBLES SEGÚN AASHTO 17th EDITION 2002 SECTION 9

Esfuerzo permisible a compresión AASHTO= $0.6 f'c = 210.0 \text{ kg/cm}^2$

Esfuerzo permisible a tensión AASHTO= $6 \text{ raíz } f'c = -30 \text{ kg/cm}^2$

3) Longitud de enductado de torones

$$\begin{aligned} w \text{ (popo + cms)} &= 2.6 \text{ ton/m} \\ w \text{ (cv equivalente)} &= 2.4 \text{ ton/m} \\ w \text{ total} &= 5.1 \text{ ton/m} \end{aligned}$$

“Proyecto estructural de puente “sin nombre” cuerpo derecho, localizado en el km: 140+620, del arco norte de la ciudad de México, tramo entronque México –Querétaro – Atlacomulco, Estado de México”.

| x(distancia) long trabe/30 | M(momento) (wlx/2-wx ² /2) | No. de tor. teórico | No. de tor. propuesto | Longitud de enductado | No de torones enductados |
|-------------------------------|--|------------------------|--------------------------|--------------------------|-----------------------------|
| 0 | 0 | 0 | 14 | 0.0 | 0 |
| 0.9 | 55 | 5 | 14 | 0.9 | 0 |
| 1.7 | 107 | 9 | 14 | 1.7 | 0 |
| 2.6 | 155 | 13 | 18 | 2.6 | 4 |
| 3.5 | 198 | 17 | 22 | 3.5 | 4 |
| 4.3 | 239 | 20 | 26 | 4.3 | 4 |
| 5.2 | 275 | 23 | 30 | 5.2 | 4 |
| 6.1 | 307 | 26 | 34 | 6.1 | 4 |
| 6.9 | 336 | 28 | 36 | 6.9 | 2 |
| 7.8 | 361 | 30 | 36 | 7.8 | 0 |
| 8.7 | 382 | 32 | 36 | 8.7 | 0 |
| 9.5 | 399 | 33 | 36 | 9.5 | 0 |
| 10.4 | 412 | 35 | 36 | 10.4 | 0 |
| 11.3 | 422 | 35 | 36 | 11.3 | 0 |
| 12.1 | 427 | 36 | 36 | 12.1 | 0 |
| 13 | 429 | 36 | 36 | 13.0 | 0 |
| No. De torones enductados= | | | | | 22 |
| No. De torones al extremo= | | | | | 14 |
| No. De torones total= | | | | | 36 |

4) Revisión de esfuerzos a lo largo de la trabe (TRANSFERENCIA)

| x(m) | No. De torones | M(PoPo) ton-m | Esf. por PoPo | | Fza. Presf. (kg) | Esf. Presfuerzo | | Esf. Finales | |
|------|-------------------|------------------|------------------------------------|------------------------------------|---------------------|------------------------------------|------------------------------------|------------------------------------|------------------------------------|
| | | | σ_s = kg/cm ² | σ_i = kg/cm ² | | σ_s = kg/cm ² | σ_i = kg/cm ² | σ_s = kg/cm ² | σ_i = kg/cm ² |
| 0.0 | 14 | 0.0 | 0.0 | 0.0 | 180,731.2 | -29.0 | 91.0 | -29.0 | 91.0 |
| 0.9 | 14 | 13.0 | 9.3 | -7.8 | 180,731.2 | -29.0 | 91.0 | -19.7 | 83.2 |
| 1.7 | 14 | 25.1 | 18.0 | -15.0 | 180,731.2 | -29.0 | 91.0 | -11.1 | 76.0 |
| 2.6 | 18 | 36.3 | 26.0 | -21.8 | 232,368.6 | -37.3 | 117.0 | -11.3 | 95.3 |
| 3.5 | 22 | 46.6 | 33.4 | -27.9 | 284,006.1 | -45.6 | 143.1 | -12.2 | 115.1 |
| 4.3 | 26 | 56.0 | 40.1 | -33.6 | 335,643.6 | -53.9 | 169.1 | -13.8 | 135.5 |
| 5.2 | 30 | 64.6 | 46.2 | -38.7 | 387,281.1 | -62.2 | 195.1 | -16.0 | 156.4 |
| 6.1 | 34 | 72.2 | 51.7 | -43.3 | 438,918.6 | -70.5 | 221.1 | -18.8 | 177.8 |
| 6.9 | 36 | 78.9 | 56.5 | -47.3 | 464,737.3 | -74.7 | 234.1 | -18.2 | 186.8 |
| 7.8 | 36 | 84.7 | 60.7 | -50.8 | 464,737.3 | -74.7 | 234.1 | -14.0 | 183.3 |
| 8.7 | 36 | 89.7 | 64.2 | -53.7 | 464,737.3 | -74.7 | 234.1 | -10.4 | 180.4 |
| 9.5 | 36 | 93.7 | 67.1 | -56.2 | 464,737.3 | -74.7 | 234.1 | -7.6 | 177.9 |
| 10.4 | 36 | 96.8 | 69.4 | -58.0 | 464,737.3 | -74.7 | 234.1 | -5.3 | 176.1 |
| 11.3 | 36 | 99.1 | 71.0 | -59.4 | 464,737.3 | -74.7 | 234.1 | -3.7 | 174.7 |
| 12.1 | 36 | 100.4 | 71.9 | -60.2 | 464,737.3 | -74.7 | 234.1 | -2.7 | 173.9 |
| 13.0 | 36 | 100.9 | 72.3 | -60.5 | 464,737.3 | -74.7 | 234.1 | -2.4 | 173.6 |

“Proyecto estructural de puente “sin nombre” cuerpo derecho, localizado en el km: 140+620, del arco norte de la ciudad de México, tramo entronque México –Querétaro – Atlacomulco, Estado de México”.

5) Revisión de esfuerzos a lo largo de la trabe (SERVICIO)

| x(m) | No. De torones | M(PoPo) ton-m | M(cma+cv)ton-m | Esf. por cargas | | Fza. Presf. (kg) | Esf. Presfuerzo | | Esf. Finales | |
|------|----------------|---------------|----------------|--------------------------------|--------------------------------|------------------|--------------------------------|--------------------------------|--------------------------------|--------------------------------|
| | | | | $\sigma_s=$ kg/cm ² | $\sigma_i=$ kg/cm ² | | $\sigma_s=$ kg/cm ² | $\sigma_i=$ kg/cm ² | $\sigma_s=$ kg/cm ² | $\sigma_i=$ kg/cm ² |
| 0 | 14 | 0 | 0.0 | 0 | 0.0 | 153,026.6 | -24.6 | 77.1 | -24.6 | 77.1 |
| 0.9 | 14 | 22.4 | 32.9 | 22.3 | -26.6 | 153,026.6 | -24.6 | 77.1 | -2.3 | 50.4 |
| 1.7 | 14 | 43.3 | 63.6 | 43.1 | -51.4 | 153,026.6 | -24.6 | 77.1 | 18.5 | 25.6 |
| 2.6 | 18 | 62.6 | 92.0 | 62.4 | -74.4 | 196,748.5 | -31.6 | 99.1 | 30.8 | 24.7 |
| 3.5 | 22 | 80.4 | 118.1 | 80.1 | -95.5 | 240,470.4 | -38.6 | 121.1 | 41.5 | 25.6 |
| 4.3 | 26 | 96.6 | 141.9 | 96.3 | -114.8 | 284,192.3 | -45.7 | 143.2 | 50.6 | 28.3 |
| 5.2 | 30 | 111.3 | 163.5 | 110.9 | -132.3 | 327,914.2 | -52.7 | 165.2 | 58.2 | 32.9 |
| 6.1 | 34 | 124.5 | 182.8 | 124.0 | -147.9 | 371,636.1 | -59.7 | 187.2 | 64.3 | 39.3 |
| 6.9 | 36 | 136.1 | 199.8 | 135.6 | -161.7 | 393,497.0 | -63.2 | 198.2 | 72.3 | 36.5 |
| 7.8 | 36 | 146.1 | 214.6 | 145.6 | -173.6 | 393,497.0 | -63.2 | 198.2 | 82.3 | 24.6 |
| 8.7 | 36 | 154.6 | 227.1 | 154.1 | -183.7 | 393,497.0 | -63.2 | 198.2 | 90.8 | 14.5 |
| 9.5 | 36 | 161.6 | 237.3 | 161.0 | -192.0 | 393,497.0 | -63.2 | 198.2 | 97.8 | 6.2 |
| 10.4 | 36 | 167.0 | 245.2 | 166.4 | -198.4 | 393,497.0 | -63.2 | 198.2 | 103.1 | -0.2 |
| 11.3 | 36 | 170.9 | 250.9 | 170.2 | -203.0 | 393,497.0 | -63.2 | 198.2 | 107.0 | -4.8 |
| 12.1 | 36 | 173.2 | 254.3 | 172.5 | -205.8 | 393,497.0 | -63.2 | 198.2 | 109.3 | -7.6 |
| 13.0 | 36 | 174.0 | 255.4 | 173.3 | -206.7 | 393,497.0 | -63.2 | 198.2 | 110.1 | -8.5 |

6) Diseño al cortante

De acuerdo AASHTO section 9.20

Cortantes actuantes

| | |
|---------------------------------------|------------|
| Cortante por peso de trabe | = 15.5 ton |
| Cortante por peso de losa y diafragma | = 11.2 ton |
| Cortante por peso de cma | = 7.7 ton |
| Cortante por carga viva + i | = 34.7 ton |

$$V_u = 1.3 (V_{cm} + 1.67 V_{cv+i})$$

$$V_u < 0.85 (V_c + V_s)$$

$$V_s = A_v f_y d / s$$

Donde:

V_u = cortante último

V_{cm} = cortante por carga muerta

V_{cv+i} = cortante por carga viva más impacto

V_c = cortante resistido por el concreto

V_s =cortante resistido por el acero

A_v = área del acero de refuerzo

d =peralte de la trabe

s =separación de los estribos

f_y =esfuerzo de fluencia del acero de refuerzo

Calculando Vu:

$$Vu = 120.2 \text{ ton}$$

Vc el menor de = Vci o Vcw

Calculando Vci:

$$Vci = 0.6 (\text{raíz } f'c) b' d + Vd + Vi \text{ Mcr/Mmax}$$

Donde:

Vd= cortante de popo de trabe

Vi=cortante factor izado debido a cargas externas concomitante con Mmax

Mmax=momento factor izado máximo debido a cargas externas

$$\text{Mcr} = I (6 (\text{raíz } f'c) + f_{pe} - f_d) / Y_t$$

f_{pe}=esfuerzo en el concreto debido al presfuerzo únicamente después de perdidas en la fibra de tensión causada por cargas externas.

f_d=esfuerzo por popo en la fibra de tensión debido a popo de trabe

$$Y_t = \text{distancia del centroide a fibra inferior} = 61.5 \text{ cm}$$

$$= 24.2 \text{ in}$$

$$\text{No. de torones al extremo} = 14$$

$$I = 246,523.2 \text{ in}^4$$

$$\text{raíz de } f'c = 70.5 \text{ lb/in}^2$$

$$f_{za \text{ pres.}} = 153,027 \text{ kg}$$

$$e_{\text{ pres}} = 55.5 \text{ cm}$$

$$f_{pe} = 1,160.1 \text{ lb/in}^2$$

$$M_{\text{ popo}} = 10.2 \text{ ton}$$

$$f_d = 86.9 \text{ lb/in}^2$$

$$\text{Mcr} = 15,234,237.9 \text{ lb/in}$$

$$b' = 20.0 \text{ cm} = 7.9 \text{ in}$$

$$d = 124.0 \text{ cm} = 48.8 \text{ in}$$

$$h/2 = 67.5 \text{ cm} = 26.6 \text{ in}$$

$$Vi = 220,215.9 \text{ lb}$$

$$M_{\text{max}} = 5,852,193.4 \text{ lb-in}$$

“Proyecto estructural de puente “sin nombre” cuerpo derecho, localizado en el km: 140+620, del arco norte de la ciudad de México, tramo entronque México –Querétaro – Atlacomulco, Estado de México”.

Calculando Vcw:

$$V_{cw} = (3.5 (\text{raíz } f'c) + 0.3f_{pc}) b' d + V_p$$

Donde:

$$V_p = \text{componente vertical del presfuerzo} = 0$$

f_{pc} = esfuerzo de compresión en el concreto (después de perdidas) en el centroide de la sección

$$f_{pc} = 437.0 \text{ lb/in}^2$$

$$V_{cw} = 145,259.5 \text{ lb}$$

Por lo tanto rige $V_{cw} = 145,259.5 \text{ lb} = 65.9 \text{ ton}$

Si despejamos $V_s = V_u / 0.85 - V_c$

$$V_s = 75.4 \text{ ton}$$

Si despejamos $s = A_v f_y d / V_s$

Proponemos varillas del 3c en dos ramas

$$\text{tenemos } A_v = 1.42 \text{ cm}^2$$

$$d = 130.0 \text{ cm}$$

$$f_y = 4200 \text{ kg/cm}^2$$

Entonces tenemos una separación de estribos a cada = 11 cm

Revison de cortante a lo largo de la trabe

| x(m) | No. De torones | V (cm total) (ton) | V (cv+i) (ton) | Vu (ton) | Vcw (ton) | Vs (ton) | Av (cm ²) | S cm |
|------|----------------|--------------------|----------------|----------|-----------|----------|-----------------------|-------|
| 0.0 | 14 | 34.4 | 34.7 | 120 | 65.9 | 75.4 | 1.42 | 11 |
| 0.9 | 14 | 32.1 | 32.4 | 112 | 65.9 | 66.0 | 1.42 | 12 |
| 1.7 | 14 | 29.8 | 30.1 | 104 | 65.9 | 56.6 | 1.42 | 14 |
| 2.6 | 14 | 27.5 | 27.8 | 96.1 | 65.9 | 47.1 | 1.42 | 16 |
| 3.5 | 18 | 25.2 | 25.5 | 88.1 | 72.5 | 31.2 | 1.42 | 25 |
| 4.3 | 22 | 22.9 | 23.2 | 80.1 | 79 | 15.2 | 1.42 | 51 |
| 5.2 | 26 | 20.7 | 20.8 | 72.1 | 85.6 | -0.7 | 1.42 | -1040 |
| 6.1 | 30 | 18.4 | 18.5 | 64.1 | 92.1 | -16.7 | 1.42 | -46 |
| 6.9 | 34 | 16.1 | 16.2 | 56.1 | 98.6 | -32.7 | 1.42 | -24 |
| 7.8 | 36 | 13.8 | 13.9 | 48.1 | 102 | -45.4 | 1.42 | -17 |
| 8.7 | 36 | 11.5 | 11.6 | 40.1 | 102 | -54.8 | 1.42 | -14 |
| 9.5 | 36 | 9.2 | 9.3 | 32 | 102 | -64.2 | 1.42 | -12 |
| 10.4 | 36 | 6.9 | 6.9 | 24 | 102 | -73.6 | 1.42 | -11 |
| 11.3 | 36 | 4.6 | 4.6 | 16 | 102 | -83.1 | 1.42 | -9 |
| 12.1 | 36 | 2.3 | 2.3 | 8.01 | 102 | -92.5 | 1.42 | -8 |
| 13.0 | 36 | 0.0 | 0.0 | 0.00 | 102 | -102 | 1.42 | -8 |

“Proyecto estructural de puente “sin nombre” cuerpo derecho, localizado en el km: 140+620, del arco norte de la ciudad de México, tramo entronque México –Querétaro – Atlacomulco, Estado de México”.

III.4.1 DISEÑO DE TRABE AASHTO TIPO IV PRESFORZADA (ANÁLISIS DE CARGA VIVA: IMT 66.5)

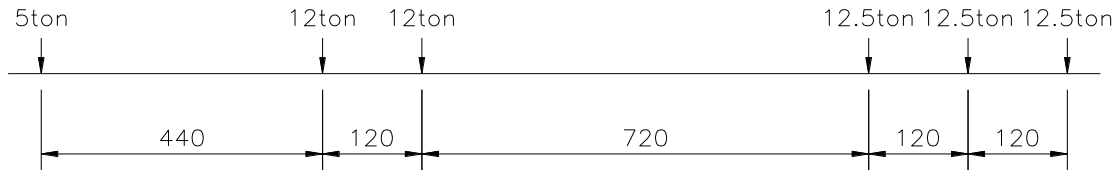


Figura 3.4.1 IMT 66.5 (para claros menores de 30 m)

Comparación de elementos mecánicos para las cargas vivas para una línea de circulación de un claro de 26 m (datos obtenidos del programa MIDAS CIVIL 2011 (v 2.1))

| Tipo de camión | Peso del camión | Momento máximo | Cortante máximo |
|----------------|-----------------|----------------|-----------------|
| HS-20 | 32.7 | 173.55 | 29.08 |
| T3-S3 | 48.5 | 232.81 | 39.19 |
| T3-S2-R4 | 72.5 | 278.87 | 47.1 |
| IMT 66.5 | 66.5 | 284.15 | 52.43 |

Haciendo uso de los datos presentados en el apartado III.4 Diseño de trabe AASHTO tipo IV presforzada, se presenta a continuación un resumen de resultados del diseño de la trabe utilizando para el análisis la carga viva IMT 66.5.

Torones propuestos

| | Fuerza de tensado (ton) | No. Torones 13mm | Área torones cm ² | Ubicación (e) cm | A x e |
|------------|-------------------------|------------------|------------------------------|------------------|-------|
| Lecho No.1 | 169 | 12 | 11.845 | 6 | 71.1 |
| Lecho No.2 | 169 | 12 | 11.845 | 11 | 130.3 |
| Lecho No.3 | 169 | 12 | 11.845 | 16 | 189.5 |
| | | | Área total= 35.536 | e= | 11.0 |

“Proyecto estructural de puente “sin nombre” cuerpo derecho, localizado en el km: 140+620, del arco norte de la ciudad de México, tramo entronque México –Querétaro – Atlacomulco, Estado de México”.

Esfuerzo en la transferencia (por peso de trabe más presfuerzo)

$\sigma_s = -2.4 \text{ kg/cm}^2$ Bien

$\sigma_i = 173.6 \text{ kg/cm}^2$ Bien

ESFUERZOS PERMISIBLES SEGÚN AASHTO 17th EDITION 2002 SECTION 9

Esfuerzo permisible a compresión (AASHTO) = $0.6 f'_{ci} = 199.5 \text{ kg/cm}^2$

Esfuerzo permisible a tensión (AASHTO) = $7.5 \text{ raíz } f'_{ci} = -36 \text{ kg/cm}^2$

Esfuerzos en servicio, carga muerta, presfuerzo, pérdidas y carga viva

$\sigma_{s \text{ losa}} = 72.2 \text{ kg/cm}^2$

$\sigma_{s \text{ trabe}} = 110.8 \text{ kg/cm}^2$ Bien

$\sigma_{i \text{ trabe}} = -10.1 \text{ kg/cm}^2$ Bien

ESFUERZOS PERMISIBLES SEGÚN AASHTO 17th EDITION 2002 SECTION 9

Esfuerzo permisible a compresión AASHTO = $0.6 f'_c = 210.0 \text{ kg/cm}^2$

Esfuerzo permisible a tensión AASHTO = $6 \text{ raíz } f'_c = -30 \text{ kg/cm}^2$

Revison de cortante a lo largo de la trabe

| x(m) | No. De torones | V (cm total) (ton) | V (cv+i) (ton) | Vu (ton) | Vcw (ton) | Vs (ton) | Av (cm ²) | S cm |
|------|----------------|--------------------|----------------|----------|-----------|----------|-----------------------|------|
| 0.0 | 14 | 34.4 | 38.7 | 129 | 65.9 | 85.4 | 1.42 | 10 |
| 0.9 | 14 | 32.1 | 36.1 | 120 | 65.9 | 75.4 | 1.42 | 10 |
| 1.7 | 14 | 29.8 | 33.5 | 112 | 65.9 | 65.3 | 1.42 | 12 |
| 2.6 | 14 | 27.5 | 30.9 | 103 | 65.9 | 55.2 | 1.42 | 14 |
| 3.5 | 18 | 25.2 | 28.4 | 94.4 | 72.5 | 38.5 | 1.42 | 20 |
| 4.3 | 22 | 22.9 | 25.8 | 85.8 | 79 | 21.9 | 1.42 | 35 |
| 5.2 | 26 | 20.7 | 23.2 | 77.2 | 85.6 | 5.3 | 1.42 | 147 |
| 6.1 | 30 | 18.4 | 20.6 | 68.6 | 92.1 | -11.4 | 1.42 | -68 |
| 6.9 | 34 | 16.1 | 18.0 | 60.1 | 98.6 | -28.0 | 1.42 | -28 |
| 7.8 | 36 | 13.8 | 15.5 | 51.5 | 102 | -41.3 | 1.42 | -19 |
| 8.7 | 36 | 11.5 | 12.9 | 42.9 | 102 | -51.4 | 1.42 | -15 |
| 9.5 | 36 | 9.2 | 10.3 | 34.3 | 102 | -61.5 | 1.42 | -13 |
| 10.4 | 36 | 6.9 | 7.7 | 25.7 | 102 | -71.6 | 1.42 | -11 |
| 11.3 | 36 | 4.6 | 5.2 | 17.2 | 102 | -81.7 | 1.42 | -9 |
| 12.1 | 36 | 2.3 | 2.6 | 8.58 | 102 | -91.8 | 1.42 | -8 |
| 13.0 | 36 | 0.0 | 0.0 | 0.00 | 102 | -102 | 1.42 | -8 |

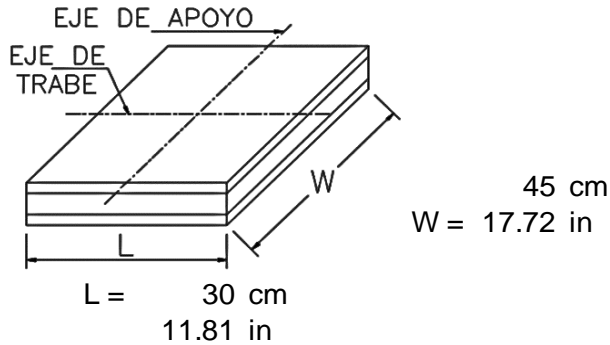
Se aprecia que el presfuerzo propuesto es suficiente, haciendo uso de la carga viva IMT 66.5 aunque los elementos mecánicos de esta resulten más desfavorables que los del camión T3-S2-R4.

“Proyecto estructural de puente “sin nombre” cuerpo derecho, localizado en el km: 140+620, del arco norte de la ciudad de México, tramo entronque México –Querétaro – Atlacomulco, Estado de México”.

III.5 DISEÑO DE APOYOS DE NEOPRENO INTEGRAL

De acuerdo a AASHTO Section 14

1) DATOS GENERALES



Con: $W \geq L$ Ok



Datos del neopreno:

| | |
|----------------------------------|---|
| $h_{ri} = 1.3 \text{ cm}$ | Espesor de una placa de neopreno |
| $= 0.512 \text{ in}$ | |
| $n_{10.5} = 6$ | Número de placas de neopreno ($h=10.5$) |
| $h_{rt} = 8.4 \text{ cm}$ | Espesor total de placas de neopreno |
| $= 3.31 \text{ in}$ | para un espesor total de: 10.5 cm |
| | $= 4.134 \text{ in}$ |
| $h_s = 0.3 \text{ cm}$ | Espesor de una placa de acero |
| $= 0.118 \text{ in}$ | |
| $f_y = 2,530 \text{ kg/cm}^2$ | Esfuerzo de fluencia Acero A-36 |
| $= 36 \text{ ksi}$ | |
| $f_{sr} = 1,125 \text{ kg/cm}^2$ | Esfuerzo permisible por fatiga Acero A-36 |
| $= 16 \text{ ksi}$ | |

Datos de la trabe:

| | |
|---------------------------------|--------------------------------------|
| $L = 2,600 \text{ cm}$ | Longitud del claro |
| $= 1,024 \text{ in}$ | |
| $I_c = 24214438.9 \text{ cm}^4$ | Momento de Inercia Secc. Compuesta |
| $= 581,754 \text{ in}^4$ | |
| $f'_c = 350 \text{ kg/cm}^2$ | Resistencia a compresión de la trabe |
| $= 4.978 \text{ ksi}$ | |
| $E_c = 261,916 \text{ kg/cm}^2$ | Módulo de elasticidad del concreto |
| $= 3,725.32 \text{ ksi}$ | |

“Proyecto estructural de puente “sin nombre” cuerpo derecho, localizado en el km: 140+620, del arco norte de la ciudad de México, tramo entronque México –Querétaro – Atlacomulco, Estado de México”.

Datos de sismo:

c = 0.14 Coeficiente sísmico
 Fact_{imp} = 1.50 Factor de Importancia

De las características de la Estructura, tenemos que las descargas por apoyo son:

Descarga por Carga Muerta: (P_{popo}) = 38.97 ton = 85.91 klb
 Descarga por Carga Viva + Impacto: (P_{CV+I}) = 34.73 ton = 76.57 klb
 Momento por Carga Viva + Impacto: (M_{CV+I}) = 205.9 ton*m = 17874249.0 lb-in
 Carga Horizontal Máxima: (H_{sismo}) = 8.18 ton = 18.04 klb

De acuerdo a la Tabla 14.6.5.2-1 de AASHTO, el valor de "G" será:

| Dureza (Shore "A") | | 50 | 60 | 70 |
|---------------------------|-----------------------|-----------|------------|-----------|
| Módulo de cortante a 73°F | (psi) | 95 - 130 | 130 - 200 | 200 - 300 |
| | (kg/cm ²) | 6.7 - 9.1 | 9.1 - 14.1 | 14.1 - 21 |

Teniendo que el *Factor de Forma "S"* de una capa, en un apoyo rectangular sin perforaciones es:

$$S = \frac{L*W}{2h_{r\max} (L+W)} \quad \text{Entonces: } S = 6.92$$

2) ESFUERZO A COMPRESIÓN

Para apoyos sometidos a deformación por cortante:

$$\begin{aligned} \sigma_{TL} &\leq 1.6 \text{ ksi} = 112 \text{ kg/cm}^2 \\ \sigma_{TL} &\leq 1.66 \text{ GS} = 1.49 \text{ ksi} \\ \sigma_L &\leq 0.66 \text{ GS} = 0.59 \text{ ksi} \end{aligned}$$

Para apoyos restringidos a deformación por cortante:

$$\begin{aligned} \sigma_{TL} &\leq 1.75 \text{ ksi} = 123 \text{ kg/cm}^2 \\ \sigma_{TL} &\leq 2.00 \text{ GS} = 1.8 \text{ ksi} \\ \sigma_L &\leq 1.00 \text{ GS} = 0.9 \text{ ksi} \end{aligned}$$

donde:

σ_L = Esfuerzo de compresión promedio debido a la carga viva (ksi)

σ_{TL} = Esfuerzo de compresión promedio debido a la carga muerta más la carga viva (ksi)

G = Módulo de cortante del elastómero (ksi)

S = Factor de forma de la capa más gruesa del apoyo

“Proyecto estructural de puente “sin nombre” cuerpo derecho, localizado en el km: 140+620, del arco norte de la ciudad de México, tramo entronque México –Querétaro – Atlacomulco, Estado de México”.

Entonces:

Para apoyos sometidos a deformación por cortante:

$$\sigma_{TL} = 0.777 \text{ ksi} \quad \text{Bien} = 54.6 \text{ kg/cm}^2$$

$$\sigma_{TL} = 0.777 \text{ ksi} \quad \text{Bien} = 54.6 \text{ kg/cm}^2$$

$$\sigma_L = 0.366 \text{ ksi} \quad \text{Bien} = 25.7 \text{ kg/cm}^2$$

Para apoyos restringidos a deformación por cortante:

$$\sigma_{TL} = 0.777 \text{ ksi} \quad \text{Bien} = 54.6 \text{ kg/cm}^2$$

$$\sigma_{TL} = 0.777 \text{ ksi} \quad \text{Bien} = 54.6 \text{ kg/cm}^2$$

$$\sigma_L = 0.366 \text{ ksi} \quad \text{Bien} = 25.7 \text{ kg/cm}^2$$

3) DEFLEXIÓN POR COMPRESIÓN

Obtención de la deformación unitaria:

$$\varepsilon = \frac{\sigma}{6GS^2} = 2.08\%$$

Deflexión de cada placa de neopreno: $\delta = \varepsilon(e_n) \quad \delta = 0.011 \text{ in} = 0.0270 \text{ cm}$

Deflexión total de placas de neopreno: $\delta_{tot} = \sum_{tot} \varepsilon(e_n) \quad \delta_{tot} = 0.064 \text{ in} = 0.1620 \text{ cm}$

La deflexión máxima no debe ser mayor a $\frac{1}{8}$ in

$$\delta \leq 0.125 \text{ in} = 0.318 \text{ cm} \quad \text{Bien}$$

4) REVISIÓN A CORTANTE

La deformación por cortante deberá estar limitada a no más de un medio del espesor total de las placas de neopreno

Entonces: $h \geq 2\Delta$

Fuerza horizontal máxima actuante:

$$\left. \begin{array}{l} \text{Frenaje: } 0.05P_{tot} = 8.12 \text{ klb} \\ \text{Sismo: } H = 18.04 \text{ klb} \end{array} \right\} \text{Rige: } 18.04 \text{ klb}$$

Rigidez horizontal del neopreno " k_h "

$$k_h = \frac{GLW}{ne_n} = 8,858 \text{ lb/in}$$

“Proyecto estructural de puente “sin nombre” cuerpo derecho, localizado en el km: 140+620, del arco norte de la ciudad de México, tramo entronque México –Querétaro – Atlacomulco, Estado de México”.

Deformación horizontal máxima del neopreno " Δ "

$$\Delta = \frac{H}{k_h} = 2.04 \text{ in} = 5.17 \text{ cm}$$

Por lo que: $h = 4.134 \text{ in} = 10.5 \text{ cm}$
 $2\Delta = 4.07 \text{ in} = 10.3 \text{ cm}$ Bien

5) COMPRESIÓN Y ROTACIÓN COMBINADOS

Cálculo de la rotación media debida a las cargas actuantes en la trabe:

$$\begin{aligned} \omega_{cm} &= 167.86 \text{ lb/in} \\ \omega_{cv+imp} &= 136.47 \text{ lb/in} \\ \omega_{tot} &= 304.33 \text{ lb/in} \end{aligned} \quad \theta_m = \frac{wL^3}{24EI_c} = 0.0062755 \text{ rad}$$

Los apoyos de sección rectangular deben cumplir con la siguiente relación:

$$\sigma_{TL} \geq 1.0GS \left(\frac{\theta_m}{n} \right) \left(\frac{B}{h_{ri}} \right)^2$$

Donde: B = longitud (L) del apoyo si la rotación es alrededor de su eje transversal, o bien, el ancho (W) del apoyo si la rotación es alrededor de su eje longitudinal

θ_m = componente de rotación máxima en servicio en la dirección de interés (en radianes)

$$777 \text{ psi} \geq 501.3 \text{ psi} \quad \text{Bien}$$

El apoyo sujeto a deformación por cortante, deberá también satisfacer:

$$\sigma_{TL} \leq 1.875GS \left(1 - 0.020 \left(\frac{\theta_m}{n} \right) \left(\frac{B}{h_{ri}} \right)^2 \right) \quad 777 \text{ psi} \leq 1,500 \text{ psi}$$

Bien

El apoyo restringido a deformación por cortante, deberá también satisfacer:

$$\sigma_{TL} \leq 2.250GS \left(1 - 0.167 \left(\frac{\theta_m}{n} \right) \left(\frac{B}{h_{ri}} \right)^2 \right) \quad 777 \text{ psi} \leq 1,837 \text{ psi}$$

Bien

“Proyecto estructural de puente “sin nombre” cuerpo derecho, localizado en el km: 140+620, del arco norte de la ciudad de México, tramo entronque México –Querétaro – Atlacomulco, Estado de México”.

6) ESTABILIDAD

Se debe cumplir con la siguiente relación:

$$\left(\frac{3.84 \left(\frac{h_{rt}}{L} \right)}{s \sqrt{1 + 2 \frac{L}{W}}} \right) \leq \frac{2.67}{s(s+2) \left(1 + \frac{L}{4W} \right)}$$

$$0.12709 \leq 0.03705 \text{ Requiere cumplir alguna de las siguientes revisiones:}$$

Si el tablero del puente es libre para movimientos horizontales:

$$\sigma_{TL} \leq \frac{G}{\left(\frac{3.84 \left(\frac{h_{rt}}{L} \right)}{s \sqrt{1 + 2 \frac{L}{W}}} \right) - \frac{2.67}{s(s+2) \left(1 + \frac{L}{4W} \right)}}$$

$$777 \text{ psi} \leq 1,444 \text{ psi} \quad \text{Bien}$$

Si el tablero del puente está restringido a movimientos horizontales:

$$\sigma_{TL} \leq \frac{G}{\left(\frac{1.92 \left(\frac{h_{rt}}{L} \right)}{s \sqrt{1 + 2 \frac{L}{W}}} \right) - \frac{2.67}{s(s+2) \left(1 + \frac{L}{4W} \right)}}$$

$$777 \text{ psi} \leq 4,906 \text{ psi} \quad \text{Bien}$$

7) ESPESOR DE PLACA DE ACERO

El espesor de la placa de acero de refuerzo del neopreno, deberá satisfacer los siguientes requerimientos:

$$h_s > \frac{3.0 h_{r \max} \sigma_{TL}}{F_y} \quad h_s = \begin{array}{l} 0.12 \text{ in} \\ 3.0 \text{ mm} \end{array} > \begin{array}{l} 0.033 \text{ in} \\ 0.8 \text{ mm} \end{array} \quad \text{Bien}$$

$$h_s > \frac{2.0 h_{r \max} \sigma_L}{F_{sr}} \quad h_s = \begin{array}{l} 0.12 \text{ in} \\ 3.0 \text{ mm} \end{array} > \begin{array}{l} 0.023 \text{ in} \\ 0.6 \text{ mm} \end{array} \quad \text{Bien}$$

“Proyecto estructural de puente “sin nombre” cuerpo derecho, localizado en el km: 140+620, del arco norte de la ciudad de México, tramo entronque México –Querétaro – Atlacomulco, Estado de México”.

CAPÍTULO IV

ANÁLISIS Y DISEÑO

ESTRUCTURAL DE LA

SUBESTRUCTURA.

“Proyecto estructural de puente “sin nombre” cuerpo derecho, localizado en el km: 140+620, del arco norte de la ciudad de México, tramo entronque México –Querétaro – Atlacomulco, Estado de México”.

De acuerdo a los estudios previos se definió que la subestructura del puente se resolverá con caballetes extremos y dos pilas intermedias, estructurada por cabezal sobre columnas de sección circular, cimentadas con zapatas de concreto reforzada.

La subestructura se diseñara para soportar la descarga de la superestructura de un ancho total de 12.16 m, considerando dos carriles de circulación del camión T3-S2-R4 72.5 ton. (Carga viva).

Para la obtención de los elementos mecánicos debido al empuje de tierras se consideró la Teoría de Rankine.

IV.1 ESPECIFICACIONES Y REGLAMENTOS DE DISEÑO.

Para el diseño estructural de los elementos que conforman la subestructura se consideraron las siguientes especificaciones:

- Standard Specifications for Highway Bridges of Association State Highway and Transportation Officials (AASHTO) 17th Edition 2002.
- Términos de Referencia de la SCT.
- Manual de Diseño por Sismo del Manual de Diseño de Obras Civiles de la Comisión Federal de Electricidad, (1994).
- Reglamento para construcciones de concreto reforzado, ACI-318-02

En particular se consideraron de AASHTO las siguientes secciones:

- Section 3 LOADS
 - Section 4 FOUNDATIONS
 - Section 5 RETAINING WALLS
 - Section 8 REINFORCED CONCRETE
- 8.16 STRENGTH DESIGN METHOD (LOAD FACTOR DESIGN)

“Proyecto estructural de puente “sin nombre” cuerpo derecho, localizado en el km: 140+620, del arco norte de la ciudad de México, tramo entronque México –Querétaro – Atlacomulco, Estado de México”.

Como lo indican los términos de referencia para proyecto constructivo de la Secretaria de Comunicaciones y Transportes, para determinar las condiciones de Sismo se utilizara los valores establecidos en El Manual de Diseño por Sismo del Manual de Diseño de Obras Civiles de la Comisión Federal de Electricidad, (1994).

Aplicando la regionalización sísmica correspondiente:

Tabla 4.1 Espectros de diseño para estructuras comunes

| ZONA SÍSMICA | TIPO DE SUELO | A_0 | c | T_a (seg) | T_b (seg) | r |
|--|---------------|-------|------|----------------|----------------|-----|
| A | I | 0.02 | 0.08 | 0.2 | 0.6 | 1/2 |
| | II | 0.04 | 0.16 | 0.3 | 1.5 | 2/3 |
| | III | 0.05 | 0.20 | 0.6 | 2.9 | 1 |
| B | I | 0.04 | 0.14 | 0.2 | 0.6 | 1/2 |
| | II | 0.08 | 0.30 | 0.3 | 1.5 | 2/3 |
| | III | 0.10 | 0.36 | 0.6 | 2.9 | 1 |
| C | I | 0.09 | 0.36 | 0.0 | 0.6 | 1/2 |
| | II | 0.13 | 0.50 | 0.0 | 1.4 | 2/3 |
| | III | 0.16 | 0.64 | 0.0 | 1.9 | 1 |
| D | I | 0.13 | 0.50 | 0.0 | 0.6 | 1/2 |
| | II | 0.17 | 0.68 | 0.0 | 1.2 | 2/3 |
| | III | 0.21 | 0.86 | 0.0 | 1.7 | 1 |
| E (Zona metropolitana Ciudad de México) | I | 0.04 | 0.16 | 0.2 | 0.6 | 1/2 |
| | II | 0.08 | 0.32 | 0.3 | 1.5 | 2/3 |
| | III | 0.10 | 0.40 | 0.6 | 3.9 | 1 |

Donde:

| | |
|-----|----------------------------------|
| I | CORRESPONDE A TERRENO FIRME |
| II | CORRESPONDE A TERRENO INTERMEDIO |
| III | CORRESPONDE A TERRENO BLANDO |

“Proyecto estructural de puente “sin nombre” cuerpo derecho, localizado en el km: 140+620, del arco norte de la ciudad de México, tramo entronque México –Querétaro – Atlacomulco, Estado de México”.

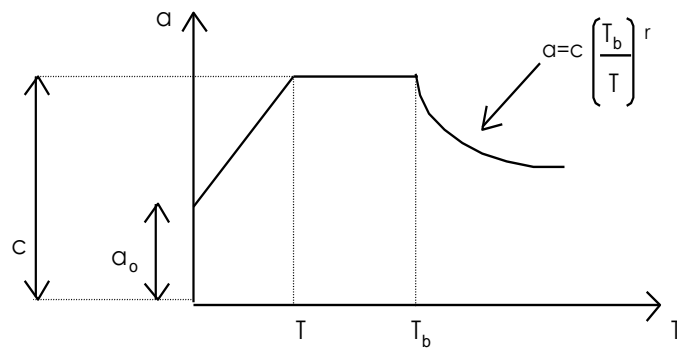


Figura 4 Espectro de diseño

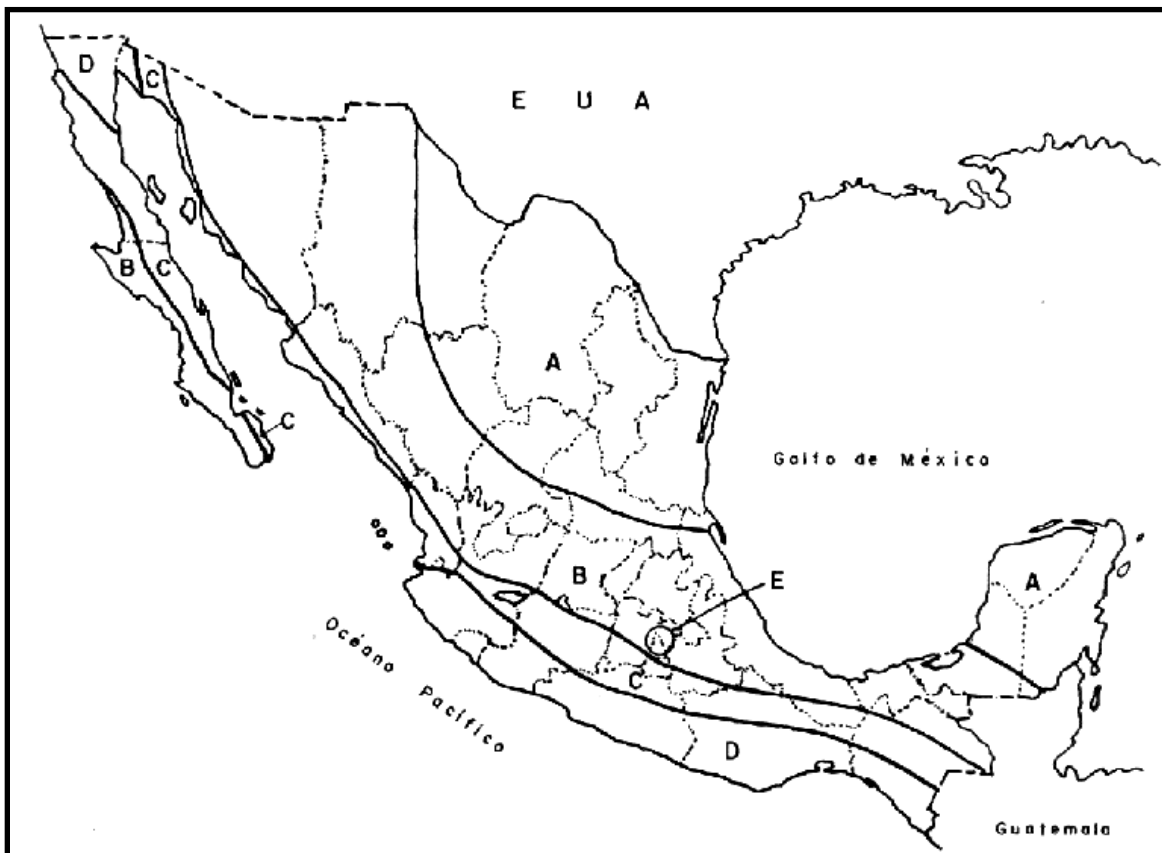


Figura 4.1 Regionalización sísmica de México

“Proyecto estructural de puente “sin nombre” cuerpo derecho, localizado en el km: 140+620, del arco norte de la ciudad de México, tramo entronque México –Querétaro – Atlacomulco, Estado de México”.

IV.1.1. DISEÑO DE CABALLETE No.1

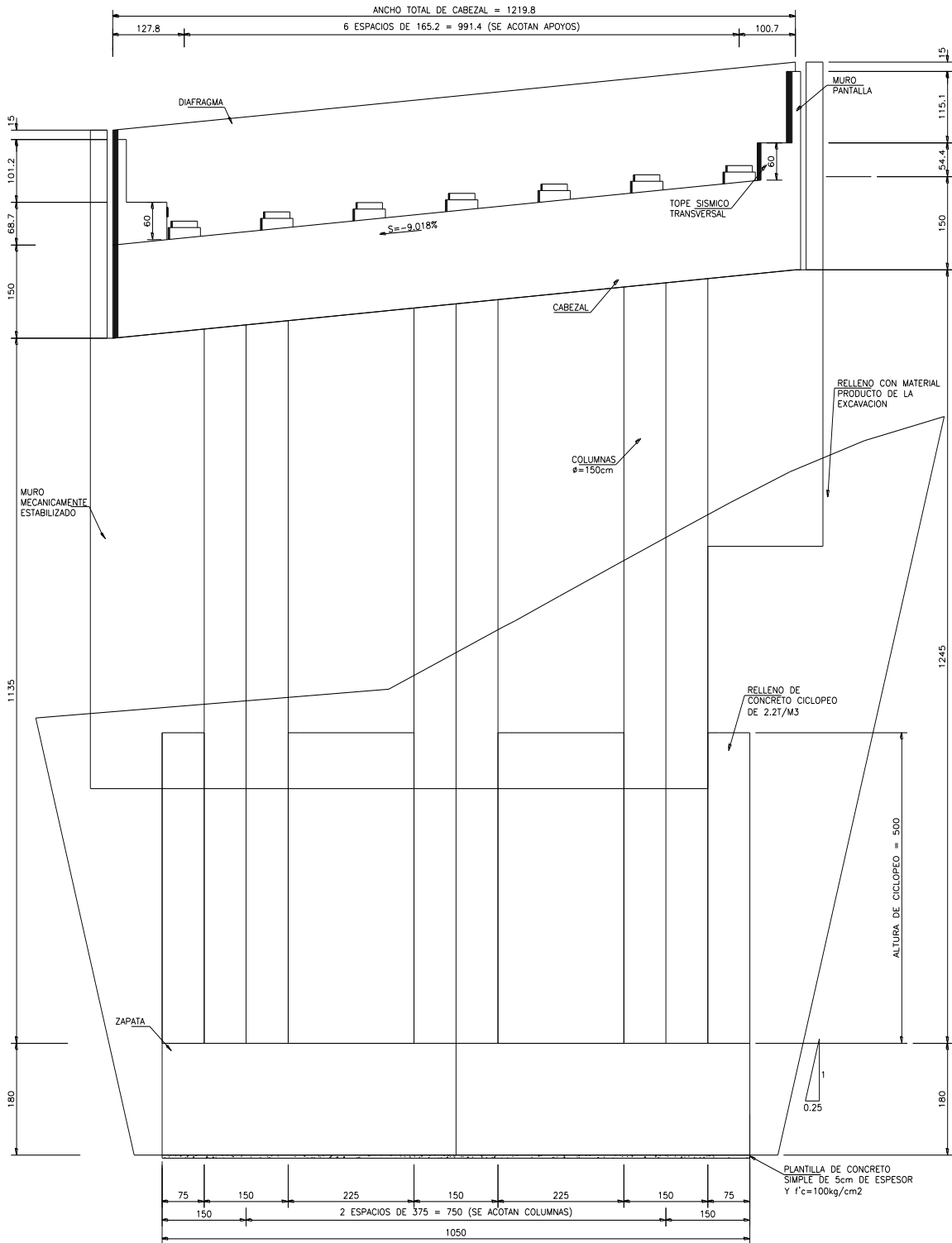


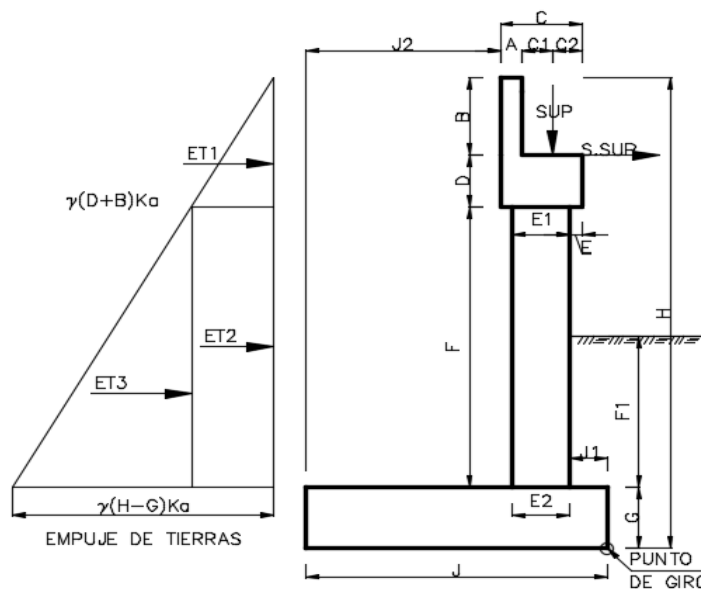
Figura 4.1.1 Elevación caballete No.1

“Proyecto estructural de puente “sin nombre” cuerpo derecho, localizado en el km: 140+620, del arco norte de la ciudad de México, tramo entronque México –Querétaro – Atlacomulco, Estado de México”.

DATOS GENERALES DE LA ESTRUCTURA

| | | | |
|---|------------------|---|------------------------|
| Estado donde se localiza la estructura: | Estado de México | Coefficiente activo para empuje de tierras (K_a): | 0.29 |
| Zona sísmica: | B | Esfuerzo permisible del terreno: | 50 ton/m ² |
| Tipo de suelo: | I | Peso volumétrico del concreto: | 2.4 ton/m ³ |
| Aceleración del terreno: | 0.06 | Peso volumétrico del terraplén: | 1.8 ton/m ³ |
| Coefficiente sísmico: | 0.21 | Peso volumétrico del concreto ciclópeo: | 2.2 ton/m ³ |
| Factor de importancia: | 1.5 | | |
| Ductilidad caballete: | 2.00 | | |
| Ductilidad neopreno: | 4.00 | | |

REVISIÓN DE ESTABILIDAD DE LA ZAPATA



GEOMETRÍA DE CABALLETE

GEOMETRÍA DE SUBESTRUCTURA

| | | | |
|---|------------|--------------|----------------------------|
| Ancho de cabezal: | 12.20 m | C1= | 0.50 m |
| Ancho de columna: | 1.50 m | C2= | 0.75 m |
| Numero de columnas: | 3.00 pzas. | D= | 1.50 m |
| Largo de zapata: | 10.50 m | E= | 0.00 m |
| Coefficiente de fricción entre zapata y suelo μ : | 0.50 | E1= | 1.50 m |
| Factor de ancho efectivo por geometría de columna 1.5 para circular y 2 para rectangular: | 1.50 | E2= | 1.50 m |
| | | $(E1+E2)/2=$ | 1.50 m |
| | | F= | 12.24 m |
| | | G= | 1.80 m |
| | | H= | 17.39 m |
| | | J= | 8.00 m |
| | A= 0.25 m | J1= | 1.00 m |
| | B= 1.85 m | J2= | 5.50 m |
| | C= 1.50 m | F1= | 8.14 m |
| | | | 5.00 m (concreto ciclópeo) |

“Proyecto estructural de puente “sin nombre” cuerpo derecho, localizado en el km: 140+620, del arco norte de la ciudad de México, tramo entronque México –Querétaro – Atlacomulco, Estado de México”.

GEOMETRÍA DE SUPERESTRUCTURA

Longitud de claro: 26.60 m
Ancho del puente: 12.16 m
Numero de traves: 7.00 pzas.
Área de una trabe: 0.497 m²
Ancho de calzada: 11.10 m
Peso de guarnición: 1.24 ton/m
Espesor de losa: 0.20 m

PESO DE SUPERESTRUCTURA (CARGA MUERTA)

Traves: 222.3 ton
Losa: 155.3 ton
Carpeta: 77.9 ton
Guarnición: 33.0 ton
Diafragmas: 36.0 ton
Total: 524.5 ton

DESCARGA POR CARGA VIVA

Se considera el camión T3-S2-R4

Descarga máxima para un carril de circulación= 47.1 ton

No de carriles de circulación= 2.0 (dato obtenido del apartado diseño de trabe AASHTO tipo IV)

Descarga:

Para 2 camiones= 47.1 x 2.0 x 1 = 94.2 ton

Factor de Impacto= 0.24 (dato obtenido del apartado diseño de trabe AASHTO tipo IV)

Descarga por carga viva mas impacto: 116.6 ton

“Proyecto estructural de puente “sin nombre” cuerpo derecho, localizado en el km: 140+620, del arco norte de la ciudad de México, tramo entronque México –Querétaro – Atlacomulco, Estado de México”.

| FUERZAS VERTICALES | | | |
|---|---------------------|-----------------------------|------------------------|
| CONCEPTO | FUERZA (ton) | BRAZO DE PALANCA (m) | MOMENTO (ton-m) |
| Peso de superestructura (Carga muerta): | 262.3 | 1.75 | 459.0 |
| Peso diafragma: | 13.5 | 2.38 | 32.1 |
| Peso cabezal: | 65.9 | 1.75 | 115.3 |
| Peso columnas: | 155.7 | 1.75 | 272.5 |
| Peso de zapata: | 362.9 | 4.00 | 1451.5 |
| Relleno obre talón frontal: | 174.8 | 0.50 | 87.4 |
| Relleno bajo cabezal: | 251.1 | 1.75 | 439.5 |
| Relleno detrás de cabezal: | 1735.7 | 5.25 | 9112.2 |
| Descarga por carga viva: | 116.6 | 1.75 | 204.0 |
| TOTAL = | 3138.5 | | 12173.6 |

| FUERZAS HORIZONTALES | | | |
|---|---------------------|-----------------------------|------------------------|
| CONCEPTO | FUERZA (ton) | BRAZO DE PALANCA (m) | MOMENTO (ton-m) |
| 1.- Empuje de Tierras: | | | |
| ET1: Sobre diafragma y cabezal | 35.6 | 15.16 | 540.0 |
| ET2: Sobre columna (Presión uniforme) $\gamma(B+D)K_a = 1.746$ | 85.3 | 10.42 | 889.3 |
| ET3: Sobre columna (Presión triangular) $\gamma(H-G)K_a = 5.526$ | 92.4 | 9.21 | 851.1 |
| 2.- Fuerzas sísmicas: | | | |
| Superestructura: | 13.8 | 15.54 | 214.0 |
| Diafragma: | 0.4 | 16.46 | 6.7 |
| Cabezal: | 2.0 | 14.79 | 29.2 |
| Columna: | 4.7 | 7.92 | 37.0 |
| TOTAL = | 234.2 | | 2567.3 |

“Proyecto estructural de puente “sin nombre” cuerpo derecho, localizado en el km: 140+620, del arco norte de la ciudad de México, tramo entronque México –Querétaro – Atlacomulco, Estado de México”.

1.- Revisión Grupo I (CM+CV+i+ET):

| | | | | |
|--|---|-----------------------|-------|----------------------------|
| Factor de seguridad al volteo = $\frac{12173.6}{2280.4}$ | = | 5.3 | > 2 | Bien |
| Factor de seguridad al deslizamiento = $\frac{1569.2}{213.3}$ | = | 7.4 | > 1.5 | Bien |
| Ubicación de la resultante respecto al punto de giro = $\frac{9893.2}{3138.5}$ | = | 3.2 m | | |
| Ubicación de la resultante respecto al centroide de la zapata = 0.8m | < | J/6= 1.3 m | | Bien |
| Esfuerzo en el terreno = $\frac{3138.5}{66.2}$ | = | 47 ton/m ² | < | 50 ton/m ² Bien |

2.- Revisión Grupo VII (CM+ET+S):

| | | | | |
|--|---|-----------------------|------------------|----------------------------|
| Factor de seguridad al volteo = $\frac{11969.5}{2567.3}$ | = | 4.7 | > 2x0.75=1.5 | Bien |
| Factor de seguridad al deslizamiento = $\frac{1511.0}{234.2}$ | = | 6.5 | > 1.5x0.75 =1.13 | Bien |
| Ubicación de la resultante respecto al punto de giro = $\frac{9402.2}{3021.9}$ | = | 3.1 m | | |
| Ubicación de la resultante respecto al centroide de la zapata = 0.89 m | < | J/3= 2.7 m | | Bien |
| Esfuerzo en el terreno = $\frac{3021.9}{65.3}$ | = | 46 ton/m ² | < | 67 ton/m ² Bien |

“Proyecto estructural de puente “sin nombre” cuerpo derecho, localizado en el km: 140+620, del arco norte de la ciudad de México, tramo entronque México –Querétaro – Atlacomulco, Estado de México”.

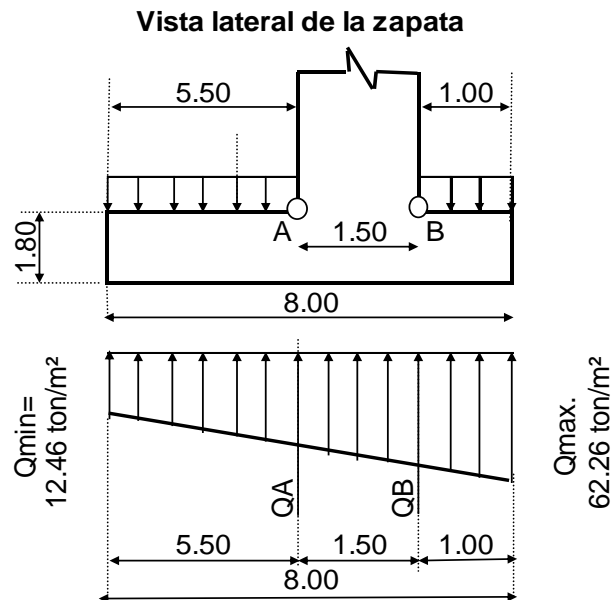
IV.1.2. DISEÑO DE ZAPATA

El factor de carga por sismo será de 1.0 según AASHTO solo cuando la aceleración del terreno es mayor a 0.09 y de 1.3 cuando sea menor de 0.09

Factor de Carga por Sismo = 1.3
 Factor de Carga por Popo = 1.3

Para el diseño de la zapata se usara el criterio (AASHTO SECTION 4.4.7.1.1.1.) Por lo que los esfuerzos en la base se calcula a continuación, siempre y cuando se se cumpla la siguiente condición:

$J/6 > e$ Donde J = (ancho de la zapata) = 8.0 m
 tenemos $J/6 = 1.3 \text{ m} > e = 0.89 \text{ m}$ Cumple



Q = Sumatoria de las fuerzas verticales = 3,138.5 ton
 Excentricidad (e) = 0.89 m
 W = Peso del Relleno = 30.05 ton/m²
 W = Peso de la zapata = 4.32 ton/m²
 Ancho de la zapata (J) = 8.00 m
 Largo de la zapata (Z) = 10.50 m

Calculo de esfuerzos:

$$Q_{\max} = Q (1 + (6 \cdot e / J)) / J \cdot Z = 62.26 \text{ ton/m}^2$$

$$Q_{\min} = Q (1 - (6 \cdot e / J)) / J \cdot Z = 12.46 \text{ ton/m}^2$$

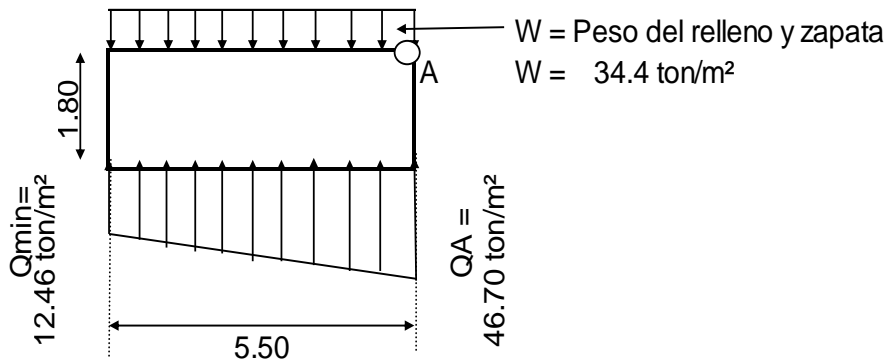
QA = Presión en el terreno en el punto A = XA = 5.50 m = 46.70 ton/m²

QB = Presión en el terreno en el punto B = XB = 7.00 m = 56.04 ton/m²

“Proyecto estructural de puente “sin nombre” cuerpo derecho, localizado en el km: 140+620, del arco norte de la ciudad de México, tramo entronque México –Querétaro – Atlacomulco, Estado de México”.

1) DISEÑO DE LA ZAPATA EN SU PARTE TRASERA

Momento con respecto al punto A



$$M_u = 1.3 (361.1 \quad -519.9) = -206.46 \text{ ton-m}$$

Por lo tanto el acero principal ira en la parte superior de la zapata

Se proponen Vars del No. 8

En paquetes de = 1.0

Separación de = 15 cm

Área de las barras = 5.07 cm²

Área de acero (A_s) = 33.80 cm²

Peralte total = 180 cm

Peralte efectivo (d) = 170 cm

Concreto (f'_c) = 250 kg/cm²

Acero (f_y) = 4,200 kg/cm²

Recubrimiento = 10 cm

b = 100 cm

a = 6.7

$$M_R = \Phi \left[A_s * f_y \left(d - \frac{a}{2} \right) \right] \quad \text{donde; } a = \frac{A_s * f_y}{0.85 * f'_c * b}$$

Por lo tanto $M_R = 212.9 \text{ ton-m} > M_u = 206.5 \text{ ton-m}$ Bien

Revisión a cortante

$$V_u = 1.3 (189.1 \quad -162.7) = 34.27 \text{ ton}$$

$$V_r = \phi V_c$$

Donde: $\phi = 0.85$

$$V_c = 0.53 (\text{Raíz } f'_c) b d = 142460.61 \text{ kg}$$

b = Ancho en cm = 100 cm

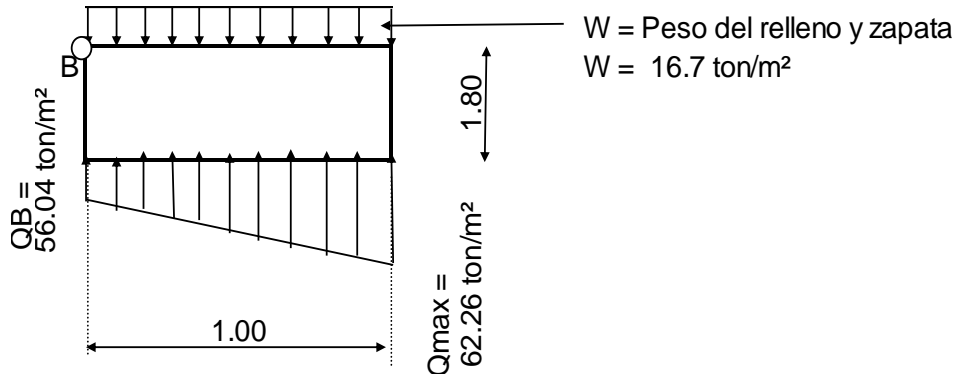
d = Peralte efectivo cm = 170 cm

$V_r = 0.9 \times 142.5 \text{ ton} = 121.1 \text{ ton} > V_u = 34.3 \text{ ton}$ Bien

“Proyecto estructural de puente “sin nombre” cuerpo derecho, localizado en el km: 140+620, del arco norte de la ciudad de México, tramo entronque México –Querétaro – Atlacomulco, Estado de México”.

2) DISEÑO DE LA ZAPATA EN SU PARTE FRONTAL.

Momento con respecto al punto B



$$M_u = 1.3 (8.3 - 30.09) = -28.30 \text{ ton-m}$$

Por lo tanto el acero principal ira en la parte inferior de la zapata

Se proponen Vars del No. 8

En paquetes de = 1.0

Separación de = 20 cm

Área de las barras = 5.07 cm²

Área de acero (As) = 25.35 cm²

Peralte total = 180 cm

Peralte efectivo (d) = 170 cm

Concreto (f'c) = 250 kg/cm²

Acero (fy) = 4,200 kg/cm²

Recubrimiento = 10 cm

b = 100 cm

a = 5

$$M_R = \Phi \left[A_s * f_y \left(d - \frac{a}{2} \right) \right] \text{ donde; } a = \frac{A_s * f_y}{0.85 * f'c * b}$$

$$\text{Por lo tanto } M_R = 160.5 \text{ ton-m} > M_u = 28.3 \text{ ton-m} \text{ Bien}$$

Revisión a cortante.

$$V_u = 1.3 (59.2 - 16.7) = 55.25 \text{ ton}$$

$$V_r = \phi V_c$$

Donde: $\phi = 0.85$

$$V_c = 0.53 (\text{Raíz } f'c) b d = 142460.61 \text{ kg}$$

b = Ancho en cm = 100 cm

d = Peralte efectivo cm = 170 cm

$$V_r = 0.9 \times 142.5 \text{ ton} = 121.1 \text{ ton} > V_u = 55.2 \text{ ton} \text{ Bien}$$

“Proyecto estructural de puente “sin nombre” cuerpo derecho, localizado en el km: 140+620, del arco norte de la ciudad de México, tramo entronque México –Querétaro – Atlacomulco, Estado de México”.

IV.1.3. DISEÑO DE COLUMNAS

Para el diseño de las columnas y cabezal se elaboro un modelo matemático considerando las siguientes cargas:

1. Carga muerta por trabe producida por todos los elementos de la superestructura
2. Carga viva producida por dos carriles de circulación del camión T3-S2-R4
3. Empuje de tierras

DETERMINACION DE LA CARGA MUERTA POR TRABE.

DATOS :

| | | | | | | | | |
|--------------------------|---|-------|------|--|--|--|--|--|
| Número de traves | = | 7.0 | Pzas | | | | | Pesos Volumétricos de : |
| Separación entre traves | = | 1.65 | m | | | | | |
| Ancho de tablero | = | 12.16 | m | | | | | Concreto = 2.4 t/m ³ |
| Ancho de guarnición | = | 0.53 | m | | | | | Carpeta asfáltica = 2.2 t/m ³ |
| Longitud de tablero | = | 26.6 | m | | | | | |
| Ancho de carril de carga | = | 3.05 | m | | | | | |

Para la trabe extrema:

| Concepto | Espesor (m) | Ancho (m) | Área (m ²) | P. Volumétrico (ton/m ³) | Peso (ton/m) | Claro (m) | Peso (ton) |
|------------|-------------|-----------|------------------------|--------------------------------------|--------------|-----------|---------------------------------------|
| Trabe | --- | x --- | 0.497 | 2.4 | = 1.19 | x 26.60 | = 31.75 |
| Losa | 0.20 | x 1.955 | = 0.391 | 2.4 | = 0.94 | x 26.60 | = 24.96 |
| Carpeta | 0.12 | x 1.586 | = 0.190 | 2.2 | = 0.42 | x 26.60 | = 11.14 |
| Guarnición | | | | | 0.62 | x 26.60 | = 4.72 |
| Diafragmas | | | | | | | = 3.00 |
| | | | | | | | Peso Total = 75.57 ton |
| | | | | | | | Descarga por trabe = 37.79 ton |

Para las traves intermedias

| Concepto | Espesor (m) | Ancho (m) | Área (m ²) | P. Volumétrico (ton/m ³) | Peso (ton/m) | Claro (m) | Peso (ton) |
|------------|-------------|-----------|------------------------|--------------------------------------|--------------|-----------|---------------------------------------|
| Trabe | --- | x --- | 0.497 | 2.4 | = 1.19 | x 26.60 | = 31.75 |
| Losa | 0.2 | x 1.65 | = 0.33 | 2.4 | = 0.79 | x 26.60 | = 21.07 |
| Carpeta | 0.12 | x 1.586 | = 0.190 | 2.2 | = 0.42 | x 26.60 | = 11.14 |
| Guarnición | | | | | 0.62 | 26.60 | = 4.72 |
| Diafragmas | | | | | | | = 6.00 |
| | | | | | | | Peso Total = 74.68 ton |
| | | | | | | | Descarga por trabe = 37.34 ton |

“Proyecto estructural de puente “sin nombre” cuerpo derecho, localizado en el km: 140+620, del arco norte de la ciudad de México, tramo entronque México –Querétaro – Atlacomulco, Estado de México”.

DETERMINACIÓN DE LA CARGA VIVA POR TRABE

Del apartado descarga por carga viva (IV.1.1 Diseño de caballete no.1) tenemos:

Descarga por carga viva mas impacto= 116.6 ton

Descarga por trabe = 16.7 ton

DETERMINACIÓN DEL EMPUJE DE TIERRAS

Del apartado fuerzas horizontales (IV.1.1 Diseño de caballete no.1) tenemos:

Empuje de tierras:

ET1: Sobre diafragma y cabezal = 11.9 ton /columna

ET2: Sobre columna (Presión uniforme) = 28.4 ton /columna

ET3: Sobre columna (Presión triangular) = 30.8 ton /columna

MODELO DE ANALISIS

Considerando las cargas descritas anteriormente y la geometría de la subestructura, se elabora el modelo de análisis en el programa Midas Civil 2011 (v2.1)

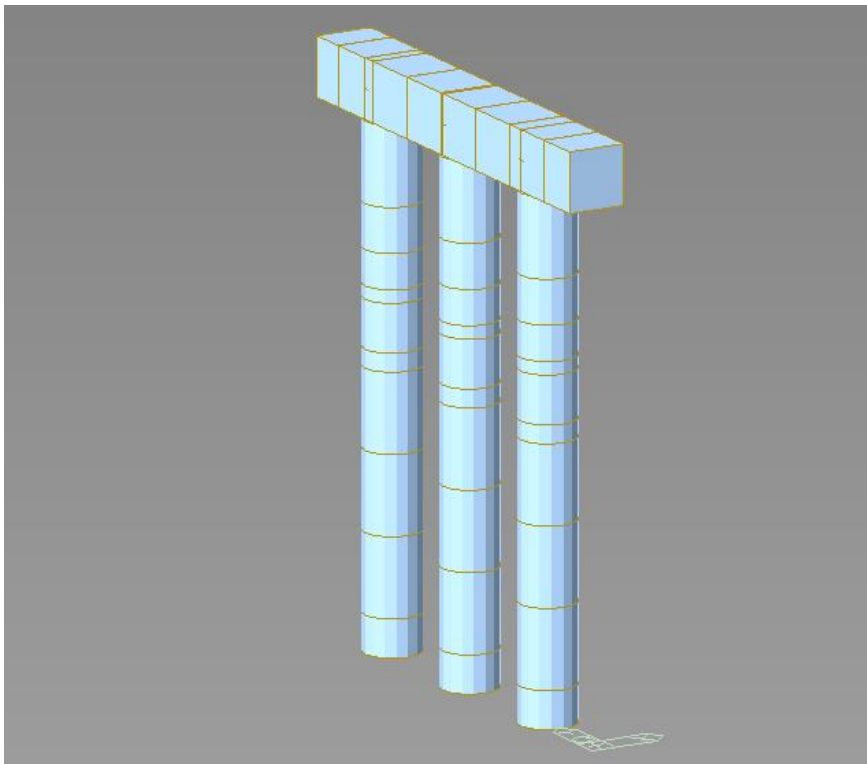


Figura 4.1.3 Vista extruida del modelo caballete No.1.

“Proyecto estructural de puente “sin nombre” cuerpo derecho, localizado en el km: 140+620, del arco norte de la ciudad de México, tramo entronque México –Querétaro – Atlacomulco, Estado de México”.

Para el diseño se consideraron los siguientes factores de comportamiento sísmico:

Q= 4 Para el cálculo de cargas transmitidas por la superestructura a la subestructura

Q= 2 Para momentos longitudinales

Q= 3 Para momentos transversales

ELEMENTOS MECANICOS OBTENIDOS DEL MODELO PARA LAS COLUMNAS

| CONDICION | N(ton) | M _{long} (ton-m) | M _{tran} (ton-m) | V _{long} (V) | V _{tran} (ton) |
|--------------------|--------|---------------------------|---------------------------|-----------------------|-------------------------|
| Carga Muerta | 183.3 | 0 | 8.5 | 0 | 0.9 |
| Carga Viva | 42.1 | 0 | 2.5 | 0 | 0.3 |
| Sismo Longitudinal | 16.8 | 101.8 | 18.6 | 16.5 | 5.7 |
| Sismo Transversal | 43.4 | 20.4 | 41.0 | 5 | 18.7 |
| Empuje de Tierras | 0 | 636.6 | 0 | 71.7 | 0 |

1.- Revisión Grupo I :

1.3 (Carga muerta+(1.67 Carga viva)+ Empuje de tierras)

N= 329.7 ton

N= 726.8 kips

M_{LONG}= 827.6 ton-m

M_{LONG}= 5,985.8 kip-ft

M_{TRAN}= 16.5 ton-m

M_{TRAN}= 119.2 kip-ft

V_{LONG}= 93.2 ton

V_{LONG}= 205.5 kips

V_{TRAN}= 1.8 ton

V_{TRAN}= 4.0 kips

2.- Revisión Grupo VII:

1.3 (Carga muerta+Empuje de tierras + Sismo longitudinal)

| | |
|---------------------------------|------------------------------------|
| N= 260.1 ton | N= 573.5 kips |
| M _{LONG} = 959.9 ton-m | M _{LONG} = 6,943.0 kip-ft |
| M _{TRAN} = 35.2 ton-m | M _{TRAN} = 254.8 kip-ft |
| V _{LONG} = 114.7 ton | V _{LONG} = 252.8 kips |
| V _{TRAN} = 8.6 ton | V _{TRAN} = 18.9 kips |

1.3 (Carga muerta+Empuje de tierras + Sismo transversal)

| | |
|---------------------------------|------------------------------------|
| N= 294.7 ton | N= 649.7 kips |
| M _{LONG} = 854.1 ton-m | M _{LONG} = 6,177.3 kip-ft |
| M _{TRAN} = 64.3 ton-m | M _{TRAN} = 465.1 kip-ft |
| V _{LONG} = 99.7 ton | V _{LONG} = 219.8 kips |
| V _{TRAN} = 25.5 ton | V _{TRAN} = 56.2 kips |

Se hace la conversión de unidades para ingresar los valores de elementos mecánicos al programa pcaColumn-version3.63 para el diseño de las **columnas a flexo compresión**

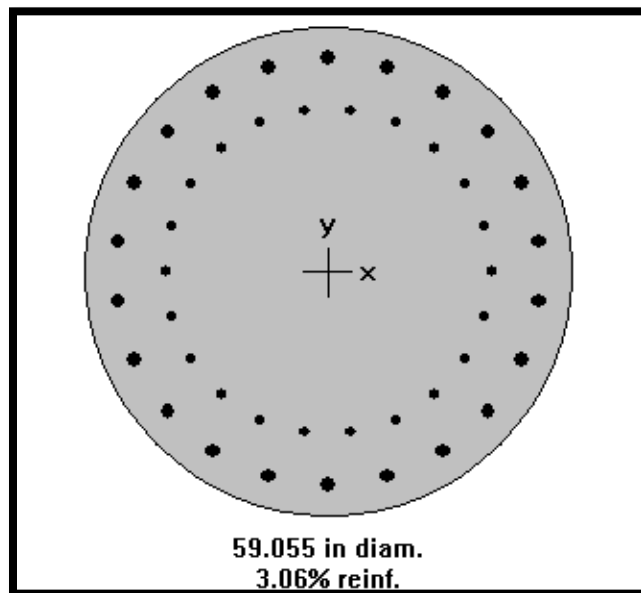


Figura 4.1.3.1 Sección de columna para diseño caballete No.1

“Proyecto estructural de puente “sin nombre” cuerpo derecho, localizado en el km: 140+620, del arco norte de la ciudad de México, tramo entronque México –Querétaro – Atlacomulco, Estado de México”.

10/16/17 pcaColumn V3.63 - PORTLAND CEMENT ASSOCIATION -
 23:33:42 Licensed to: Licensee name not yet specified.
 CABALLETE NO.1

Page 1
 COLUMNA

```

0000000  00000  00000  00000  00000  00
00 00 00 00 00 00 00 00 00 00 00
00 00 00 00 00 00 00 00 00 00 00
00 00 00 00 00 00 00 00 00 00 00
00 00 00 00 000000 00 00 00 00
0000000 00 00 00 00 00 00 00 00
00 00 00 00 00 00 00 00 00 00
00 00000 00 00 00000 00000 00000 (TM)
  
```

=====

Computer program for the Strength Design of Reinforced Concrete Sections

=====

Licensee stated above acknowledges that Portland Cement Association (PCA) is not and cannot be responsible for either the accuracy or Adequacy of the material supplied as input for processing by the PcaColumn (atm) computar program. Furthermore, PCA neither makes any warranty expressed nor implied with respect to the correctness of the output prepared by the pcaColumn(tm) program. Although PCA has endeavored to produce pcaColumn(tm) error free, the program is not and can't be certified infallible. The final and only responsibility for analysis, design and engineering documents is the licensees. Accordingly, PCA disclaims all responsibility in contract, negligence or other tort for any analysis, design or engineering documents prepared in connection with the use of the pcaColumn(tm) program.

10/16/17 pcaColumn V3.63 - PORTLAND CEMENT ASSOCIATION -
 23:33:42 Licensed to: Licensee name not yet specified.
 CABALLETE NO.1

Page 2
 COLUMNA

General Information:
 =====

File Name: C:\Users\Admin\Documents\140+620\archivo fuente\PUENTE 140+620
 MEMORIAS\COLUMNA CABALLETE NO.1.col

Project: PUENTE SIN NOMBRE 140+620
 Column: CABALLETE Engineer: GFR
 Code: ACI 318-02 Units: English

Run Option: Investigation Slenderness: Not considered
 Run Axis: Biaxial Column Type: Structural

Material Properties:
 =====

f'c = 3.56 ksi fy = 60 ksi
 Ec = 3400.95 ksi Es = 29000 ksi
 Ultimate strain = 0.003 in/in
 Betal = 0.85

“Proyecto estructural de puente “sin nombre” cuerpo derecho, localizado en el km: 140+620, del arco norte de la ciudad de México, tramo entronque México –Querétaro – Atlacomulco, Estado de México”.

Section:

=====

Circular: Diameter = 59.055 in

Gross section area, Ag = 2739.07 in²

Ix = 597031 in⁴

Iy = 597031 in⁴

Xo = 0 in

Yo = 0 in

Reinforcement:

=====

Rebar Database: ASTM A615

| Size | Diam (in) | Area (in ²) | Size | Diam (in) | Area (in ²) | Size | Diam (in) | Area (in ²) |
|------|-----------|-------------------------|------|-----------|-------------------------|------|-----------|-------------------------|
| # 3 | 0.38 | 0.11 | # 4 | 0.50 | 0.20 | # 5 | 0.63 | 0.31 |
| # 6 | 0.75 | 0.44 | # 7 | 0.88 | 0.60 | # 8 | 1.00 | 0.79 |
| # 9 | 1.13 | 1.00 | # 10 | 1.27 | 1.27 | # 11 | 1.41 | 1.56 |
| # 14 | 1.69 | 2.25 | # 18 | 2.26 | 4.00 | | | |

Confinement: Tied; #4 ties with #10 bars, #4 with larger bars.
 phi(a) = 0.8, phi(b) = 0.9, phi(c) = 0.65

Pattern: Irregular

Total steel area, As = 83.82 in² at 3.06%

| Area in ² | X (in) | Y (in) | Area in ² | X (in) | Y (in) | Area in ² | X (in) | Y (in) |
|----------------------|--------|--------|----------------------|--------|--------|----------------------|--------|--------|
| 2.54 | 0.0 | 25.7 | 1.27 | 18.9 | -5.5 | 2.54 | 7.2 | 24.7 |
| 1.27 | 19.9 | 0.0 | 2.54 | 13.9 | 21.6 | 1.27 | 16.6 | -10.6 |
| 2.54 | 19.4 | 16.8 | 1.27 | 8.2 | -17.9 | 2.54 | 23.4 | 10.7 |
| 1.27 | 12.9 | -14.9 | 2.54 | 25.4 | 3.7 | 1.27 | 18.9 | 5.5 |
| 2.54 | 25.4 | -3.7 | 1.27 | 2.8 | 19.5 | 2.54 | 23.4 | -10.7 |
| 1.27 | -2.8 | 19.5 | 2.54 | 19.4 | -16.8 | 1.27 | 8.2 | 17.9 |
| 2.54 | 13.9 | -21.6 | 1.27 | 16.6 | 10.6 | 2.54 | 7.2 | -24.7 |
| 1.27 | 12.9 | 14.9 | 2.54 | 0.0 | -25.7 | 1.27 | -18.9 | 5.5 |
| 2.54 | -7.2 | -24.7 | 1.27 | -19.7 | 0.0 | 2.54 | -13.9 | -21.6 |
| 1.27 | -16.6 | 10.6 | 2.54 | -19.4 | -16.8 | 1.27 | -8.2 | 17.9 |
| 2.54 | -23.4 | -10.7 | 1.27 | -12.9 | 14.9 | 2.54 | -25.4 | -3.7 |
| 1.27 | -18.9 | -5.5 | 2.54 | -25.4 | 3.7 | 1.27 | -2.8 | -19.5 |
| 2.54 | -23.4 | 10.7 | 1.27 | 2.8 | -19.5 | 2.54 | -19.4 | 16.8 |
| 1.27 | -8.2 | -17.9 | 2.54 | -13.9 | 21.6 | 1.27 | -16.6 | -10.6 |
| 2.54 | -7.2 | 24.7 | 1.27 | -12.9 | -14.9 | | | |

10/16/17 pcaColumn V3.63 - PORTLAND CEMENT ASSOCIATION -
 23:33:42 Licensed to: Licensee name not yet specified.

Page 3
 COLUMNA

CABALLETE NO.1

Factored Loads and Moments with Corresponding Capacities: (see user's manual for notation)

=====

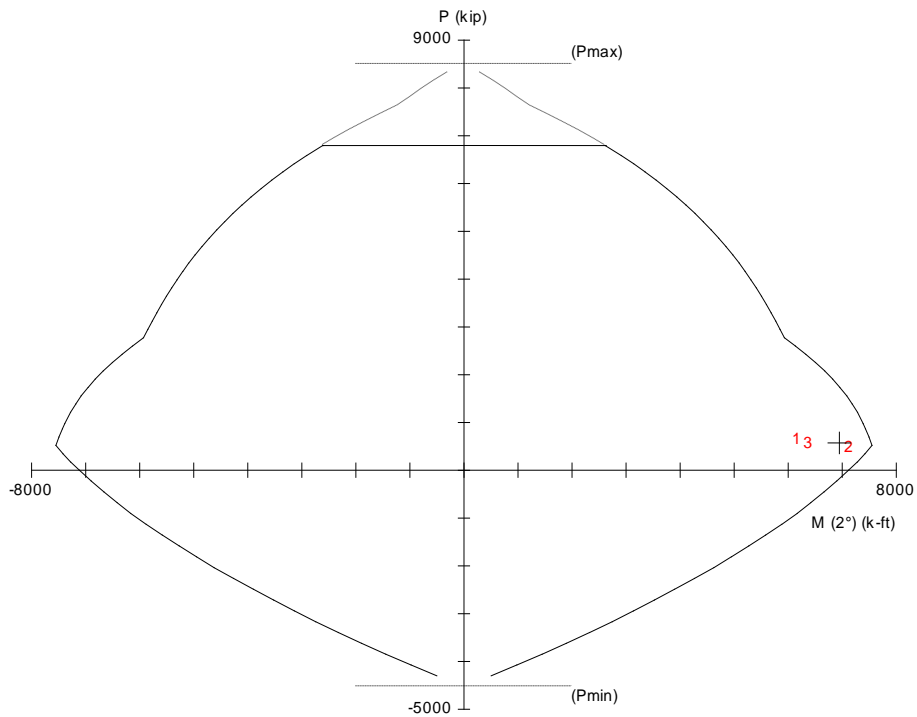
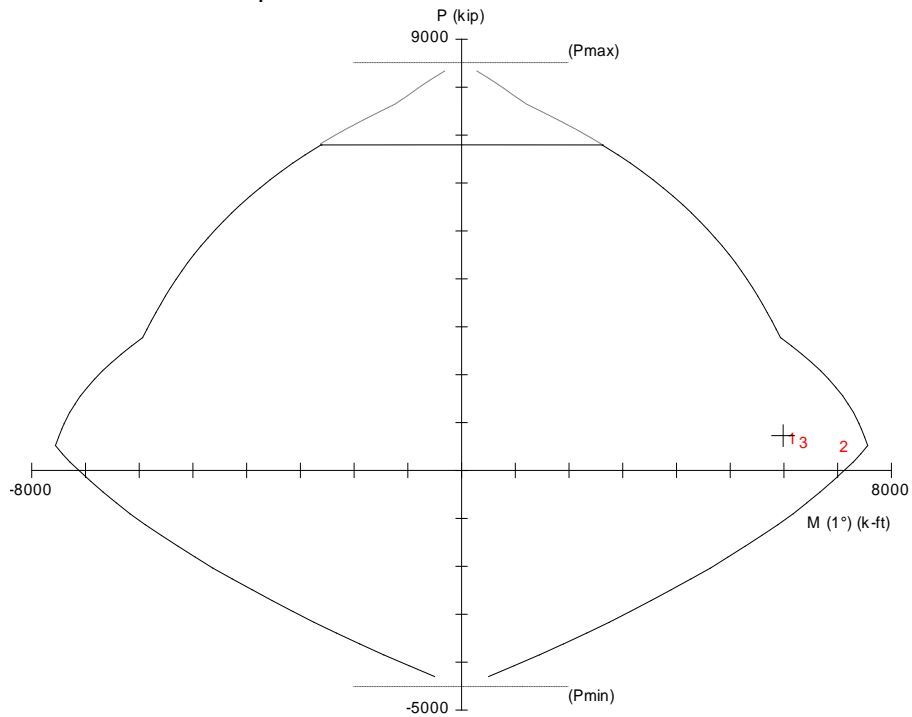
| No. | Pu kip | Mux k-ft | Muy k-ft | fMnx k-ft | fMny k-ft | fMn/Mu |
|-----|-----------|-------------|-------------|--------------|--------------|--------|
| 1 | 726.8 | 5985.8 | 119.2 | 7488.1 | 149.1 | 1.251 |
| 2 | 573.5 | 6943.0 | 254.8 | 7528.7 | 276.3 | 1.084 |
| 3 | 649.7 | 6177.3 | 465.1 | 7479.8 | 563.2 | 1.211 |

*** Program completed as requested! **

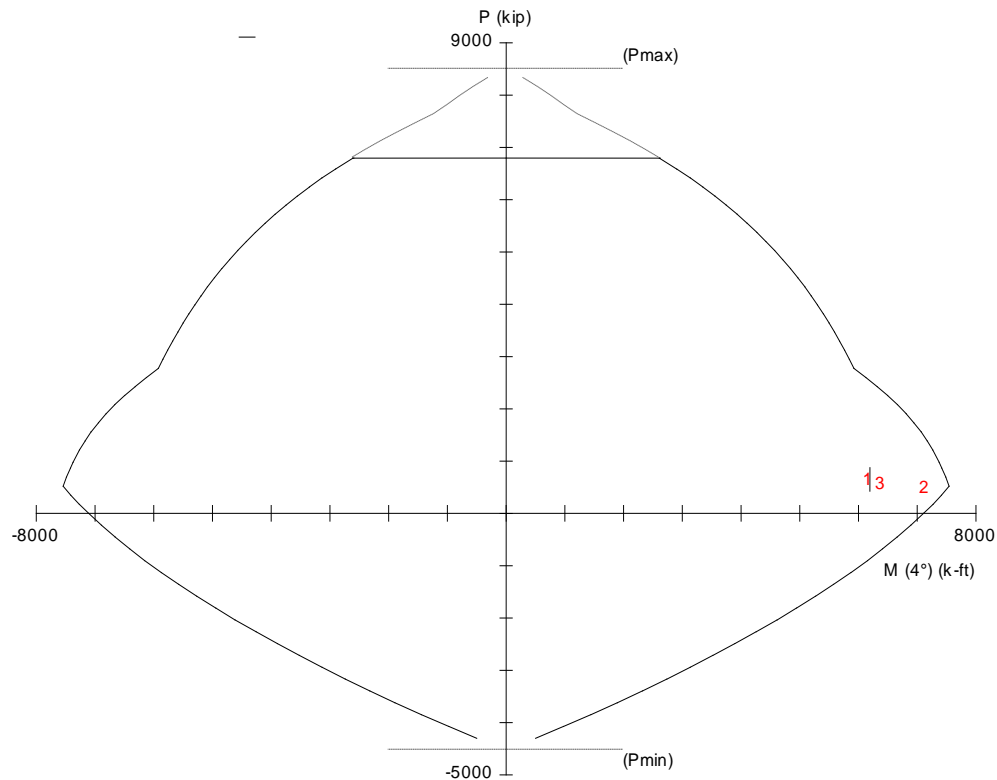
“Proyecto estructural de puente “sin nombre” cuerpo derecho, localizado en el km: 140+620, del arco norte de la ciudad de México, tramo entronque México –Querétaro – Atlacomulco, Estado de México”.

Por lo tanto se opta por un refuerzo de 22 paquetes de 2 varillas del #10 con un recubrimiento de 10 cm y 22 varillas del #10 con un recubrimiento de 25 cm, resultando una cuantía de 3.06 %

A continuación se muestra el diagrama de interacción que presenta que las combinaciones de carga están dentro de la superficie de fluencia:



“Proyecto estructural de puente “sin nombre” cuerpo derecho, localizado en el km: 140+620, del arco norte de la ciudad de México, tramo entronque México –Querétaro – Atlacomulco, Estado de México”.



Diseño a Cortante de columnas

$$V_r = \Phi(V_c + V_s) \quad Vu = 114,660 \text{ kg}$$

Donde:

$$\phi = 0.850$$

$$f_c = 250 \text{ kg/cm}^2$$

$$f_y = 4,200 \text{ kg/cm}^2$$

$$\phi V_c = 0.53 (\text{Raíz } f_c) b d = 109,651 \text{ kg}$$

No resiste por seccion propia, requiere refuerzo transversal

$$V_c = 0.53 (\text{Raíz } f_c) b d = 175,981 \text{ kg}$$

$$V_s = (Vu / \phi) - V_c = -41,087 \text{ kg}$$

$$b = \text{Ancho en cm} = 150 \text{ cm}$$

$$H = \text{Peralte total en cm} = 150 \text{ cm}$$

$$r = \text{Recubrimiento en cm} = 10 \text{ cm}$$

$$d = \text{Peralte efectivo en cm} = 140 \text{ cm.}$$

$$= \text{Número de ramas} = 4$$

$$= \text{Se proponen Vars del No.} = 4$$

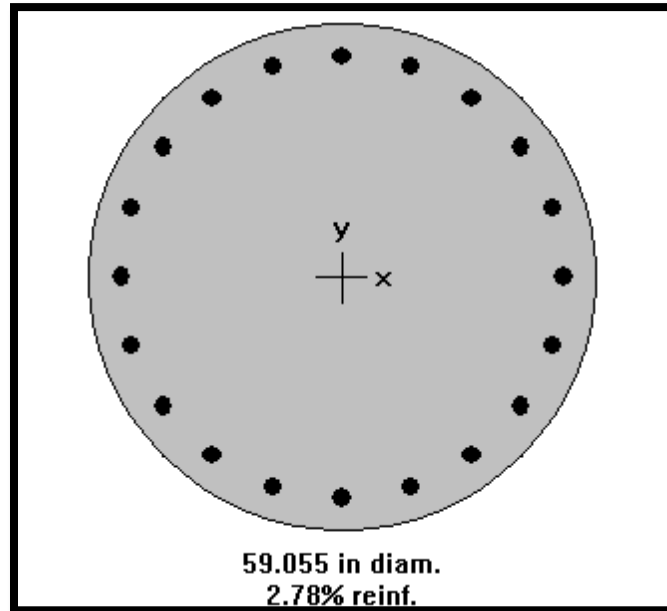
$$A_v = \text{Área de acero en cm}^2 = 5.08 \text{ cm}^2$$

$$\text{Separación de estribos } S = (A_v * f_y * d) / (V_s) \text{ en cm} = -73 \text{ cm}$$

Se proponen estribos del 4 c en 4 Ramas.

Separación de estribos: @ 10 cm En las zonas de conexión de la columna con la zapata y el cabezal y en el resto la separación ser a @30cm

Recomendación de cambio de acero de refuerzo para columnas



**Figura 4.1.3.2 Sección de columna para diseño caballete No.1
(recomendación)**

Se recomienda un refuerzo de 22 paquetes de 3 varillas del #10 con un recubrimiento de 10 cm resultando una cuantía de 2.78 %

Haciendo uso de las combinaciones de carga del apartado IV.1.3. Diseño de columnas, se hace la revisión de la columna con el refuerzo propuesto, a continuación se muestran los resultados del programa pcaColumn-version3.63 para el diseño de las columnas a flexo compresión:

“Proyecto estructural de puente “sin nombre” cuerpo derecho, localizado en el km: 140+620, del arco norte de la ciudad de México, tramo entronque México –Querétaro – Atlacomulco, Estado de México”.

11/30/17 pcaColumn V3.63 - PORTLAND CEMENT ASSOCIATION -
 01:02:09 Licensed to: Licensee name not yet specified.
 CABALLETE NO.1 simple

Page 1
 COLUMNA

```

0000000  00000  00000  00000  00000  00
00 00 00 00 00 00 00 00 00 00 00
00 00 00 00 00 00 00 00 00 00 00
00 00 00 00 00 00 00 00 00 00 00
00 00 00 00 000000 00 00 00 00
0000000 00 00 00 00 00 00 00 00
00 00 00 00 00 00 00 00 00 00
00 00000 00 00 00000 00000 00000 (TM)
    
```

=====
 Computer program for the Strength Design of Reinforced Concrete Sections
 =====

Licensee stated above acknowledges that Portland Cement Association (PCA) is not and cannot be responsible for either the accuracy or adequacy of the material supplied as input for processing by the pcaColumn(tm) computer program. Furthermore, PCA neither makes any warranty expressed nor implied with respect to the correctness of the output prepared by the pcaColumn(tm) program. Although PCA has endeavored to produce pcaColumn(tm) error free, the program is not and can't be certified infallible. The final and only responsibility for analysis, design and engineering documents is the licensees. Accordingly, PCA disclaims all responsibility in contract, negligence or other tort for any analysis, design or engineering documents prepared in connection with the use of the pcaColumn(tm) program.

11/30/17 pcaColumn V3.63 - PORTLAND CEMENT ASSOCIATION -
 01:02:09 Licensed to: Licensee name not yet specified.
 CABALLETE NO.1 simple

Page 2
 COLUMNA

General Information:
 =====

File Name: C:\Users\Admin\Documents\140+620\archivo fuente\PUENTE 140+620
 MEMORIAS\COLUMNA CABALLETE NO.1 simple.col

Project: PUENTE SIN NOMBRE 140+620
 Column: CABALLETE Engineer: GFR
 Code: ACI 318-02 Units: English

Run Option: Investigation Slenderness: Not considered
 Run Axis: Biaxial Column Type: Structural

Material Properties:
 =====

f'c = 3.56 ksi fy = 60 ksi
 Ec = 3400.95 ksi Es = 29000 ksi
 Ultimate strain = 0.003 in/in
 Beta1 = 0.85

“Proyecto estructural de puente “sin nombre” cuerpo derecho, localizado en el km: 140+620, del arco norte de la ciudad de México, tramo entronque México –Querétaro – Atlacomulco, Estado de México”.

Section:

=====

Circular: Diameter = 59.055 in

Gross section area, Ag = 2739.07 in²

Ix = 597031 in⁴

Xo = 0 in

Iy = 597031 in⁴

Yo = 0 in

Reinforcement:

=====

Rebar Database: ASTM A615

| Size | Diam (in) | Area (in ²) | Size | Diam (in) | Area (in ²) | Size | Diam (in) | Area (in ²) |
|------|-----------|-------------------------|------|-----------|-------------------------|------|-----------|-------------------------|
| # 3 | 0.38 | 0.11 | # 4 | 0.50 | 0.20 | # 5 | 0.63 | 0.31 |
| # 6 | 0.75 | 0.44 | # 7 | 0.88 | 0.60 | # 8 | 1.00 | 0.79 |
| # 9 | 1.13 | 1.00 | # 10 | 1.27 | 1.27 | # 11 | 1.41 | 1.56 |
| # 14 | 1.69 | 2.25 | # 18 | 2.26 | 4.00 | | | |

Confinement: Tied; #3 ties with #10 bars, #4 with larger bars.
 phi(a) = 0.8, phi(b) = 0.9, phi(c) = 0.65

Pattern: Irregular

Total steel area, As = 76.20 in² at 2.78%

| Area in ² | X (in) | Y (in) | Area in ² | X (in) | Y (in) | Area in ² | X (in) | Y (in) |
|----------------------|--------|--------|----------------------|--------|--------|----------------------|--------|--------|
| 3.81 | 0.0 | 25.7 | 3.81 | 7.9 | 24.4 | 3.81 | 15.1 | 20.8 |
| 3.81 | 20.8 | 15.1 | 3.81 | 24.4 | 7.9 | 3.81 | 25.7 | 0.0 |
| 3.81 | 24.4 | -7.9 | 3.81 | 20.8 | -15.1 | 3.81 | 15.1 | -20.8 |
| 3.81 | 7.9 | -24.4 | 3.81 | 0.0 | -25.7 | 3.81 | -7.9 | -24.4 |
| 3.81 | -15.1 | -20.8 | 3.81 | -20.8 | -15.1 | 3.81 | -24.4 | -7.9 |
| 3.81 | -25.7 | 0.0 | 3.81 | -24.4 | 7.9 | 3.81 | -20.8 | 15.1 |
| 3.81 | -15.1 | 20.8 | 3.81 | -7.9 | 24.4 | | | |

Factored Loads and Moments with Corresponding Capacities: (see user's manual for notation)

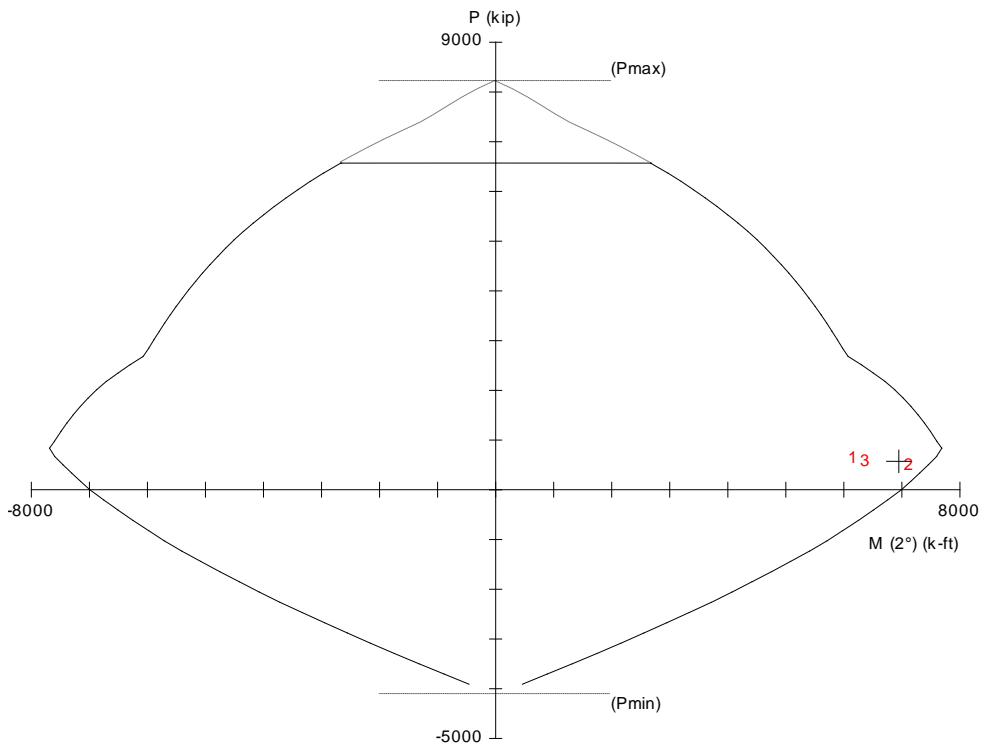
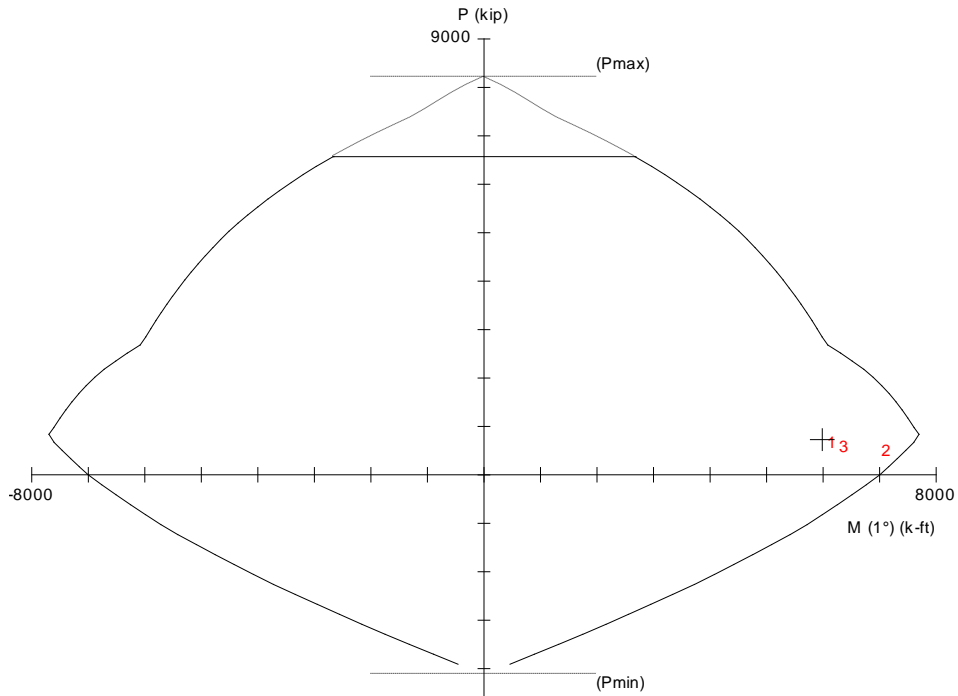
=====

| No. | Pu kip | Mux k-ft | Muy k-ft | fMnx k-ft | fMny k-ft | fMn/Mu |
|-----|-----------|-------------|-------------|--------------|--------------|--------|
| 1 | 726.8 | 5985.8 | 119.2 | 7649.7 | 152.3 | 1.278 |
| 2 | 573.5 | 6943.0 | 254.8 | 7512.9 | 275.7 | 1.082 |
| 3 | 649.7 | 6177.3 | 465.1 | 7559.3 | 569.2 | 1.224 |

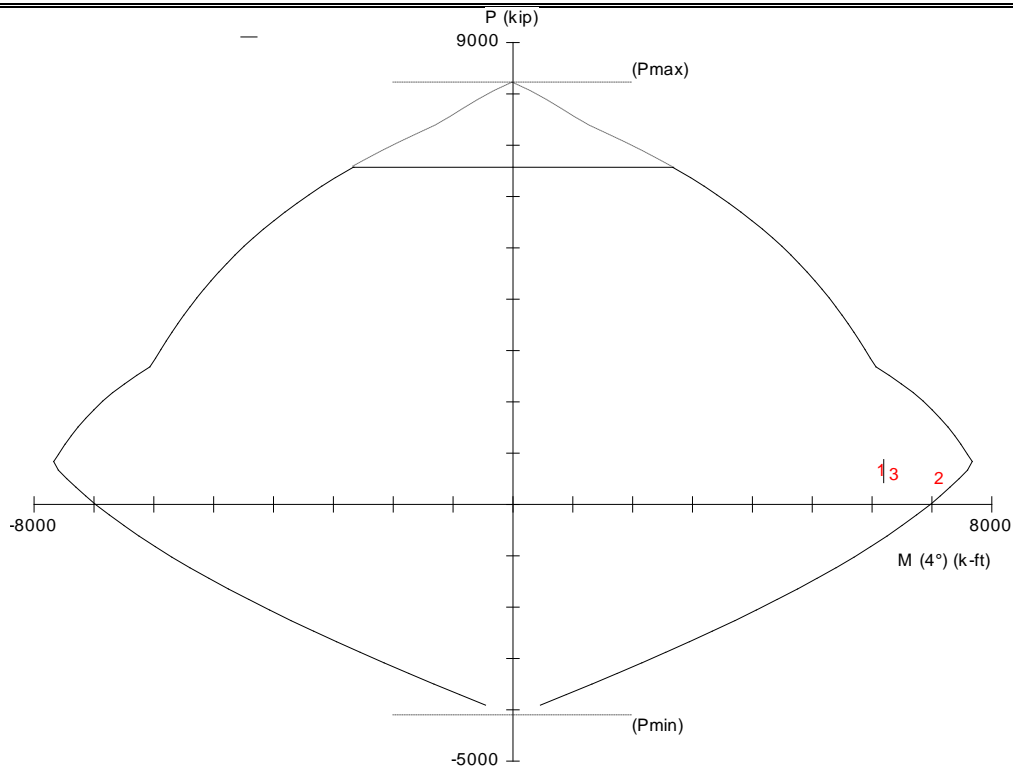
*** Program completed as requested! ***

“Proyecto estructural de puente “sin nombre” cuerpo derecho, localizado en el km: 140+620, del arco norte de la ciudad de México, tramo entronque México –Querétaro – Atlacomulco, Estado de México”.

A continuación se muestra el diagrama de interacción que presenta que las combinaciones de carga están dentro de la superficie de fluencia:



“Proyecto estructural de puente “sin nombre” cuerpo derecho, localizado en el km: 140+620, del arco norte de la ciudad de México, tramo entronque México –Querétaro – Atlacomulco, Estado de México”.



Diseño a Cortante de columnas

$$V_r = \Phi(V_c + V_s) \quad Vu = 114,660 \text{ kg}$$

Donde:

$$\phi = 0.850$$

$$f'_c = 250 \text{ kg/cm}^2$$

$$f_y = 4,200 \text{ kg/cm}^2$$

$$\phi V_c = 0.53 (\text{Raíz } f'_c) b d = 109,651 \text{ kg}$$

No resiste por sección propia, requiere refuerzo transversal

$$V_c = 0.53 (\text{Raíz } f'_c) b d = 175,981 \text{ kg}$$

$$V_s = (Vu / \phi) - V_c = -41,087 \text{ kg}$$

$$b = \text{Ancho en cm} = 150 \text{ cm}$$

$$H = \text{Peralte total en cm} = 150 \text{ cm}$$

$$r = \text{Recubrimiento en cm} = 10 \text{ cm}$$

$$d = \text{Peralte efectivo en cm} = 140 \text{ cm}$$

$$= \text{Número de ramas} = 2$$

$$= \text{Se proponen Vars del No} = 4$$

$$A_v = \text{Área de acero en cm}^2 = 2.54 \text{ cm}^2$$

$$\text{Separación de estribos } S = (A_v * f_y * d) / (V_s) \text{ en cms.} = -36 \text{ cm}$$

Se proponen estribos del 4 c en 2 Ramas

Separación de estribos: @ 10 cm En las zonas de conexión de la columna con la zapata y el cabezal y en el resto la separación ser a @30cm

Se aprecia que el refuerzo recomendado es suficiente.

“Proyecto estructural de puente “sin nombre” cuerpo derecho, localizado en el km: 140+620, del arco norte de la ciudad de México, tramo entronque México –Querétaro – Atlacomulco, Estado de México”.

IV.1.4. DISEÑO DE CABEZAL

ELEMENTOS MECANICOS OBTENIDOS DEL MODELO PARA EL CABEZAL

| CONDICIÓN | V(ton) | M(+) (ton-m) | M(-) (ton-m) |
|--------------------|--------|--------------|--------------|
| Carga Muerta | 70.5 | 10.9 | 66.4 |
| Carga Viva | 44.5 | 4.2 | 45.4 |
| Sismo Longitudinal | 12.4 | 14.1 | 0.0 |
| Sismo Transversal | 38.6 | 45.5 | 0.0 |

1.- Revisión Grupo I :

1.3 (Carga muerta+(1.67 Carga viva))

Vu= 188.3 ton
 Mu(+)= 23.3 ton-m
 Mu(-)= 184.9 ton-m

2.- Revisión Grupo VII:

1.3 (Carga muerta+ Sismo longitudinal)

Vu= 107.8 ton
 Mu(+)= 32.5 ton-m
 Mu(-)= 86.3 ton-m

1.3 (Carga muerta+ Sismo transversal)

Vu= 141.8 ton
 Mu(+)= 73.3 ton-m
 Mu(-)= 86.3 ton-m

Diseño a momento negativo

Mu = 184.88 ton-m

Se proponen Vars del No. 8 y No 8

En paquetes de = 1.0

Separación de = 20 cm

Área de las barras = 10.14 cm²

Área de acero (As) = 76.05 cm²

Peralte total = 150 cm

Peralte efectivo (d) = 140 cm

Concreto (f'c) = 250 kg/cm²

Acero (fy) = 4,200 kg/cm²

Recubrimiento = 10 cm

b = 150 cm

a = 10

$$M_R = \Phi \left[A_s * f_y \left(d - \frac{a}{2} \right) \right] \text{ Donde; } a = \frac{A_s * f_y}{0.85 * f'c * b}$$

Por lo tanto $M_R = 388.1 \text{ ton-m} > Mu = 184.9 \text{ ton-m}$ Bien

“Proyecto estructural de puente “sin nombre” cuerpo derecho, localizado en el km: 140+620, del arco norte de la ciudad de México, tramo entronque México –Querétaro – Atlacomulco, Estado de México”.

Diseño a momento positivo

Mu = 73.26 ton-m

Se proponen Vars del No. 8

| | | |
|----------------------|----------------------------|--|
| En paquetes de | = 1.0 | $M_R = \Phi \left[A_s * f_y \left(d - \frac{a}{2} \right) \right]$ Donde; $a = \frac{A_s * f_y}{0.85 * f'c * b}$ |
| Separación de | = 20 cm | |
| Área de las barras | = 5.07 cm ² | |
| Área de acero (As) | = 38.03 cm ² | |
| Peralte total | = 150 cm | |
| Peralte efectivo (d) | = 140 cm | |
| Concreto (f'c) | = 250 kg/cm ² | |
| Acero (fy) | = 4,200 kg/cm ² | |
| Recubrimiento | = 10 cm | |
| | b = 150 cm | |
| | a = 5 | |

Por lo tanto $M_R = 197.6 \text{ ton-m} > Mu = 73.3 \text{ ton-m}$ Bien

Diseño a cortante del cabezal

$V_r = \Phi(V_c + V_s)$ Vu = 188,260 kg

Donde:

$\phi = 0.850$

f'c = 250 kg/cm²

fy = 4,200 kg/cm²

$\phi V_c = 0.53 (\text{Raíz } f'c) b d = 149,584 \text{ kg}$

No resiste por sección propia, requiere refuerzo transversal

$V_c = 0.53 (\text{Raíz } f'c) b d = 175,981 \text{ kg}$

$V_s = (Vu / \phi) - V_c = 45,501 \text{ kg}$

b = Ancho en cm = 150 cm

H = Peralte total en cm = 150 cm

r = Recubrimiento en cm = 10 cm

d = Peralte efectivo en cm = 140 cm

= Número de ramas. = 4

= Se proponen Vars del No. = 4

Av = Área de acero en cm² = 5.08 cm²

Separación de estribos $S = (Av * fy * d) / (Vs)$ en cm = 66 cm

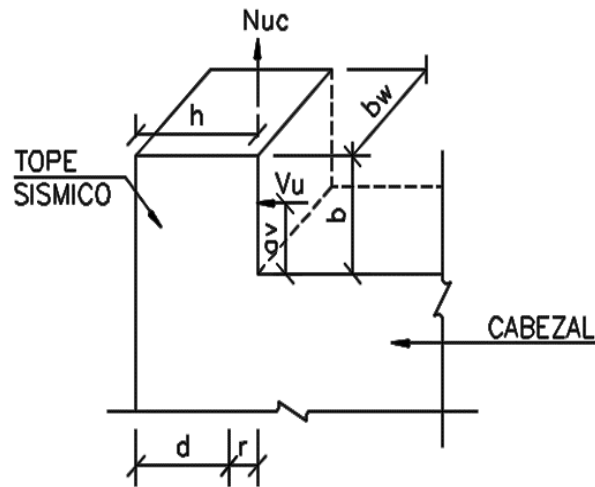
Se proponen estribos del 4 c en 4 Ramas

Separación de estribos: @ 20 cm

“Proyecto estructural de puente “sin nombre” cuerpo derecho, localizado en el km: 140+620, del arco norte de la ciudad de México, tramo entronque México –Querétaro – Atlacomulco, Estado de México”.

IV.1.5. DISEÑO DE TOPE SÍSMICO EN CABALLETES

Diseño del tope sísmico transversal como ménsula de acuerdo a AASHTO section 8.16.6.8



VISTA TOPE SISMICO

GEOMETRÍA:

- h= 72.2 cm
- d= 67.2 cm
- r= 5 cm
- b= 60 cm
- av= 37 cm
- bw = 125 cm

1) Criterios de revisión como Ménsula.

- 1.- $av/d < 1$ = $av / d = 37 / 67 = 0.55 < 1$ Cumple como ménsula
 - 2.- $h > 0.5d$ = $h = 72.2 > 0.5 \times 67.2 = 34$ Cumple como ménsula
 - 3.- Que al fuerza Nu no sea mayor que la fuerza Vu. Cumple como ménsula
- Número de topes = 2

Calculo de cortante de diseño:

$$Vu = \frac{\text{Peso de la súper} \times C. \text{ sísmico} \times F.C.}{\text{Ductilidad}} = \frac{270 \times 0.21 \times 1.3}{1}$$

$$Vu = 73.7 \text{ ton}$$

$$Nuc = 0.2 \times Vu = 0.20 \times 73.75 \text{ ton} = 14.7 \text{ ton}$$

2) Acero por fricción (Avf).

$$Avf = (Vu / (\phi * fy * \mu)) =$$

$$(73.7 / (0.9 \times 4.2 \times 1.4)) = 14.8 \text{ cm}^2$$

3)Acero Para resistir Nuc (An).

$$A_n = N_{uc} / (\phi * f_y) = 14,749 \text{ kg} / (0.9 \times 4200 \text{ kg/cm}^2) = 4.1 \text{ cm}^2$$

si $V_u \leq \phi V_r$, Por lo tanto $V_n = V_u / \phi$ Por lo tanto $V_n = 73.7 / 0.9 = 86.8 \text{ ton}$

Donde: $\phi = 0.9$
 $V_n = A_v f_y \mu = 86.8 \text{ ton}$
 $\mu = 1.4$
 $f_c = 250 \text{ kg/cm}^2 = 3,556 \text{ lb/in}^2$
 $f_y = 4200 \text{ kg/cm}^2$

V_n no debe ser mayor a los dos siguientes valores: $V_n = 191,272 \text{ lb}$

1.- $0.2 * f_c * b_w * d =$
 $0.2 \times 3,556 \text{ lb/in}^2 \times 49.2 \text{ in} \times 26.5 \text{ in} = 925,945 \text{ lb}$
 Bien

2.- $800 * b_w * d =$
 $800 \times 49.2 \text{ in} \times 26.5 \text{ in} = 1,041,602 \text{ lb}$
 Bien

Por lo tanto el V_n será igual a $= 86.8 \text{ ton}$

4)Acero para resistir el momento (Af).

$$M_u = ((V_u * a_v) + (N_{uc} * (h - d))) = ((73.7 \times 0.4) + (14.7 \times (0.72 - 0.67)))$$

Mu = 28.0 ton-m

$$M_R = \phi \left(A_s * f_y \left(d - \frac{a}{2} \right) \right)$$

Se proponen Var No. 5

En paquetes de = 1.0

Separación de = 15 cm

Área de las barras = 1.98 cm²

Área de acero (Af) = 17 cm²

Peralte total = 72 cm

Peralte efectivo (d) = 67 cm

Concreto (f'c) = 250 kg/cm²

Acero (fy) = 4200 kg/cm²

Recubrimiento = 5 cm

b_w = 125 cm

a = 2.6 cm

donde; $a = \frac{A_s * f_y}{0.85 * f'_c * b}$

Por lo tanto $M_R = 41.1 \text{ ton-m} > M_u = 28.0 \text{ ton-m}$

Bien

“Proyecto estructural de puente “sin nombre” cuerpo derecho, localizado en el km: 140+620, del arco norte de la ciudad de México, tramo entronque México –Querétaro – Atlacomulco, Estado de México”.

El área principal A_s debe ser igual al mayor de los valores siguientes:

$$1.- (A_f + A_n) = 17 \text{ cm}^2 + 4.1 \text{ cm}^2 = 20.6 \text{ cm}^2$$

$$2.- ((2 \cdot A_{vf})/3) + A_n = ((2 \times 14.8) / 3) + 4.1 = 14.0 \text{ cm}^2$$

Por lo tanto se adopta como $A_s = 20.6 \text{ cm}^2$

En ambos casos el área restante A_h debe ser igual a:

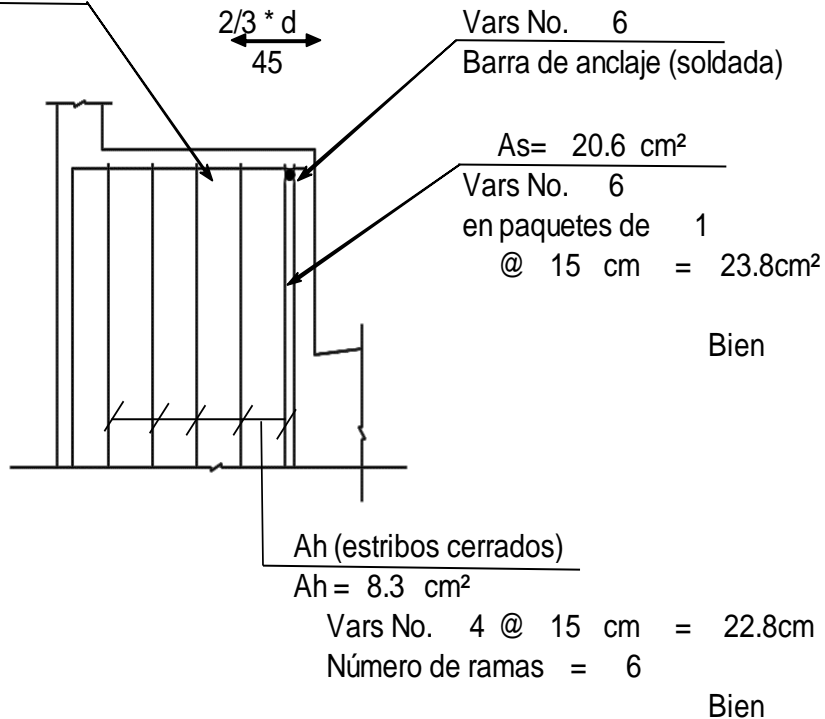
$$A_h = 0.5 \cdot (A_s - A_n) = 0.5 \cdot (20.6 - 4.1) = 8.3 \text{ cm}^2$$

La relación de refuerzo $\rho = A_s / b \cdot d$ No debe ser menor de 0.04 (f_c / f_y)

$$\rho = \frac{20.6}{60 \times 67} = 0.0051$$

$$0.04(f_c/f_y) = 0.04 (250 / 4200) = 0.0024 \quad \text{Bien}$$

Barra para sostener los estribos.
6c @ 15cm



“Proyecto estructural de puente “sin nombre” cuerpo derecho, localizado en el km: 140+620, del arco norte de la ciudad de México, tramo entronque México –Querétaro – Atlacomulco, Estado de México”.

IV.2.1 DISEÑO DE PILA No.2

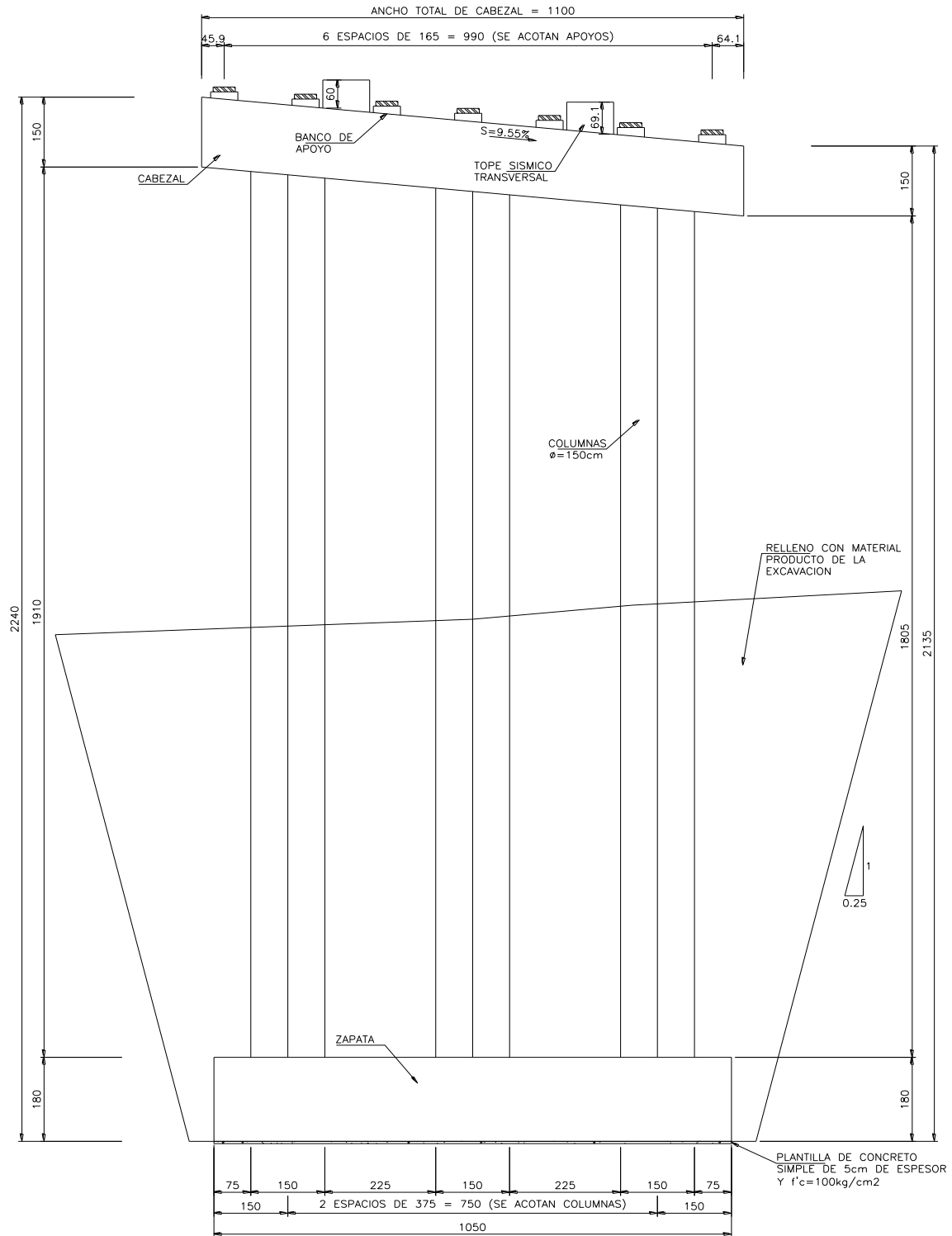


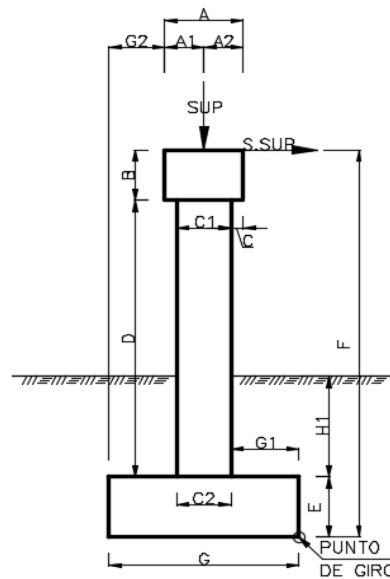
Figura 4.2.1 Elevación pila no.2

“Proyecto estructural de puente “sin nombre” cuerpo derecho, localizado en el km: 140+620, del arco norte de la ciudad de México, tramo entronque México –Querétaro – Atlacomulco, Estado de México”.

DATOS GENERALES DE LA ESTRUCTURA

| | | | |
|---|------------------|--|------------------------|
| Estado donde se localiza la estructura: | Estado de México | Coefficiente activo para empuje de tierras (Ka): | 0.29 |
| Zona sísmica: | B | Esfuerzo permisible del terreno: | 50 ton/m ² |
| Tipo de suelo: | I | Peso volumétrico del concreto: | 2.4 ton/m ³ |
| Aceleración del terreno: | 0.06 | Peso volumétrico del terraplén: | 1.8 ton/m ³ |
| Coefficiente sísmico: | 0.21 | | |
| Factor de importancia: | 1.5 | | |
| Ductilidad caballete: | 2.00 | | |
| Ductilidad neopreno: | 4.00 | | |

REVISIÓN DE ESTABILIDAD DE LA ZAPATA



GEOMETRÍA DE PILA

GEOMETRÍA DE SUBESTRUCTURA

| | | | |
|---|------------|------------|---------|
| Ancho de cabezal: | 11.00 m | A= | 2.00 m |
| Ancho de columna: | 1.50 m | A1= | 1.00 m |
| Numero de columnas: | 3.00 pzas. | A2= | 1.00 m |
| Largo de zapata: | 10.50 m | B= | 1.50 m |
| Coefficiente de fricción entre zapata y suelo μ : | 0.50 | C= | 0.25 m |
| Factor de ancho efectivo por geometría de columna 1.5 para circular y 2 para rectangular: | 1.50 | C1= | 1.50 m |
| | | C2= | 1.50 m |
| | | (C1+C2)/2= | 1.50 m |
| | | D= | 18.93 m |
| | | E= | 1.80 m |
| | | F= | 22.23 m |
| | | G= | 6.50 m |
| | | G1= | 2.50 m |
| | | G2= | 2.25 m |
| | | H1= | 9.25 m |

“Proyecto estructural de puente “sin nombre” cuerpo derecho, localizado en el km: 140+620, del arco norte de la ciudad de México, tramo entronque México –Querétaro – Atlacomulco, Estado de México”.

GEOMETRÍA DE SUPERESTRUCTURA

Longitud de claro: 26.60 m
 Ancho del puente: 12.16 m
 Numero de traveses: 7.00 pzas.
 Área de una trabe: 0.497 m²
 Ancho de calzada: 11.10 m
 Peso de guarnición: 1.24 ton/m
 Espesor de losa: 0.20 m

PESO DE SUPERESTRUCTURA (CARGA MUERTA)

Traveses: 222.3 ton
 Losa: 155.3 ton
 Carpeta: 77.9 ton
 Guarnición: 33.0 ton
 Diafragmas: 36.0 ton
 Total: 524.5 ton

DESCARGA POR CARGA VIVA

Se considera el camión T3-S2-R4

Descarga máxima para un carril de circulación= 47.1 ton

No de carriles de circulación= 2.0 (dato obtenido del apartado diseño de trabe AASHTO tipo IV)

Descarga:

Para 2 camiones= 47.1 x 2.0 x 1 = 94.2 ton

Factor de Impacto= 0.24 (dato obtenido del apartado diseño de trabe AASHTO tipo IV)

Descarga por carga viva mas impacto 116.6 ton

| FUERZAS VERTICALES | | | |
|---|---------------|----------------------|-----------------|
| CONCEPTO | FUERZA (ton) | BRAZO DE PALANCA (m) | MOMENTO (ton-m) |
| Peso de superestructura (Carga muerta): | 524.5 | 3.25 | 1704.7 |
| Peso cabezal: | 79.2 | 3.25 | 257.4 |
| Peso columnas: | 240.9 | 3.25 | 782.8 |
| Peso de zapata: | 294.8 | 3.25 | 958.2 |
| Relleno sobre talón frontal: | 393.4 | 1.13 | 442.5 |
| Relleno bajo cabezal: | 261.4 | 3.25 | 849.5 |
| Relleno detrás de cabezal: | 393.4 | 5.38 | 2114.3 |
| Descarga por carga viva: | 233.2 | 3.25 | 757.9 |
| TOTAL = | 2420.7 | | 7867.4 |

“Proyecto estructural de puente “sin nombre” cuerpo derecho, localizado en el km: 140+620, del arco norte de la ciudad de México, tramo entronque México –Querétaro – Atlacomulco, Estado de México”.

| FUERZAS HORIZONTALES | | | |
|-----------------------------|-------------------------|---------------------------------|----------------------------|
| CONCEPTO | FUERZA (ton) | BRAZO DE PALANCA (m) | MOMENTO (ton-m) |
| 1.- Fuerzas sísmicas: | | | |
| Superestructura: | 27.5 | 22.23 | 612.2 |
| Cabezal: | 2.4 | 21.48 | 51.0 |
| Columna: | 7.2 | 11.27 | 81.4 |
| TOTAL = | 37.1 | | 744.7 |

1.- Revisión Grupo I (CM+CV+i):

$$\text{Ubicación de la resultante respecto al punto de giro} = \frac{7867.4}{2420.7} = 3.3 \text{ m}$$

$$\text{Ubicación de la resultante respecto al centroide de la zapata} = 0.0\text{m} < J/6 = 1 \text{ m} \quad \text{Bien}$$

$$\text{Esfuerzo en el terreno} = \frac{2420.7}{68.3} = 35 \text{ ton/m}^2 < 50 \text{ ton/m}^2 \quad \text{Bien}$$

2.- Revisión Grupo VII (CM+S):

$$\text{Factor de seguridad al volteo} = \frac{7109.5}{744.7} = 9.5 > 2 \times 0.75 = 1.5 \quad \text{Bien}$$

$$\text{Factor de seguridad al deslizamiento} = \frac{1093.8}{37.1} = 29.5 > 1.5 \times 0.75 = 1.13 \quad \text{Bien}$$

$$\text{Ubicación de la resultante respecto al punto de giro} = \frac{6364.8}{2187.5} = 2.9 \text{ m}$$

$$\text{Ubicación de la resultante respecto al centroide de la zapata} = 0.34 \text{ m} < J/3 = 2.2 \text{ m} \quad \text{Bien}$$

$$\text{Esfuerzo en el terreno} = \frac{2187.5}{61.1} = 36 \text{ ton/m}^2 < 66.5 \text{ ton/m}^2 \quad \text{Bien}$$

“Proyecto estructural de puente “sin nombre” cuerpo derecho, localizado en el km: 140+620, del arco norte de la ciudad de México, tramo entronque México –Querétaro – Atlacomulco, Estado de México”.

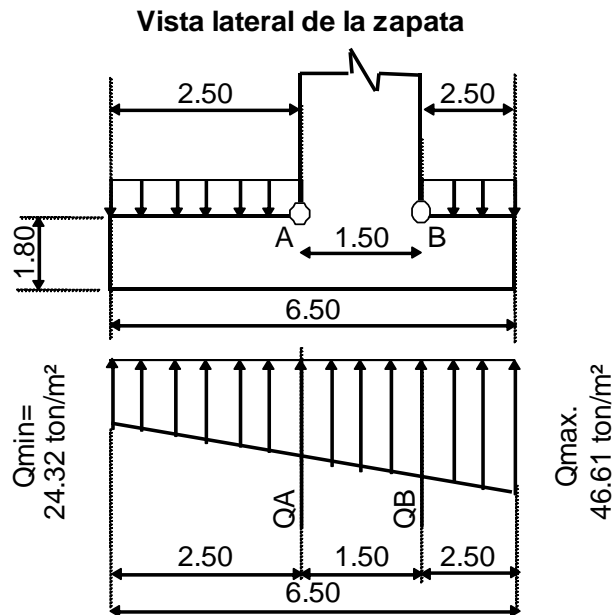
IV.2.2. DISEÑO DE ZAPATA

El factor de carga por sismo será de 1.0 según AASHTO solo cuando la aceleración del terreno es mayor a 0.09 y de 1.3 cuando sea menor de 0.09

Factor de Carga por Sismo = 1.3
 Factor de Carga por Popo = 1.3

Para el diseño de la zapata se usara el criterio (AASHTO SECTION 4.4.7.1.1.1.) Por lo que los esfuerzos en la base se calcula a continuación, siempre y cuando se se cumpla la siguiente condición:

$J/6 > e$ Donde J = (ancho de la zapata) = 6.5 m
 tenemos $J/6 = 1.1 \text{ m} > e = 0.34 \text{ m}$ Cumple



Q = Sumatoria de las fuerzas verticales = 2,420.7 ton
 Excentricidad (e) = 0.34 m
 W = Peso del Relleno = 36.78 ton/m²
 W = Peso de la zapata = 4.32 ton/m²
 Ancho de la zapata (J) = 6.50 m
 Largo de la zapata (Z) = 10.50 m

Calculo de esfuerzos:

$$Q_{max} = Q (1 + (6 * e / J)) / J * Z = 46.61 \text{ ton/m}^2$$

$$Q_{min.} = Q (1 - (6 * e / J)) / J * Z = 24.32 \text{ ton/m}^2$$

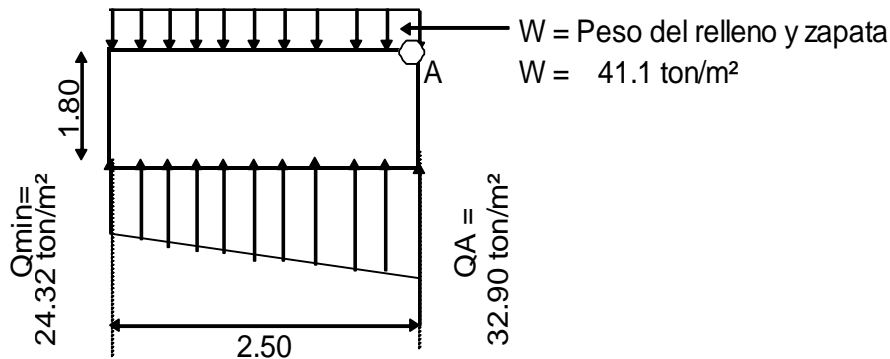
$$Q_A = \text{Presión en el terreno en el punto A} = X_A = 2.50 \text{ m} = 32.90 \text{ ton/m}^2$$

$$Q_B = \text{Presión en el terreno en el punto B} = X_B = 4.00 \text{ m} = 38.04 \text{ ton/m}^2$$

“Proyecto estructural de puente “sin nombre” cuerpo derecho, localizado en el km: 140+620, del arco norte de la ciudad de México, tramo entronque México –Querétaro – Atlacomulco, Estado de México”.

1) DISEÑO DE LA ZAPATA EN SU PARTE TRASERA

Momento con respecto al punto A



$$M_u = 1.3 (84.9 \quad -128.4) = -56.54 \text{ ton-m}$$

Por lo tanto el acero principal ira en la parte superior de la zapata

Se proponen Vars del No. 8

En paquetes de = 1.0

Separación de = 20 cm

Área de las barras = 5.07 cm²

Área de acero (As) = 25.35 cm²

Peralte total = 180 cm

Peralte efectivo (d) = 170 cm

Concreto (f'c) = 250 kg/cm²

Acero (fy) = 4,200 kg/cm²

Recubrimiento = 10 cm

b = 100 cm

a = 5

$$M_R = \Phi \left[A_s \cdot f_y \left(d - \frac{a}{2} \right) \right] \text{ donde; } a = \frac{A_s \cdot f_y}{0.85 \cdot f'_c \cdot b}$$

Por lo tanto $M_R = 160.5 \text{ ton-m} > M_u = 56.5 \text{ ton-m}$ Bien

Revisión a cortante

$$V_u = 1.3 (102.7 \quad -71.5) = 40.59 \text{ ton}$$

$$V_r = \phi V_c$$

Donde: $\phi = 0.85$

$$V_c = 0.53 (\text{Raíz } f'_c) b d = 142460.61 \text{ kg}$$

b = Ancho en cm = 100 cm

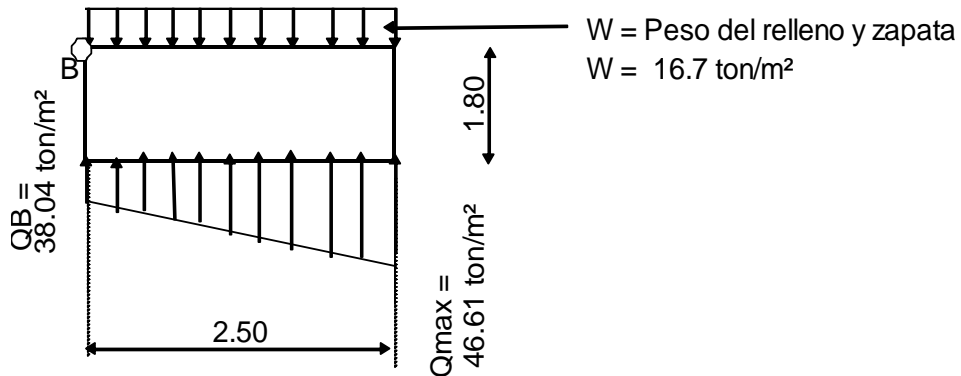
d = Peralte efectivo cm = 170 cm

$V_r = 0.9 \times 142.5 \text{ ton} = 121.1 \text{ ton} > V_u = 40.6 \text{ ton}$ Bien

“Proyecto estructural de puente “sin nombre” cuerpo derecho, localizado en el km: 140+620, del arco norte de la ciudad de México, tramo entronque México –Querétaro – Atlacomulco, Estado de México”.

2) DISEÑO DE LA ZAPATA EN SU PARTE FRONTAL.

Momento con respecto al punto B



$$M_u = 1.3 (52.0 - 136.74) = -110.12 \text{ ton-m}$$

Por lo tanto el acero principal ira en la parte inferior de la zapata

Se proponen Vars del No. 8

En paquetes de = 1.0

Separación de = 20 cm

Área de las barras = 5.07 cm²

Área de acero (A_s) = 25.35 cm²

Peralte total = 180 cm

Peralte efectivo (d) = 170 cm

Concreto (f'_c) = 250 kg/cm²

Acero (f_y) = 4,200 kg/cm²

Recubrimiento = 10 cm

$b = 100 \text{ cm}$

$a = 5$

$$M_R = \Phi \left[A_s \cdot f_y \left(d - \frac{a}{2} \right) \right] \text{ donde; } a = \frac{A_s \cdot f_y}{0.85 \cdot f'_c \cdot b}$$

Por lo tanto $M_R = 160.5 \text{ ton-m} > M_u = 110.1 \text{ ton-m}$ Bien

Revisión a cortante.

$$V_u = 1.3 (106 - 41.6) = 83.45 \text{ ton}$$

$$V_r = \phi V_c$$

Donde: $\phi = 0.85$

$$V_c = 0.53 (\text{Raíz } f'_c) b d = 142460.61 \text{ kg}$$

$b = \text{Ancho en cm} = 100 \text{ cm}$

$d = \text{Peralte efectivo cm} = 170 \text{ cm}$

$V_r = 0.9 \times 142.5 \text{ ton} = 121.1 \text{ ton} > V_u = 83.5 \text{ ton}$ Bien

IV.2.3. DISEÑO DE COLUMNAS

Para el diseño de las columnas y cabezal se elaboro un modelo matemático considerando las descargas por trabe de carga muerta y carga viva calculadas en el apartado:

IV.1.3. Diseño de columnas.

MODELO DE ANALISIS

Considerando las cargas descritas anteriormente y la geometría de la subestructura, se elabora el modelo de análisis en el programa Midas Civil 2011 (v2.1)

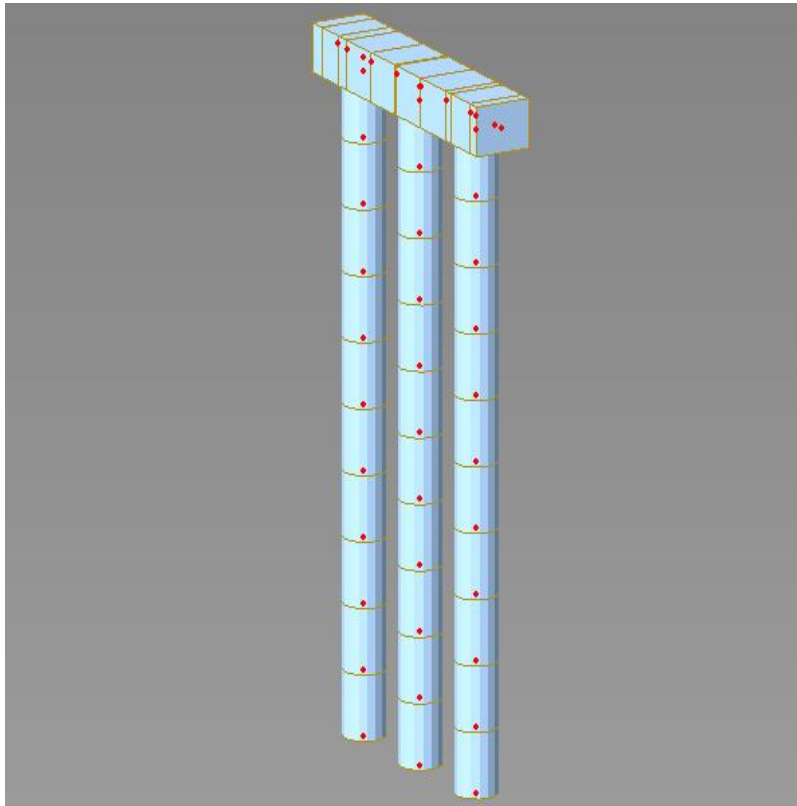


Figura 4.2.3 Vista extruida del modelo pila No.2.

“Proyecto estructural de puente “sin nombre” cuerpo derecho, localizado en el km: 140+620, del arco norte de la ciudad de México, tramo entronque México –Querétaro – Atlacomulco, Estado de México”.

Para el diseño se consideraron los siguientes factores de comportamiento sísmico:

Q= 4 Para el cálculo de cargas transmitidas por la superestructura a la subestructura

Q= 2 Para momentos longitudinales

Q= 3 Para momentos transversales

ELEMENTOS MECANICOS OBTENIDOS DEL MODELO PARA LAS COLUMNAS

| CONDICION | N(ton) | M _{long} (ton-m) | M _{tran} (ton-m) | V _{long} (V) | V _{tran} (ton) |
|--------------------|--------|---------------------------|---------------------------|-----------------------|-------------------------|
| Carga Muerta | 311.1 | 0 | 8.3 | 0 | 0.6 |
| Carga Viva | 149.6 | 0 | 5.9 | 0 | 0.2 |
| Sismo Longitudinal | 25.6 | 157.45 | 37.2 | 17.4 | 7.7 |
| Sismo Transversal | 81.4 | 31.5 | 82.4 | 5.2 | 25.3 |

1.- Revisión Grupo I :

1.3 (Carga muerta+(1.67 Carga viva))

| | |
|--------------------------------|----------------------------------|
| N= 729.2 ton | N= 1,607.6 kips |
| M _{LONG} = 0.0 ton-m | M _{LONG} = 0.0 kip-ft |
| M _{TRAN} = 23.6 ton-m | M _{TRAN} = 170.7 kip-ft |
| V _{LONG} = 0.0 ton | V _{LONG} = 0.0 kips |
| V _{TRAN} = 1.2 ton | V _{TRAN} = 2.7 kips |

2.- Revisión Grupo VII:

1.3 (Carga muerta + Sismo longitudinal)

| | |
|---------------------------------|------------------------------------|
| N= 437.7 ton | N= 965.0 kips |
| M _{LONG} = 204.7 ton-m | M _{LONG} = 1,480.5 kip-ft |
| M _{TRAN} = 59.2 ton-m | M _{TRAN} = 427.8 kip-ft |
| V _{LONG} = 22.6 ton | V _{LONG} = 49.9 kips |
| V _{TRAN} = 10.8 ton | V _{TRAN} = 23.8 kips |

1.3 (Carga muerta+Empuje de Tierras + Sismo transversal)

| | |
|---------------------------------|----------------------------------|
| N= 510.3 ton | N= 1,124.9 kips |
| M _{LONG} = 41.0 ton-m | M _{LONG} = 296.2 kip-ft |
| M _{TRAN} = 117.9 ton-m | M _{TRAN} = 852.8 kip-ft |
| V _{LONG} = 6.8 ton | V _{LONG} = 14.9 kips |
| V _{TRAN} = 33.7 ton | V _{TRAN} = 74.2 kips |

Se hace la conversión de unidades para ingresar los valores de elementos mecánicos al programa pcaColumn-version3.63 para el diseño de las **columnas a flexo compresión**

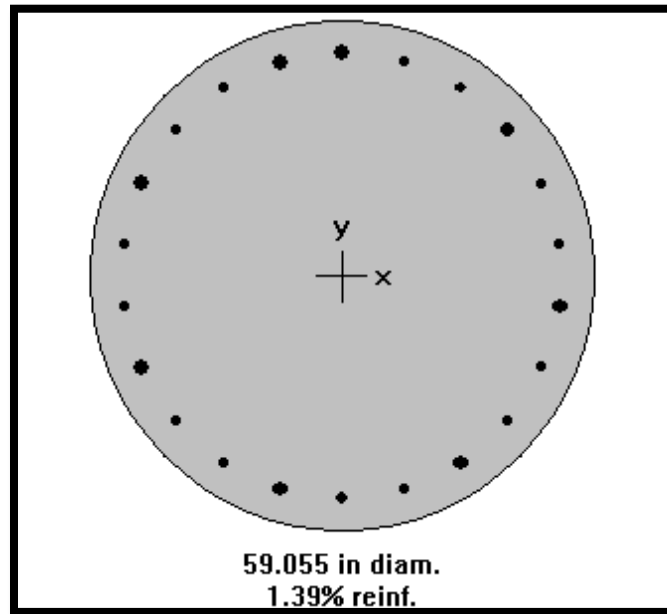


Figura 4.2.3.1 Sección de columna para diseño pila No.2

“Proyecto estructural de puente “sin nombre” cuerpo derecho, localizado en el km: 140+620, del arco norte de la ciudad de México, tramo entronque México –Querétaro – Atlacomulco, Estado de México”.

10/22/17 pcaColumn V3.63 - PORTLAND CEMENT ASSOCIATION -
 19:21:30 Licensed to: Licensee name not yet specified.
 PILA NO.2

Page 1
 COLUMNA

```

0000000 00000 00000 00000 00000 00
00 00 00 00 00 00 00 00 00 00 00
00 00 00 00 00 00 00 00 00 00 00
00 00 00 00 00 00 00 00 00 00 00
00 00 00 0000000 00 00 00 00
0000000 00 00 00 00 00 00 00 00 00
00 00 00 00 00 00 00 00 00 00 00
00 00000 00 00 00000 00000 00000 (TM)
  
```

=====
 Computer program for the Strength Design of Reinforced Concrete Sections
 =====

Licensee stated above acknowledges that Portland Cement Association (PCA) is not and cannot be responsible for either the accuracy or adequacy of the material supplied as input for processing by the pcaColumn(tm) computer program. Furthermore, PCA neither makes any warranty expressed nor implied with respect to the correctness of the output prepared by the pcaColumn(tm) program. Although PCA has endeavored to produce pcaColumn(tm) error free, the program is not and can't be certified infallible. The final and only responsibility for analysis, design and engineering documents is the licensees. Accordingly, PCA disclaims all responsibility in contract, negligence or other tort for any analysis, design or engineering documents prepared in connection with the use of the pcaColumn(tm) program.

10/22/17 pcaColumn V3.63 - PORTLAND CEMENT ASSOCIATION -
 19:21:30 Licensed to: Licensee name not yet specified.
 PILA NO.2

Page 2
 COLUMNA

General Information:
 =====

```

File Name: C:\Users\Admin\Documents\140+620\archivo fuente\PUENTE 140+620
MEMORIAS\COLUMNA PILA NO.2.col
Project: PUENTE SIN NOMBRE 140+620
Column:  PILA                      Engineer: GFR
Code:    ACI 318-02                 Units: English

Run Option: Investigation           Slenderness: Not considered
Run Axis:   Biaxial                 Column Type: Structural
  
```

Material Properties:
 =====

```

f'c = 3.56 ksi          fy = 60 ksi
Ec  = 3400.95 ksi       Es = 29000 ksi
Ultimate strain = 0.003 in/in
Beta1 = 0.85
  
```

“Proyecto estructural de puente “sin nombre” cuerpo derecho, localizado en el km: 140+620, del arco norte de la ciudad de México, tramo entronque México –Querétaro – Atlacomulco, Estado de México”.

Section:

=====

Circular: Diameter = 59.055 in

Gross section area, Ag = 2739.07 in²

Ix = 597031 in⁴

Xo = 0 in

Iy = 597031 in⁴

Yo = 0 in

Reinforcement:

=====

Rebar Database: ASTM A615

| Size | Diam (in) | Area (in ²) | Size | Diam (in) | Area (in ²) | Size | Diam (in) | Area (in ²) |
|------|-----------|-------------------------|------|-----------|-------------------------|------|-----------|-------------------------|
| # 3 | 0.38 | 0.11 | # 4 | 0.50 | 0.20 | # 5 | 0.63 | 0.31 |
| # 6 | 0.75 | 0.44 | # 7 | 0.88 | 0.60 | # 8 | 1.00 | 0.79 |
| # 9 | 1.13 | 1.00 | # 10 | 1.27 | 1.27 | # 11 | 1.41 | 1.56 |
| # 14 | 1.69 | 2.25 | # 18 | 2.26 | 4.00 | | | |

Confinement: Tied; #4 ties with #10 bars, #4 with larger bars.

phi(a) = 0.8, phi(b) = 0.9, phi(c) = 0.65

Pattern: Irregular

Total steel area, As = 38.10 in² at 1.39%

| Area in ² | X (in) | Y (in) | Area in ² | X (in) | Y (in) | Area in ² | X (in) | Y (in) |
|----------------------|--------|--------|----------------------|--------|--------|----------------------|--------|--------|
| 2.54 | 0.0 | 25.7 | 1.27 | 7.2 | 24.7 | 1.27 | 13.9 | 21.6 |
| 2.54 | 19.4 | 16.8 | 1.27 | 23.4 | 10.7 | 1.27 | 25.4 | 3.7 |
| 2.54 | 25.4 | -3.7 | 1.27 | 23.4 | -10.7 | 1.27 | 19.4 | -16.8 |
| 2.54 | 13.9 | -21.6 | 1.27 | 7.2 | -24.7 | 1.27 | 0.0 | -25.7 |
| 2.54 | -7.2 | -24.7 | 1.27 | -13.9 | -21.6 | 1.27 | -19.4 | -16.8 |
| 2.54 | -23.4 | -10.7 | 1.27 | -25.4 | -3.7 | 1.27 | -25.4 | 3.7 |
| 2.54 | -23.4 | 10.7 | 1.27 | -19.4 | 16.8 | 1.27 | -13.9 | 21.6 |
| 2.54 | -7.2 | 24.7 | | | | | | |

Factored Loads and Moments with Corresponding Capacities: (see user's manual for notation)

=====

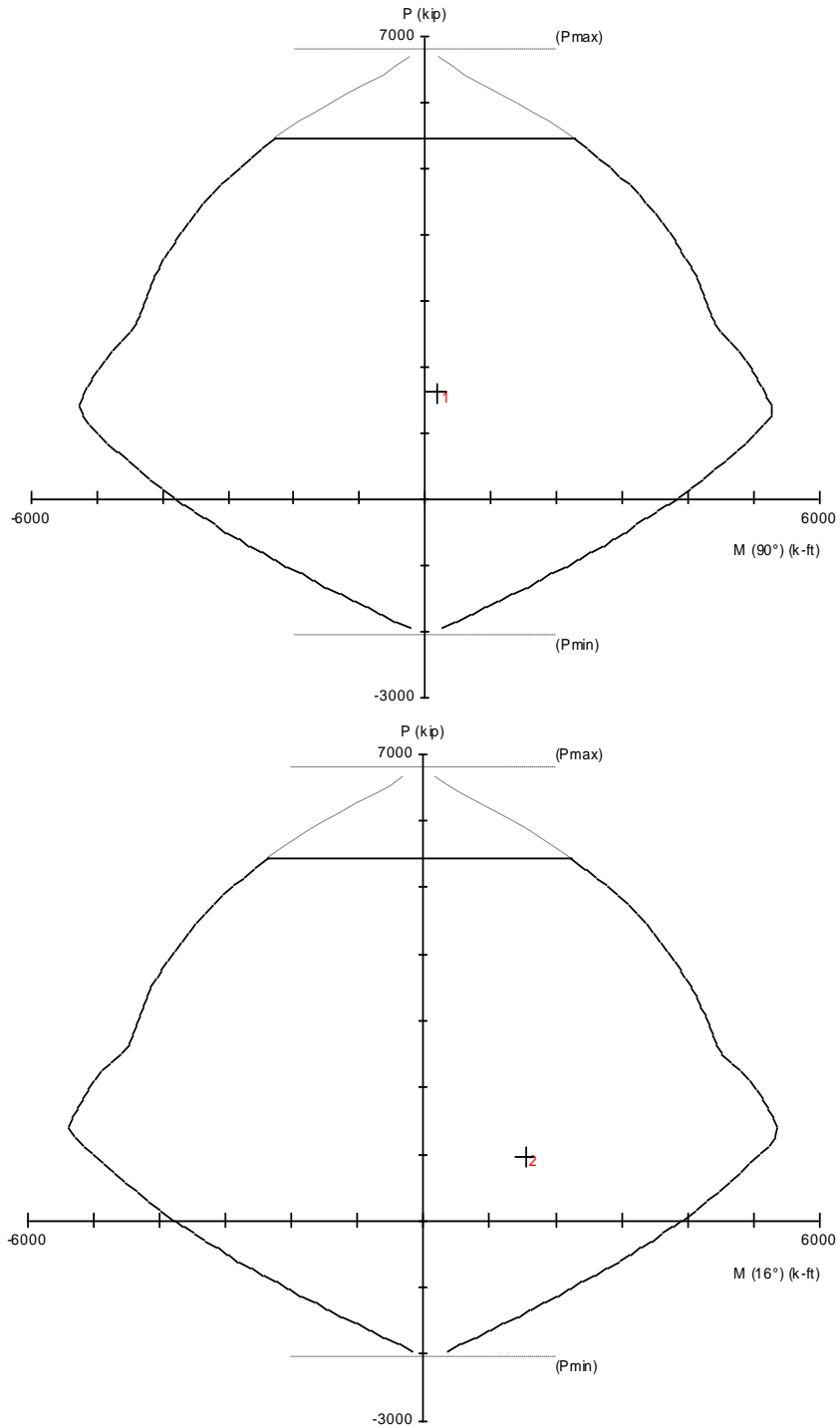
| No. | Pu kip | Mux k-ft | Muy k-ft | fMnx k-ft | fMny k-ft | fMn/Mu |
|-----|-----------|-------------|-------------|--------------|--------------|--------|
| 1 | 1607.6 | 0.0 | 170.7 | -0.0 | 5160.0 | 30.229 |
| 2 | 965.0 | 1480.5 | 427.8 | 4871.4 | 1407.6 | 3.290 |
| 3 | 1124.9 | 296.2 | 852.8 | 1699.6 | 4893.4 | 5.738 |

*** Program completed as requested! ***

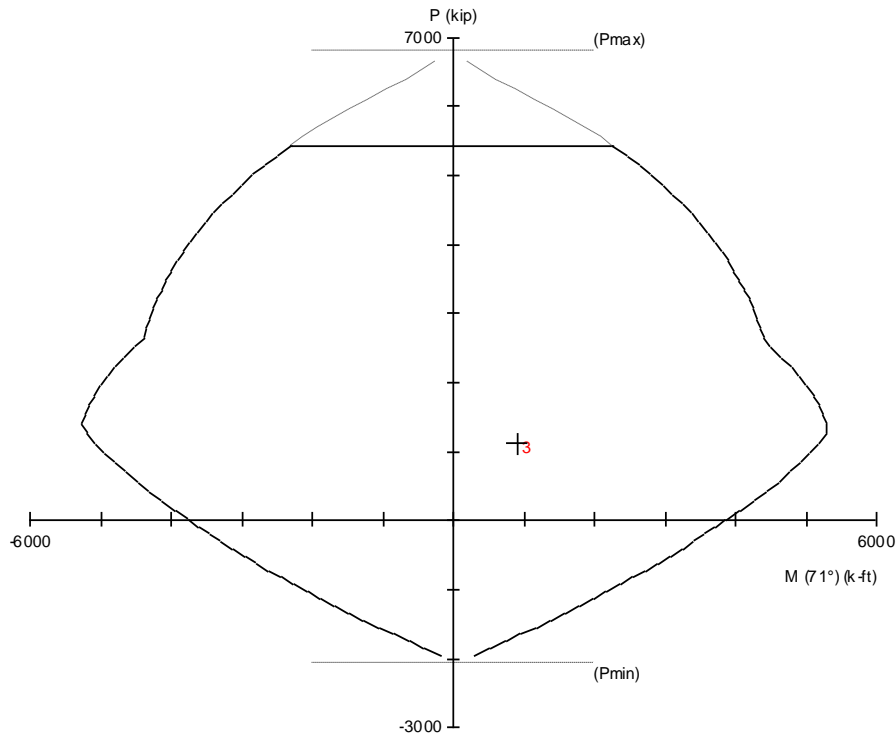
“Proyecto estructural de puente “sin nombre” cuerpo derecho, localizado en el km: 140+620, del arco norte de la ciudad de México, tramo entronque México –Querétaro – Atlacomulco, Estado de México”.

Por lo tanto se opta por un refuerzo de 22 varillas del #10 y 8 varillas del #10 con un recubrimiento de 10 cm, resultando una cuantía de 1.39 %

A continuación se muestra el diagrama de interacción que presenta que las combinaciones de carga están dentro de la superficie de fluencia:



“Proyecto estructural de puente “sin nombre” cuerpo derecho, localizado en el km: 140+620, del arco norte de la ciudad de México, tramo entronque México –Querétaro – Atlacomulco, Estado de México”.



Diseño a Cortante de columnas

$$V_u = 33,670 \text{ kg}$$

Donde:

$$\phi = 0.850$$

$$f'_c = 250 \text{ kg/cm}^2$$

$$f_y = 4,200 \text{ kg/cm}^2$$

$$\phi V_c = 0.53 (\text{Raíz } f'_c) b d = 109,651 \text{ kg}$$

Satisface la sección por cortante, se recomienda colocar acero por cortante

$$V_c = 0.53 (\text{Raíz } f'_c) b d = 175,981 \text{ kg}$$

$$V_s = (V_u / \phi) - V_c = -136,369 \text{ kg}$$

$$b = \text{Ancho en cm} = 150 \text{ cm}$$

$$H = \text{Peralte total en cm} = 150 \text{ cm}$$

$$r = \text{Recubrimiento en cm} = 10 \text{ cm}$$

$$d = \text{Peralte efectivo en cm} = 140 \text{ cm}$$

$$= \text{Número de ramas} = 2$$

$$= \text{Se proponen Vars del No.} = 4$$

$$A_v = \text{Área de acero en cm}^2 = 2.54 \text{ cm}^2$$

$$\text{Separación de estribos } S = (A_v * f_y * d) / (V_s) \text{ en cm} = -11 \text{ cm}$$

Se proponen estribos del 4 c en 2 Ramas

Separación de estribos: @ 10 cm En las zonas de conexión de la columna con la zapata y el cabezal y en el resto la separación ser a @30cm

“Proyecto estructural de puente “sin nombre” cuerpo derecho, localizado en el km: 140+620, del arco norte de la ciudad de México, tramo entronque México –Querétaro – Atlacomulco, Estado de México”.

IV.2.4. DISEÑO DE CABEZAL

ELEMENTOS MECANICOS OBTENIDOS DEL MODELO PARA EL CABEZAL

| CONDICIÓN | V(ton) | M(+) (ton-m) | M(-) (ton-m) |
|--------------------|--------|--------------|--------------|
| Carga Muerta | 129.8 | 20.3 | 112.1 |
| Carga Viva | 80.2 | 10.9 | 77 |
| Sismo Longitudinal | 24.3 | 58.2 | 0.0 |
| Sismo Transversal | 79.8 | 193.9 | 0.0 |

1.- Revisión Grupo I :

1.3 (Carga muerta+(1.67 Carga viva))

Vu= 342.9 ton
 Mu(+)= 50.1 ton-m
 Mu(-)= 312.9 ton-m

2.- Revisión Grupo VII:

1.3 (Carga muerta+ Sismo longitudinal)

Vu= 200.3 ton
 Mu(+)= 102.1 ton-m
 Mu(-)= 145.7 ton-m

1.3 (Carga muerta+ Sismo transversal)

Vu= 272.5 ton
 Mu(+)= 278.5 ton-m
 Mu(-)= 145.7 ton-m

Diseño a momento negativo

Mu = 312.90 ton-m

Se proponen Vars del No. 10 y No. 10

En paquetes de = 1.0

Separación de = 20 cm

Área de las barras = 15.84 cm²

Área de acero (As) = 158.40 cm²

Peralte total = 150 cm

Peralte efectivo (d) = 140 cm

Concreto (f'c) = 250 kg/cm²

Acero (fy) = 4,200 kg/cm²

Recubrimiento = 10 cm

b = 200 cm

a = 16

$$M_R = \Phi \left[A_s * f_y \left(d - \frac{a}{2} \right) \right] \text{ Donde; } a = \frac{A_s * f_y}{0.85 * f'c * b}$$

Por lo tanto $M_R = 791.4 \text{ ton-m} > Mu = 312.9 \text{ ton-m}$ Bien

Diseño a momento positivo

$$M_u = 278.46 \text{ ton-m}$$

Se proponen Vars del No. 10

En paquetes de = 1.0

Separación de = 20 cm

Área de las barras = 7.92 cm²

Área de acero (As) = 79.20 cm²

Peralte total = 150 cm

Peralte efectivo (d) = 140 cm

Concreto (f'c) = 250 kg/cm²

Acero (fy) = 4,200 kg/cm²

Recubrimiento = 10 cm

b = 200 cm

a = 7.8

$$M_R = \Phi \left[A_s * f_y \left(d - \frac{a}{2} \right) \right] \text{ Donde; } a = \frac{A_s * f_y}{0.85 * f'c * b}$$

Por lo tanto $M_R = 407.4 \text{ ton-m} > M_u = 278.5 \text{ ton-m}$ Bien

Diseño a cortante del cabezal

$$V_r = \Phi(V_c + V_s) \quad V_u = 342,854 \text{ kg}$$

Donde:

$$\phi = 0.850$$

$$f'c = 250 \text{ kg/cm}^2$$

$$f_y = 4,200 \text{ kg/cm}^2$$

$$\phi V_c = 0.53 (\text{Raíz } f'c) b d = 199,445 \text{ kg}$$

No resiste por sección propia, requiere refuerzo transversal

$$V_c = 0.53 (\text{Raíz } f'c) b d = 234,641 \text{ kg}$$

$$V_s = (V_u / \phi) - V_c = 168,717 \text{ kg}$$

$$b = \text{Ancho en cm} = 200 \text{ cm}$$

$$H = \text{Peralte total en cm} = 150 \text{ cm}$$

$$r = \text{Recubrimiento en cm} = 10 \text{ cm}$$

$$d = \text{Peralte efectivo en cm} = 140 \text{ cm.}$$

$$= \text{Número de ramas.} = 4$$

$$= \text{Se proponen Vars del No.} = 4$$

$$A_v = \text{Área de acero en cm}^2. = 5.08 \text{ cm}^2$$

$$\text{Separación de estribos } S = (A_v * f_y * d) / (V_s) \text{ en cm} = 20 \text{ cm}$$

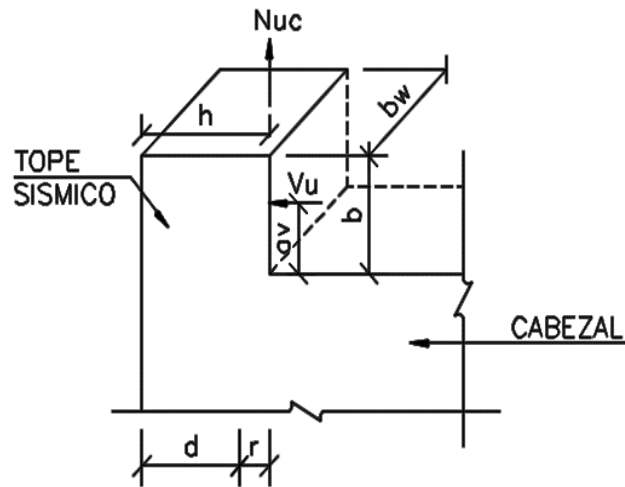
Se proponen estribos del 4 c en 4 Ramas.

Separación de estribos: @ 20 cm

“Proyecto estructural de puente “sin nombre” cuerpo derecho, localizado en el km: 140+620, del arco norte de la ciudad de México, tramo entronque México –Querétaro – Atlacomulco, Estado de México”.

IV.2.5 DISEÑO DE TOPE SÍSMICO EN PILAS

Diseño del tope sísmico transversal como ménsula de acuerdo a AASHTO section 8.16.6.8 .



VISTA TOPE SISMICO

GEOMETRÍA:

| | |
|------|-------|
| h= | 95 cm |
| d= | 90 cm |
| r= | 5 cm |
| b= | 51 cm |
| av= | 37 cm |
| bw = | 51 cm |

1) Criterios de revisión como Ménsula.

- 1.- $av/d < 1$ = $av / d = 37.0 / 90 = 0.41 < 1$ Cumple como ménsula
 - 2.- $h > 0.5d$ = $h = 95 > 0.5 \times 90 = 45$ Cumple como ménsula
 - 3.- Que la fuerza N_u no sea mayor que la fuerza V_u . Cumple como ménsula
- Número de topes = 2

Calculo de cortante de diseño:

$$V_u = \frac{\text{Peso de la súper} \times C. \text{ sísmico} \times F.C.}{\text{Ductilidad}} = \frac{135 \times 0.21 \times 1.3}{1}$$

$$V_u = 36.9 \text{ ton}$$

$$N_{uc} = 0.2 \times V_u = 0.20 \times 36.94 \text{ ton} = 7.4 \text{ ton}$$

2) Acero por fricción (Avf).

$$A_{vf} = (V_u / (\phi * f_y * \mu)) =$$

$$(36.9 / (0.9 \times 4.2 \times 1.4)) = 7.4 \text{ cm}^2$$

3)Acero Para resistir Nuc (An).

$$A_n = N_{uc} / (\phi * f_y) = 7,387 \text{ kg} / (0.9 \times 4200 \text{ kg/cm}^2) = 2.1 \text{ cm}^2$$

si $V_u \leq \phi V_r$, Por lo tanto $V_n = V_u / \phi$ Por lo tanto $V_n = 36.9 / 0.9 = 43.5 \text{ ton}$

Donde: $\phi = 0.9$
 $V_n = A_v * f_y * \mu = 43.5 \text{ ton}$
 $\mu = 1.4$
 $f_c = 250 \text{ kg/cm}^2 = 3,556 \text{ lb/in}^2$
 $f_y = 4200 \text{ kg/cm}^2$

V_n no debe ser mayor a los dos siguientes valores: $V_n = 95,802 \text{ lb}$

1.- $0.2 * f_c * b_w * d =$
 $0.2 \times 3,556 \text{ lb/in}^2 \times 20.1 \text{ in} \times 35.4 \text{ in} = 505,963 \text{ lb}$
 Bien

2.- $800 * b_w * d =$
 $800 \times 20.1 \text{ in} \times 35.4 \text{ in} = 569,161 \text{ lb}$
 Bien

Por lo tanto el V_n será igual a $= 43.5 \text{ ton}$

4)Acero para resistir el momento (Af).

$$M_u = ((V_u * a_v) + (N_{uc} * (h - d))) = ((36.9 \times 0.4) + (7.4 \times (0.95 - 0.90)))$$

$M_u = 14.0 \text{ ton-m}$

$$M_R = \phi \left(A_s * f_y \left(d - \frac{a}{2} \right) \right)$$

Se proponen Var No. 6

En paquetes de = 1.0

Separación de = 15 cm

Área de las barras = 2.85 cm²

Área de acero (Af) = 10 cm²

Peralte total = 95 cm

Peralte efectivo (d) = 90 cm

Concreto (f'c) = 250 kg/cm²

Acero (fy) = 4200 kg/cm²

Recubrimiento = 5 cm

$b_w = 51 \text{ cm}$

$a = 3.8 \text{ cm}$

donde; $a = \frac{A_s * f_y}{0.85 * f'_c * b}$

Por lo tanto $M_R = 32.3 \text{ ton-m} > M_u = 14.0 \text{ ton-m}$

Bien

El área principal A_s debe ser igual al mayor de los valores siguientes:

$$1.- (A_f + A_n) = 10 \text{ cm}^2 + 2.1 \text{ cm}^2 = 11.8 \text{ cm}^2$$

$$2.- ((2 \cdot A_v f) / 3) + A_n = ((2 \times 7.4) / 3) + 2.1 = 7.0 \text{ cm}^2$$

Por lo tanto se adopta como $A_s = 11.8 \text{ cm}^2$

En ambos casos el área restante A_h debe ser igual a:

$$A_h = 0.5 \cdot (A_s - A_n) = 0.5 \cdot (11.8 - 2.1) = 4.8 \text{ cm}^2$$

La relación de refuerzo $\rho = A_s / b \cdot d$ No debe ser menor de 0.04 (f_c / f_y)

$$\rho = \frac{11.8}{51 \times 90} = 0.0026$$

$$0.04 (f_c / f_y) = 0.04 (250 / 4200) = 0.0024 \quad \text{Bien}$$

Barra para sostener los estribos.
8c @ 12cm

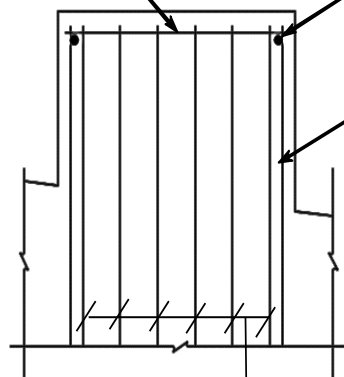
$$\frac{2}{3} \cdot d$$

60

Vars No. 8
Barra de anclaje (soldada)

$A_s = 11.8 \text{ cm}^2$
Vars No. 8
en paquetes de 1
@ 12 cm = 21.5cm²

Bien



A_h (estribos cerrados)

$$A_h = 4.8 \text{ cm}^2$$

Vars No. 4 @ 15 cm = 30.5cm
Número de ramas = 6

Bien

“Proyecto estructural de puente “sin nombre” cuerpo derecho, localizado en el km: 140+620, del arco norte de la ciudad de México, tramo entronque México –Querétaro – Atlacomulco, Estado de México”.

CAPÍTULO V

CONCLUSIONES Y RECOMENDACIONES.

Como se observa en el presente trabajo para poder realizar la etapa del proyecto del análisis y diseño estructural del puente, es necesario la elaboración de estudios preliminares que involucran diversas áreas de conocimiento de la ingeniería civil, dichos estudios resultan de gran importancia ya que son la base para la elaboración de las propuestas de estructuración del puente y de estos depende que el proyecto estructural se realice de forma correcta. Además de los estudios preliminares, para la elección definitiva del puente se deberá considerar el aspecto económico de la construcción del puente.

De las traveses presforzadas:

Para el caso en estudio del puente “sin nombre” se optó por utilizar una superestructura a base de traveses presforzadas, teniendo con este tipo de solución ventajas tales como: el uso del concreto presforzado permite librar grandes claros, debido al uso de concreto y acero de presfuerzo de alta resistencia. Al hacer uso del sistema de presfuerzo es necesario que la travesa sea un elemento prefabricado lo que trae consigo un buen control de calidad de los materiales utilizados que podrán garantizar que la travesa tenga el comportamiento estructural al cual fue diseñado, además con esto se reduce considerablemente los tiempos de ejecución de obra.

En el análisis y diseño de la travesa se consideró la carga viva del camión T3-S2-R4 como la que produce los elementos mecánicos más desfavorables. Aunque la Normativa N-PRY-CAR-6-01-003/01 indica el uso de la carga viva IMT 66.5, haciendo uso de esta carga viva los elementos mecánicos resultan más desfavorables, pero para este caso en particular el presfuerzo propuesto continúa cumpliendo con los esfuerzos permisibles. Por lo que se recomienda que en la totalidad de proyectos de puentes se haga uso de los modelos de carga viva IMT, ya que con esto los diseños de las traveses tendrán una seguridad estructural mayor.

“Proyecto estructural de puente “sin nombre” cuerpo derecho, localizado en el km: 140+620, del arco norte de la ciudad de México, tramo entronque México –Querétaro – Atlacomulco, Estado de México”.

De la semi-continuidad del puente:

Como ya se mencionó en el desarrollo de este trabajo la estructuración de la superestructura será de tipo semi-continuo, la solución de puente semi-continuo es utilizada con el propósito de aumentar la vida útil del puente eliminando las juntas de calzada entre tableros, con esto se logra disminuir los trabajos de mantenimiento de estas del puente, evitando con esto la necesidad de interrumpir el tráfico y que además el usuario ya no percibe esta irregularidad en la superficie de rodamiento. Las dimensiones y el método de análisis utilizado presentan una solución, estando claro que en la ingeniería civil no se pueden considerar soluciones únicas.

En cuanto al desarrollo del análisis y diseño estructural del puente, los resultados obtenidos son satisfactorios, es decir, cumplen con los requerimientos de seguridad correspondientes de acuerdo a la normatividad aplicable para cada elemento estructural.

Cabe mencionar la existencia en la zona de accesos del puente de un muro mecánicamente estabilizado que como lo indica la Guía de procedimientos y lineamientos para la construcción de muros mecánicamente estabilizados de la SCT, estos deben de diseñarse considerando el efecto del empuje de tierras. Empujes considerados en el análisis del caballete con el propósito de no depender del buen comportamiento estructural del muro mecánicamente estabilizado.

Además se recomienda un posible cambio en el refuerzo de las columnas de los caballetes de 22 paquetes de 2 varillas del #10 con un recubrimiento de 10 cm y 22 varillas del #10 con un recubrimiento de 25cm, a un refuerzo de 22 paquetes de 3 varillas del #10 con un recubrimiento de 10 cm que cumple con el diseño, permitiendo dejar para resistir el cortante un estribo, logrando con esto una disminución en el costo y facilidad en el aspecto constructivo del refuerzo de la columna.

“Proyecto estructural de puente “sin nombre” cuerpo derecho, localizado en el km: 140+620, del arco norte de la ciudad de México, tramo entronque México –Querétaro – Atlacomulco, Estado de México”.

REFERENCIAS

1. Jaaicsa, (2014), *Estudio Topohidraulico e Hidrológico del Proyecto Ejecutivo: Puente “Sin Nombre” Km: 140+620*, México.
2. Jaaicsa, (2014), *Estudio de Cimentación del Proyecto Ejecutivo: Puente “Sin Nombre” Km: 140+620*, México.
3. Nilson, A., (1990), *Diseño de estructuras de concreto presforzado*, (1ª edición), México: Limusa.
4. Orozco, F., (2005), *Temas fundamentales del concreto presforzado*, (1ª edición), México: Instituto Mexicano del Concreto y del Cemento.

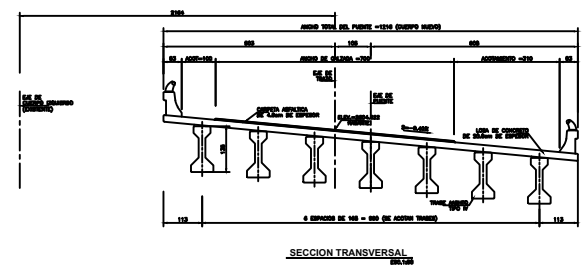
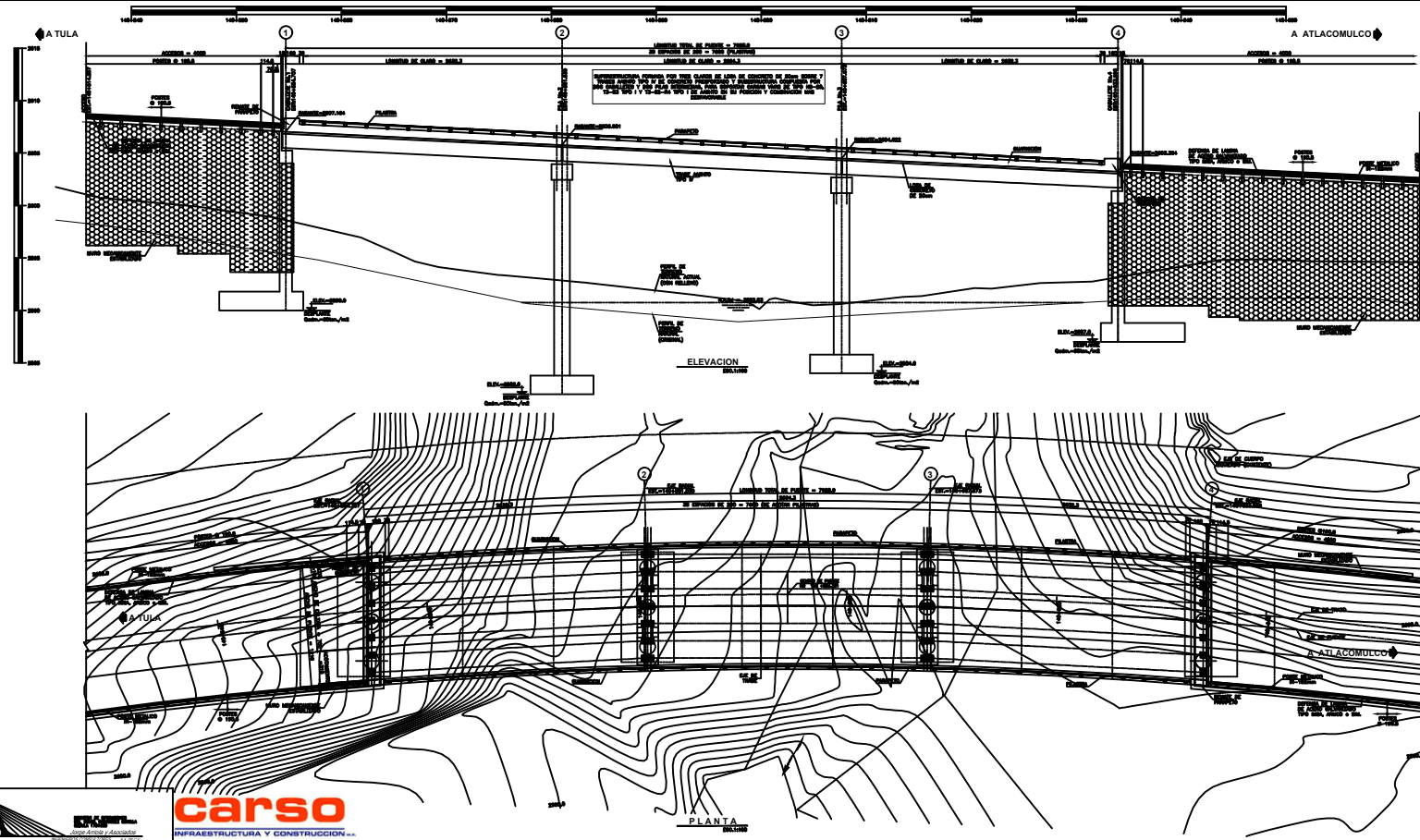
BIBLIOGRAFIA

- Ivan, C., *Construcción de puentes en tabasco*. México: SCT.
- Juárez E., et all, (2004), *Mecánica de suelos: Tomo II*, México: Limusa.
- LIN, T.Y., (1984), *Diseño de estructuras de concreto presforzado*, México: Continental
- Nawy E., (1988), *Concreto reforzado Enfoque básico*, México: Prentice Hall.
- Nilson, A., (1990), *Diseño de estructuras de concreto presforzado*, (1ª edición), México: Limusa.
- Orozco, F., (2005), *Temas fundamentales del concreto presforzado*, (1ª edición), México: Instituto Mexicano del Concreto y del Cemento.
- Samartin, A., (1983), *Cálculo de estructuras de puentes de hormigón*, España: Rueda.
- SCT., (1984), *Normas técnicas para el proyecto de puentes carreteros: Tomo I*. México.

“Proyecto estructural de puente “sin nombre” cuerpo derecho, localizado en el km: 140+620, del arco norte de la ciudad de México, tramo entronque México –Querétaro – Atlacomulco, Estado de México”.

ANEXO PLANOS ESTRUCTURALES

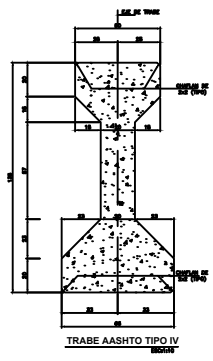
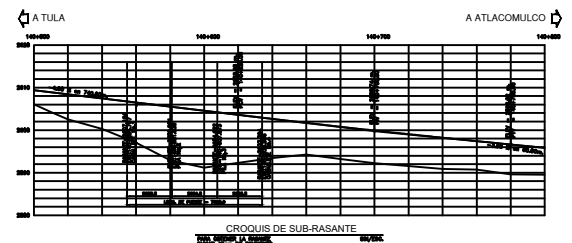




GEOMETRIA DEL ALINEAMIENTO HORIZONTAL

DATOS DE LA CURVA

| STACION | PC | PT | PI | PC | PT | PI | PC | PT | PI |
|---------|-----------|-----------|-----------|-----------|-----------|-----------|-----------|-----------|-----------|
| 1 | 10+000.00 | 10+100.00 | 10+200.00 | 10+300.00 | 10+400.00 | 10+500.00 | 10+600.00 | 10+700.00 | 10+800.00 |



- LISTA DE PLANOS
- 1. PLAN GENERAL
 - 2. PLAN DE ALINEAMIENTO
 - 3. PLAN DE SECCIONES TRANSVERSALES
 - 4. PLAN DE CROQUIS DE LOCALIZACION
 - 5. PLAN DE CROQUIS DE SUB-RASANTE
 - 6. PLAN DE CROQUIS DE LOCALIZACION DE OBRAS DE OBRERA
 - 7. PLAN DE CROQUIS DE LOCALIZACION DE OBRAS DE OBRERA
 - 8. PLAN DE CROQUIS DE LOCALIZACION DE OBRAS DE OBRERA
 - 9. PLAN DE CROQUIS DE LOCALIZACION DE OBRAS DE OBRERA
 - 10. PLAN DE CROQUIS DE LOCALIZACION DE OBRAS DE OBRERA

RESUMEN DE MATERIALES

GUARNICIONES, PARAPETOS Y DRENES

| | |
|--------------------------------------|-------|
| CONCRETO F-1500 kg/m ³ en | 10.00 |
| ACERO #4 kg/m ³ en | 1.00 |
| ACERO #6 kg/m ³ en | 1.00 |
| ACERO #8 kg/m ³ en | 1.00 |
| ACERO #10 kg/m ³ en | 1.00 |
| ACERO #12 kg/m ³ en | 1.00 |
| ACERO #14 kg/m ³ en | 1.00 |
| ACERO #16 kg/m ³ en | 1.00 |
| ACERO #18 kg/m ³ en | 1.00 |
| ACERO #20 kg/m ³ en | 1.00 |
| ACERO #22 kg/m ³ en | 1.00 |
| ACERO #24 kg/m ³ en | 1.00 |
| ACERO #26 kg/m ³ en | 1.00 |
| ACERO #28 kg/m ³ en | 1.00 |
| ACERO #30 kg/m ³ en | 1.00 |
| ACERO #32 kg/m ³ en | 1.00 |
| ACERO #34 kg/m ³ en | 1.00 |
| ACERO #36 kg/m ³ en | 1.00 |
| ACERO #38 kg/m ³ en | 1.00 |
| ACERO #40 kg/m ³ en | 1.00 |
| ACERO #42 kg/m ³ en | 1.00 |
| ACERO #44 kg/m ³ en | 1.00 |
| ACERO #46 kg/m ³ en | 1.00 |
| ACERO #48 kg/m ³ en | 1.00 |
| ACERO #50 kg/m ³ en | 1.00 |
| ACERO #52 kg/m ³ en | 1.00 |
| ACERO #54 kg/m ³ en | 1.00 |
| ACERO #56 kg/m ³ en | 1.00 |
| ACERO #58 kg/m ³ en | 1.00 |
| ACERO #60 kg/m ³ en | 1.00 |
| ACERO #62 kg/m ³ en | 1.00 |
| ACERO #64 kg/m ³ en | 1.00 |
| ACERO #66 kg/m ³ en | 1.00 |
| ACERO #68 kg/m ³ en | 1.00 |
| ACERO #70 kg/m ³ en | 1.00 |
| ACERO #72 kg/m ³ en | 1.00 |
| ACERO #74 kg/m ³ en | 1.00 |
| ACERO #76 kg/m ³ en | 1.00 |
| ACERO #78 kg/m ³ en | 1.00 |
| ACERO #80 kg/m ³ en | 1.00 |
| ACERO #82 kg/m ³ en | 1.00 |
| ACERO #84 kg/m ³ en | 1.00 |
| ACERO #86 kg/m ³ en | 1.00 |
| ACERO #88 kg/m ³ en | 1.00 |
| ACERO #90 kg/m ³ en | 1.00 |
| ACERO #92 kg/m ³ en | 1.00 |
| ACERO #94 kg/m ³ en | 1.00 |
| ACERO #96 kg/m ³ en | 1.00 |
| ACERO #98 kg/m ³ en | 1.00 |
| ACERO #100 kg/m ³ en | 1.00 |

SUPERESTRUCTURA

SUBESTRUCTURA

ACCESOS DE 40mts.

CAMINO SECUNDARIO



ESTADISTICA

SECRETARIA DE COMUNICACIONES Y TRANSPORTES

DIRECCION GENERAL DE CARRITERAS

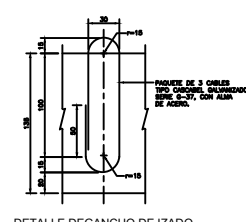
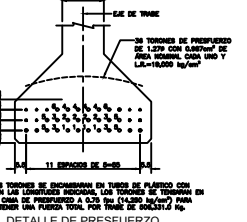
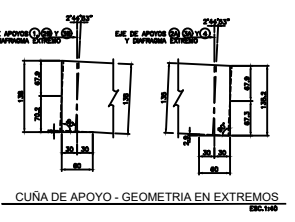
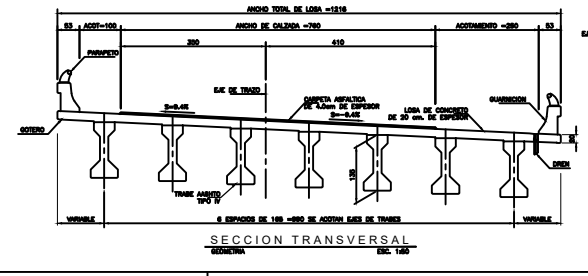
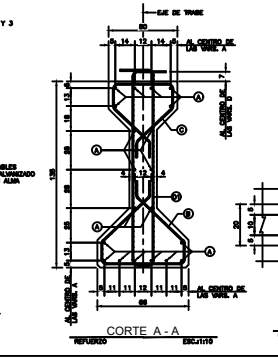
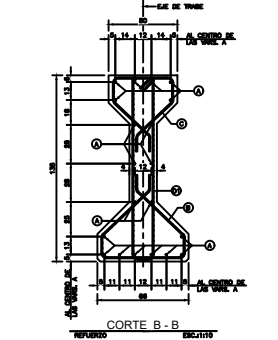
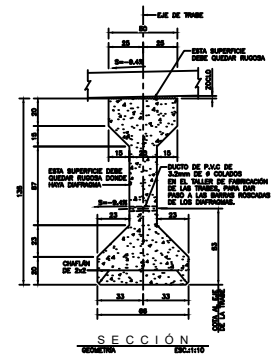
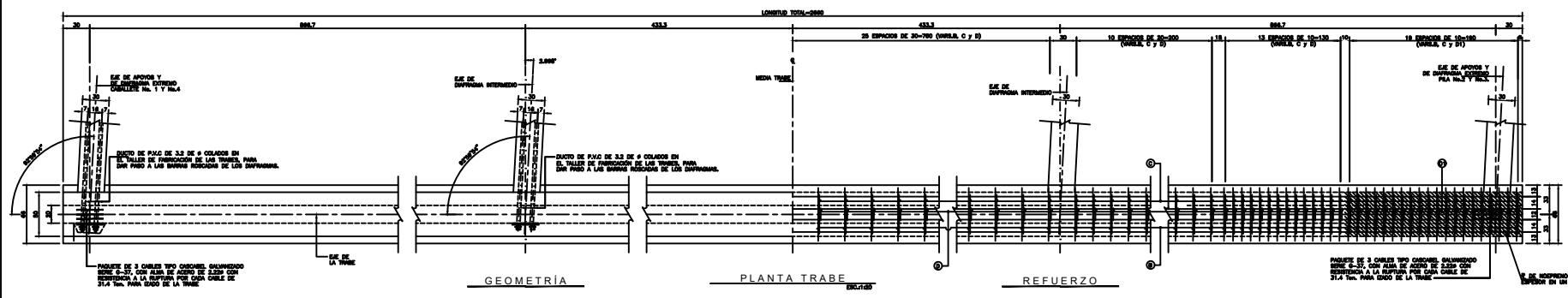
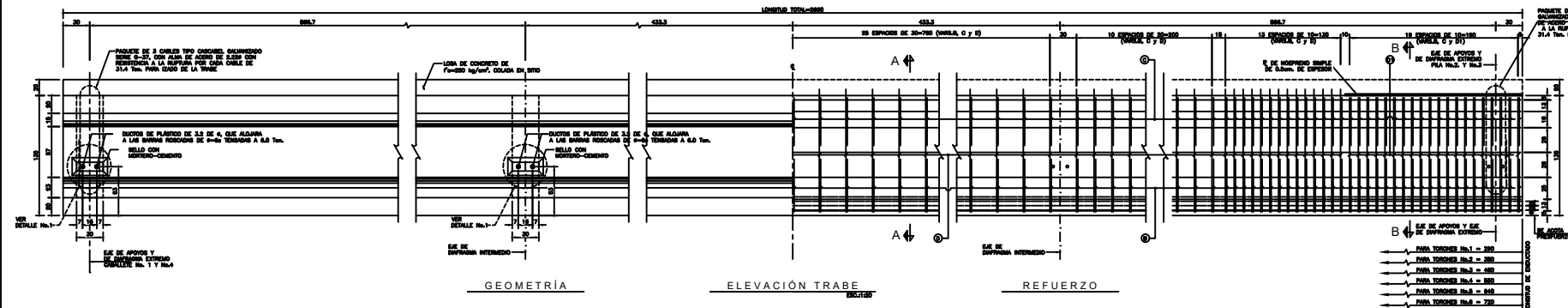
PUNTE SIN NOMBRE

KM 140+620 CUERPO DERECHO

PLANO GENERAL

NO. 10544-01





| VAR. | DIAM. | QUANT. | TIPO | CROQUIS | h | b | AREA | AREA |
|------|-------|--------|------|---------|-----|-----|------|------|
| A | 44 | 20 | 200 | | 200 | 44 | 176 | 207 |
| B | 24 | 141 | 200 | | 44 | 141 | 176 | 176 |
| C | 24 | 141 | 100 | | 44 | 141 | 100 | 140 |
| D | 24 | 121 | 200 | | 137 | 141 | 200 | 222 |
| E | 24 | 20 | 200 | | 137 | 141 | 200 | 20 |
| F | 24 | 20 | 200 | | 137 | 141 | 200 | 20 |
| G | 24 | 20 | 200 | | 137 | 141 | 200 | 20 |

| RESUMEN DE MATERIALES (UNA TRABE) | |
|---|----------------------|
| CONCRETO DE F=200 kg/m ³ | 13.1 M ³ |
| ACERO DE REFUERZO DE Fy=420 kg/cm ² | 1.128 M ³ |
| CONCRETO BALASTADO M800 0-20, CON AGUA DE ACIDO DE S.S.P. | 1.822 M ³ |
| ACERO DE PRESFUERZO 5mm-1000, 1.2 CM DE DIAMETRO, BUNA RELAJACION | 741.1 M ³ |
| DUCTO DE PLASTICO DE 3.5 DE A COLADO EN EL TUBO DE PERFORACION DE LOS TRABES, PARA SER PUNTO A LAS BARRAS REFORZAS DE LOS SOPORTES. | 191.4 M ³ |
| DUCTO DE PLASTICO DE 3.5 CM PARA SER PUNTO A VAR. 40 | 1.4 M ³ |
| PLACA DE RESPALDO SIMPLE DE 0.80x0.80 CM (1 PZ) | 6.0 UNDS. |

| RESUMEN DE MATERIALES (14 TRABES) | |
|---|-----------------------|
| CONCRETO DE F=200 kg/m ³ | 182.4 M ³ |
| ACERO DE REFUERZO DE Fy=420 kg/cm ² | 15.894 M ³ |
| CONCRETO BALASTADO M800 0-20, CON AGUA DE ACIDO DE S.S.P. | 264.6 M ³ |
| ACERO DE PRESFUERZO 5mm-1000, 1.2 CM DE DIAMETRO, BUNA RELAJACION | 10.384 M ³ |
| DUCTO DE PLASTICO DE 3.5 DE A COLADO EN EL TUBO DE PERFORACION DE LOS TRABES, PARA SER PUNTO A LAS BARRAS REFORZAS DE LOS SOPORTES. | 268.4 M ³ |
| DUCTO DE PLASTICO DE 3.5 CM PARA SER PUNTO A VAR. 40 | 19.4 M ³ |
| PLACA DE RESPALDO SIMPLE DE 0.80x0.80 CM | 75.0 UNDS. |



NOTAS
 1- APLICACIONES EN CONCRETOS EXCEPTO MEDIDAS EN OTRA UNIDAD.
 2- E.C. E. EN PARTICULAR LE QUE CORRESPONDA A LOS MATERIALES OBTENIDOS.
 3- E.C. E. EN PARTICULAR LE QUE CORRESPONDA A LOS MATERIALES OBTENIDOS.
 4- E.C. E. EN PARTICULAR LE QUE CORRESPONDA A LOS MATERIALES OBTENIDOS.
 5- E.C. E. EN PARTICULAR LE QUE CORRESPONDA A LOS MATERIALES OBTENIDOS.
 6- E.C. E. EN PARTICULAR LE QUE CORRESPONDA A LOS MATERIALES OBTENIDOS.
 7- E.C. E. EN PARTICULAR LE QUE CORRESPONDA A LOS MATERIALES OBTENIDOS.
 8- E.C. E. EN PARTICULAR LE QUE CORRESPONDA A LOS MATERIALES OBTENIDOS.
 9- E.C. E. EN PARTICULAR LE QUE CORRESPONDA A LOS MATERIALES OBTENIDOS.
 10- E.C. E. EN PARTICULAR LE QUE CORRESPONDA A LOS MATERIALES OBTENIDOS.
 11- E.C. E. EN PARTICULAR LE QUE CORRESPONDA A LOS MATERIALES OBTENIDOS.
 12- E.C. E. EN PARTICULAR LE QUE CORRESPONDA A LOS MATERIALES OBTENIDOS.
 13- E.C. E. EN PARTICULAR LE QUE CORRESPONDA A LOS MATERIALES OBTENIDOS.
 14- E.C. E. EN PARTICULAR LE QUE CORRESPONDA A LOS MATERIALES OBTENIDOS.
 15- E.C. E. EN PARTICULAR LE QUE CORRESPONDA A LOS MATERIALES OBTENIDOS.
 16- E.C. E. EN PARTICULAR LE QUE CORRESPONDA A LOS MATERIALES OBTENIDOS.
 17- E.C. E. EN PARTICULAR LE QUE CORRESPONDA A LOS MATERIALES OBTENIDOS.
 18- E.C. E. EN PARTICULAR LE QUE CORRESPONDA A LOS MATERIALES OBTENIDOS.
 19- E.C. E. EN PARTICULAR LE QUE CORRESPONDA A LOS MATERIALES OBTENIDOS.
 20- E.C. E. EN PARTICULAR LE QUE CORRESPONDA A LOS MATERIALES OBTENIDOS.

JUNTAS DE CONSTRUCCION
 1- EL COLADO ENTRE APORTE DE CONSTRUCCION DEBERA HACERSE EN UNA SOLA CORRIDA SIN INTERRUPCION, PARA APLICAR DEL REFORZO CORRESPONDIENTE.
 2- EL COLADO ENTRE APORTE DE CONSTRUCCION DEBERA HACERSE EN UNA SOLA CORRIDA SIN INTERRUPCION, PARA APLICAR DEL REFORZO CORRESPONDIENTE.
 3- EL COLADO ENTRE APORTE DE CONSTRUCCION DEBERA HACERSE EN UNA SOLA CORRIDA SIN INTERRUPCION, PARA APLICAR DEL REFORZO CORRESPONDIENTE.
 4- EL COLADO ENTRE APORTE DE CONSTRUCCION DEBERA HACERSE EN UNA SOLA CORRIDA SIN INTERRUPCION, PARA APLICAR DEL REFORZO CORRESPONDIENTE.
 5- EL COLADO ENTRE APORTE DE CONSTRUCCION DEBERA HACERSE EN UNA SOLA CORRIDA SIN INTERRUPCION, PARA APLICAR DEL REFORZO CORRESPONDIENTE.
 6- EL COLADO ENTRE APORTE DE CONSTRUCCION DEBERA HACERSE EN UNA SOLA CORRIDA SIN INTERRUPCION, PARA APLICAR DEL REFORZO CORRESPONDIENTE.
 7- EL COLADO ENTRE APORTE DE CONSTRUCCION DEBERA HACERSE EN UNA SOLA CORRIDA SIN INTERRUPCION, PARA APLICAR DEL REFORZO CORRESPONDIENTE.
 8- EL COLADO ENTRE APORTE DE CONSTRUCCION DEBERA HACERSE EN UNA SOLA CORRIDA SIN INTERRUPCION, PARA APLICAR DEL REFORZO CORRESPONDIENTE.
 9- EL COLADO ENTRE APORTE DE CONSTRUCCION DEBERA HACERSE EN UNA SOLA CORRIDA SIN INTERRUPCION, PARA APLICAR DEL REFORZO CORRESPONDIENTE.
 10- EL COLADO ENTRE APORTE DE CONSTRUCCION DEBERA HACERSE EN UNA SOLA CORRIDA SIN INTERRUPCION, PARA APLICAR DEL REFORZO CORRESPONDIENTE.
 11- EL COLADO ENTRE APORTE DE CONSTRUCCION DEBERA HACERSE EN UNA SOLA CORRIDA SIN INTERRUPCION, PARA APLICAR DEL REFORZO CORRESPONDIENTE.
 12- EL COLADO ENTRE APORTE DE CONSTRUCCION DEBERA HACERSE EN UNA SOLA CORRIDA SIN INTERRUPCION, PARA APLICAR DEL REFORZO CORRESPONDIENTE.
 13- EL COLADO ENTRE APORTE DE CONSTRUCCION DEBERA HACERSE EN UNA SOLA CORRIDA SIN INTERRUPCION, PARA APLICAR DEL REFORZO CORRESPONDIENTE.
 14- EL COLADO ENTRE APORTE DE CONSTRUCCION DEBERA HACERSE EN UNA SOLA CORRIDA SIN INTERRUPCION, PARA APLICAR DEL REFORZO CORRESPONDIENTE.
 15- EL COLADO ENTRE APORTE DE CONSTRUCCION DEBERA HACERSE EN UNA SOLA CORRIDA SIN INTERRUPCION, PARA APLICAR DEL REFORZO CORRESPONDIENTE.
 16- EL COLADO ENTRE APORTE DE CONSTRUCCION DEBERA HACERSE EN UNA SOLA CORRIDA SIN INTERRUPCION, PARA APLICAR DEL REFORZO CORRESPONDIENTE.
 17- EL COLADO ENTRE APORTE DE CONSTRUCCION DEBERA HACERSE EN UNA SOLA CORRIDA SIN INTERRUPCION, PARA APLICAR DEL REFORZO CORRESPONDIENTE.
 18- EL COLADO ENTRE APORTE DE CONSTRUCCION DEBERA HACERSE EN UNA SOLA CORRIDA SIN INTERRUPCION, PARA APLICAR DEL REFORZO CORRESPONDIENTE.
 19- EL COLADO ENTRE APORTE DE CONSTRUCCION DEBERA HACERSE EN UNA SOLA CORRIDA SIN INTERRUPCION, PARA APLICAR DEL REFORZO CORRESPONDIENTE.
 20- EL COLADO ENTRE APORTE DE CONSTRUCCION DEBERA HACERSE EN UNA SOLA CORRIDA SIN INTERRUPCION, PARA APLICAR DEL REFORZO CORRESPONDIENTE.

RECOMENDACIONES DE CONSTRUCCION
 1- SE DEBE REALIZAR EL ACERQUE EN UN MOMENTO EN EL QUE EL CONCRETO YA HAYA PERDIDO LA MAYOR PARTE DEL AGUA DE CURADO, PARA EVITAR LA FORMACION DE AGRIETAS.
 2- SE DEBE REALIZAR EL ACERQUE EN UN MOMENTO EN EL QUE EL CONCRETO YA HAYA PERDIDO LA MAYOR PARTE DEL AGUA DE CURADO, PARA EVITAR LA FORMACION DE AGRIETAS.
 3- SE DEBE REALIZAR EL ACERQUE EN UN MOMENTO EN EL QUE EL CONCRETO YA HAYA PERDIDO LA MAYOR PARTE DEL AGUA DE CURADO, PARA EVITAR LA FORMACION DE AGRIETAS.
 4- SE DEBE REALIZAR EL ACERQUE EN UN MOMENTO EN EL QUE EL CONCRETO YA HAYA PERDIDO LA MAYOR PARTE DEL AGUA DE CURADO, PARA EVITAR LA FORMACION DE AGRIETAS.
 5- SE DEBE REALIZAR EL ACERQUE EN UN MOMENTO EN EL QUE EL CONCRETO YA HAYA PERDIDO LA MAYOR PARTE DEL AGUA DE CURADO, PARA EVITAR LA FORMACION DE AGRIETAS.
 6- SE DEBE REALIZAR EL ACERQUE EN UN MOMENTO EN EL QUE EL CONCRETO YA HAYA PERDIDO LA MAYOR PARTE DEL AGUA DE CURADO, PARA EVITAR LA FORMACION DE AGRIETAS.
 7- SE DEBE REALIZAR EL ACERQUE EN UN MOMENTO EN EL QUE EL CONCRETO YA HAYA PERDIDO LA MAYOR PARTE DEL AGUA DE CURADO, PARA EVITAR LA FORMACION DE AGRIETAS.
 8- SE DEBE REALIZAR EL ACERQUE EN UN MOMENTO EN EL QUE EL CONCRETO YA HAYA PERDIDO LA MAYOR PARTE DEL AGUA DE CURADO, PARA EVITAR LA FORMACION DE AGRIETAS.
 9- SE DEBE REALIZAR EL ACERQUE EN UN MOMENTO EN EL QUE EL CONCRETO YA HAYA PERDIDO LA MAYOR PARTE DEL AGUA DE CURADO, PARA EVITAR LA FORMACION DE AGRIETAS.
 10- SE DEBE REALIZAR EL ACERQUE EN UN MOMENTO EN EL QUE EL CONCRETO YA HAYA PERDIDO LA MAYOR PARTE DEL AGUA DE CURADO, PARA EVITAR LA FORMACION DE AGRIETAS.
 11- SE DEBE REALIZAR EL ACERQUE EN UN MOMENTO EN EL QUE EL CONCRETO YA HAYA PERDIDO LA MAYOR PARTE DEL AGUA DE CURADO, PARA EVITAR LA FORMACION DE AGRIETAS.
 12- SE DEBE REALIZAR EL ACERQUE EN UN MOMENTO EN EL QUE EL CONCRETO YA HAYA PERDIDO LA MAYOR PARTE DEL AGUA DE CURADO, PARA EVITAR LA FORMACION DE AGRIETAS.
 13- SE DEBE REALIZAR EL ACERQUE EN UN MOMENTO EN EL QUE EL CONCRETO YA HAYA PERDIDO LA MAYOR PARTE DEL AGUA DE CURADO, PARA EVITAR LA FORMACION DE AGRIETAS.
 14- SE DEBE REALIZAR EL ACERQUE EN UN MOMENTO EN EL QUE EL CONCRETO YA HAYA PERDIDO LA MAYOR PARTE DEL AGUA DE CURADO, PARA EVITAR LA FORMACION DE AGRIETAS.
 15- SE DEBE REALIZAR EL ACERQUE EN UN MOMENTO EN EL QUE EL CONCRETO YA HAYA PERDIDO LA MAYOR PARTE DEL AGUA DE CURADO, PARA EVITAR LA FORMACION DE AGRIETAS.
 16- SE DEBE REALIZAR EL ACERQUE EN UN MOMENTO EN EL QUE EL CONCRETO YA HAYA PERDIDO LA MAYOR PARTE DEL AGUA DE CURADO, PARA EVITAR LA FORMACION DE AGRIETAS.
 17- SE DEBE REALIZAR EL ACERQUE EN UN MOMENTO EN EL QUE EL CONCRETO YA HAYA PERDIDO LA MAYOR PARTE DEL AGUA DE CURADO, PARA EVITAR LA FORMACION DE AGRIETAS.
 18- SE DEBE REALIZAR EL ACERQUE EN UN MOMENTO EN EL QUE EL CONCRETO YA HAYA PERDIDO LA MAYOR PARTE DEL AGUA DE CURADO, PARA EVITAR LA FORMACION DE AGRIETAS.
 19- SE DEBE REALIZAR EL ACERQUE EN UN MOMENTO EN EL QUE EL CONCRETO YA HAYA PERDIDO LA MAYOR PARTE DEL AGUA DE CURADO, PARA EVITAR LA FORMACION DE AGRIETAS.
 20- SE DEBE REALIZAR EL ACERQUE EN UN MOMENTO EN EL QUE EL CONCRETO YA HAYA PERDIDO LA MAYOR PARTE DEL AGUA DE CURADO, PARA EVITAR LA FORMACION DE AGRIETAS.

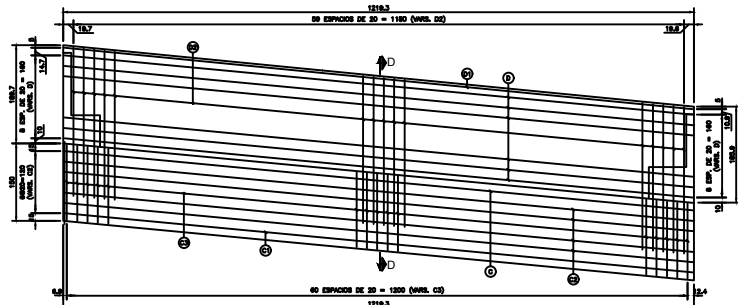


SECRETARIA DE COMUNICACIONES Y TRANSPORTES
 DIRECCION GENERAL DE CARRETERAS
 PUENTE SIN NOMBRE
 KM 140+620 CUERPO DERECHO
 TRABE AASHITO IV CLARO 1-2 Y
 3-4 (GEOMETRIA Y REFUERZO)

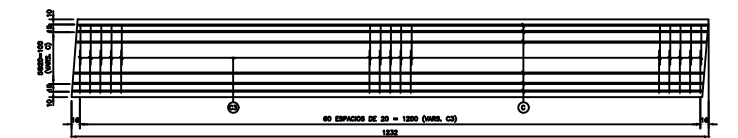
PROYECTISTA: Ing. Agustin Milla Jimenez
CONSTRUCTORIA: Ing. Agustin Milla Jimenez

REVISOR: Ing. Agustin Milla Jimenez
APROBADO: Ing. Agustin Milla Jimenez

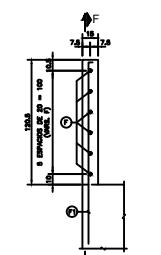
FECHA: 05/08/2010
NO.: 16544-04



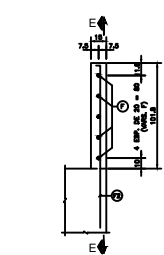
ELEVACION - CABEZAL Y DIAFRAGMA EDC109



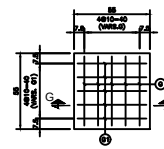
PLANTA CABEZAL EDC110



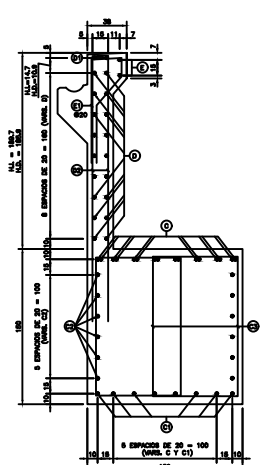
MURO PANTALLA No.1 EDC110



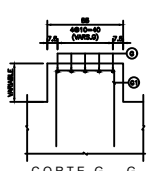
MURO PANTALLA No.2 EDC110



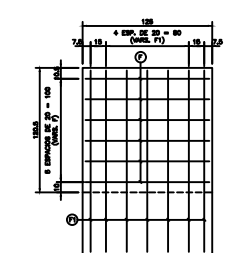
PLANTA - BANCO APOYO EDC111



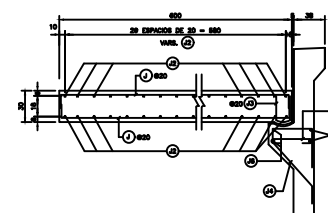
CORTE D - D EDC112



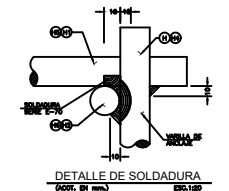
CORTE G - G EDC113



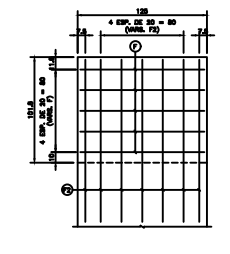
CORTE F - F EDC114



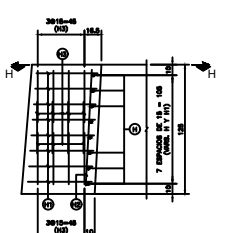
ELEVACION - LOSA DE ACCESO EDC115



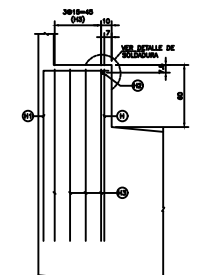
DETALLE DE SOLDADURA EDC116



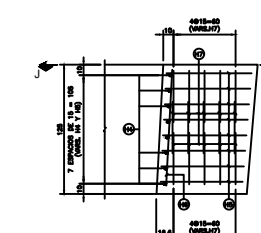
CORTE E - E EDC117



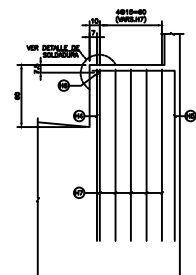
PLANTA TOPE SISMICO No.1 EDC118



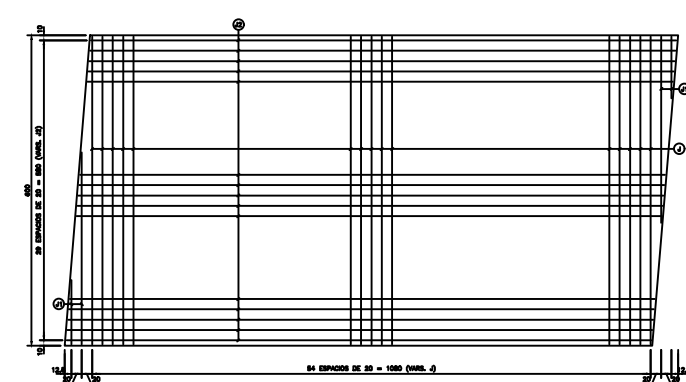
CORTE H - H EDC119



PLANTA TOPE SISMICO No.2 EDC120



CORTE J - J EDC121



PLANTA - LOSA DE ACCESO EDC122

| LISTA DE VARILLAS | | | | | | | | | |
|-------------------|-------|---------|----------|-----------|-----|-----|------|---------|---------|
| VAR. | DIAM. | CONTADO | LONGITUD | CROQUIS | # | Q | A | REMARKS | REMARKS |
| 1 | 10 | 10 | 1000 | [Diagram] | 100 | 100 | 1000 | | |
| 2 | 10 | 10 | 1000 | [Diagram] | 100 | 100 | 1000 | | |
| 3 | 10 | 10 | 1000 | [Diagram] | 100 | 100 | 1000 | | |
| 4 | 10 | 10 | 1000 | [Diagram] | 100 | 100 | 1000 | | |
| 5 | 10 | 10 | 1000 | [Diagram] | 100 | 100 | 1000 | | |
| 6 | 10 | 10 | 1000 | [Diagram] | 100 | 100 | 1000 | | |
| 7 | 10 | 10 | 1000 | [Diagram] | 100 | 100 | 1000 | | |
| 8 | 10 | 10 | 1000 | [Diagram] | 100 | 100 | 1000 | | |
| 9 | 10 | 10 | 1000 | [Diagram] | 100 | 100 | 1000 | | |
| 10 | 10 | 10 | 1000 | [Diagram] | 100 | 100 | 1000 | | |
| 11 | 10 | 10 | 1000 | [Diagram] | 100 | 100 | 1000 | | |
| 12 | 10 | 10 | 1000 | [Diagram] | 100 | 100 | 1000 | | |
| 13 | 10 | 10 | 1000 | [Diagram] | 100 | 100 | 1000 | | |
| 14 | 10 | 10 | 1000 | [Diagram] | 100 | 100 | 1000 | | |
| 15 | 10 | 10 | 1000 | [Diagram] | 100 | 100 | 1000 | | |
| 16 | 10 | 10 | 1000 | [Diagram] | 100 | 100 | 1000 | | |
| 17 | 10 | 10 | 1000 | [Diagram] | 100 | 100 | 1000 | | |
| 18 | 10 | 10 | 1000 | [Diagram] | 100 | 100 | 1000 | | |
| 19 | 10 | 10 | 1000 | [Diagram] | 100 | 100 | 1000 | | |
| 20 | 10 | 10 | 1000 | [Diagram] | 100 | 100 | 1000 | | |
| 21 | 10 | 10 | 1000 | [Diagram] | 100 | 100 | 1000 | | |
| 22 | 10 | 10 | 1000 | [Diagram] | 100 | 100 | 1000 | | |
| 23 | 10 | 10 | 1000 | [Diagram] | 100 | 100 | 1000 | | |
| 24 | 10 | 10 | 1000 | [Diagram] | 100 | 100 | 1000 | | |
| 25 | 10 | 10 | 1000 | [Diagram] | 100 | 100 | 1000 | | |
| 26 | 10 | 10 | 1000 | [Diagram] | 100 | 100 | 1000 | | |
| 27 | 10 | 10 | 1000 | [Diagram] | 100 | 100 | 1000 | | |
| 28 | 10 | 10 | 1000 | [Diagram] | 100 | 100 | 1000 | | |
| 29 | 10 | 10 | 1000 | [Diagram] | 100 | 100 | 1000 | | |
| 30 | 10 | 10 | 1000 | [Diagram] | 100 | 100 | 1000 | | |
| 31 | 10 | 10 | 1000 | [Diagram] | 100 | 100 | 1000 | | |
| 32 | 10 | 10 | 1000 | [Diagram] | 100 | 100 | 1000 | | |
| 33 | 10 | 10 | 1000 | [Diagram] | 100 | 100 | 1000 | | |
| 34 | 10 | 10 | 1000 | [Diagram] | 100 | 100 | 1000 | | |
| 35 | 10 | 10 | 1000 | [Diagram] | 100 | 100 | 1000 | | |
| 36 | 10 | 10 | 1000 | [Diagram] | 100 | 100 | 1000 | | |
| 37 | 10 | 10 | 1000 | [Diagram] | 100 | 100 | 1000 | | |
| 38 | 10 | 10 | 1000 | [Diagram] | 100 | 100 | 1000 | | |
| 39 | 10 | 10 | 1000 | [Diagram] | 100 | 100 | 1000 | | |
| 40 | 10 | 10 | 1000 | [Diagram] | 100 | 100 | 1000 | | |
| 41 | 10 | 10 | 1000 | [Diagram] | 100 | 100 | 1000 | | |
| 42 | 10 | 10 | 1000 | [Diagram] | 100 | 100 | 1000 | | |
| 43 | 10 | 10 | 1000 | [Diagram] | 100 | 100 | 1000 | | |
| 44 | 10 | 10 | 1000 | [Diagram] | 100 | 100 | 1000 | | |
| 45 | 10 | 10 | 1000 | [Diagram] | 100 | 100 | 1000 | | |
| 46 | 10 | 10 | 1000 | [Diagram] | 100 | 100 | 1000 | | |
| 47 | 10 | 10 | 1000 | [Diagram] | 100 | 100 | 1000 | | |
| 48 | 10 | 10 | 1000 | [Diagram] | 100 | 100 | 1000 | | |
| 49 | 10 | 10 | 1000 | [Diagram] | 100 | 100 | 1000 | | |
| 50 | 10 | 10 | 1000 | [Diagram] | 100 | 100 | 1000 | | |
| 51 | 10 | 10 | 1000 | [Diagram] | 100 | 100 | 1000 | | |
| 52 | 10 | 10 | 1000 | [Diagram] | 100 | 100 | 1000 | | |
| 53 | 10 | 10 | 1000 | [Diagram] | 100 | 100 | 1000 | | |
| 54 | 10 | 10 | 1000 | [Diagram] | 100 | 100 | 1000 | | |
| 55 | 10 | 10 | 1000 | [Diagram] | 100 | 100 | 1000 | | |
| 56 | 10 | 10 | 1000 | [Diagram] | 100 | 100 | 1000 | | |
| 57 | 10 | 10 | 1000 | [Diagram] | 100 | 100 | 1000 | | |
| 58 | 10 | 10 | 1000 | [Diagram] | 100 | 100 | 1000 | | |
| 59 | 10 | 10 | 1000 | [Diagram] | 100 | 100 | 1000 | | |
| 60 | 10 | 10 | 1000 | [Diagram] | 100 | 100 | 1000 | | |
| 61 | 10 | 10 | 1000 | [Diagram] | 100 | 100 | 1000 | | |
| 62 | 10 | 10 | 1000 | [Diagram] | 100 | 100 | 1000 | | |
| 63 | 10 | 10 | 1000 | [Diagram] | 100 | 100 | 1000 | | |
| 64 | 10 | 10 | 1000 | [Diagram] | 100 | 100 | 1000 | | |
| 65 | 10 | 10 | 1000 | [Diagram] | 100 | 100 | 1000 | | |
| 66 | 10 | 10 | 1000 | [Diagram] | 100 | 100 | 1000 | | |
| 67 | 10 | 10 | 1000 | [Diagram] | 100 | 100 | 1000 | | |
| 68 | 10 | 10 | 1000 | [Diagram] | 100 | 100 | 1000 | | |
| 69 | 10 | 10 | 1000 | [Diagram] | 100 | 100 | 1000 | | |
| 70 | 10 | 10 | 1000 | [Diagram] | 100 | 100 | 1000 | | |
| 71 | 10 | 10 | 1000 | [Diagram] | 100 | 100 | 1000 | | |
| 72 | 10 | 10 | 1000 | [Diagram] | 100 | 100 | 1000 | | |
| 73 | 10 | 10 | 1000 | [Diagram] | 100 | 100 | 1000 | | |
| 74 | 10 | 10 | 1000 | [Diagram] | 100 | 100 | 1000 | | |
| 75 | 10 | 10 | 1000 | [Diagram] | 100 | 100 | 1000 | | |
| 76 | 10 | 10 | 1000 | [Diagram] | 100 | 100 | 1000 | | |
| 77 | 10 | 10 | 1000 | [Diagram] | 100 | 100 | 1000 | | |
| 78 | 10 | 10 | 1000 | [Diagram] | 100 | 100 | 1000 | | |
| 79 | 10 | 10 | 1000 | [Diagram] | 100 | 100 | 1000 | | |
| 80 | 10 | 10 | 1000 | [Diagram] | 100 | 100 | 1000 | | |
| 81 | 10 | 10 | 1000 | [Diagram] | 100 | 100 | 1000 | | |
| 82 | 10 | 10 | 1000 | [Diagram] | 100 | 100 | 1000 | | |
| 83 | 10 | 10 | 1000 | [Diagram] | 100 | 100 | 1000 | | |
| 84 | 10 | 10 | 1000 | [Diagram] | 100 | 100 | 1000 | | |
| 85 | 10 | 10 | 1000 | [Diagram] | 100 | 100 | 1000 | | |
| 86 | 10 | 10 | 1000 | [Diagram] | 100 | 100 | 1000 | | |
| 87 | 10 | 10 | 1000 | [Diagram] | 100 | 100 | 1000 | | |
| 88 | 10 | 10 | 1000 | [Diagram] | 100 | 100 | 1000 | | |
| 89 | 10 | 10 | 1000 | [Diagram] | 100 | 100 | 1000 | | |
| 90 | 10 | 10 | 1000 | [Diagram] | 100 | 100 | 1000 | | |
| 91 | 10 | 10 | 1000 | [Diagram] | 100 | 100 | 1000 | | |
| 92 | 10 | 10 | 1000 | [Diagram] | 100 | 100 | 1000 | | |
| 93 | 10 | 10 | 1000 | [Diagram] | 100 | 100 | 1000 | | |
| 94 | 10 | 10 | 1000 | [Diagram] | 100 | 100 | 1000 | | |
| 95 | 10 | 10 | 1000 | [Diagram] | 100 | 100 | 1000 | | |
| 96 | 10 | 10 | 1000 | [Diagram] | 100 | 100 | 1000 | | |
| 97 | 10 | 10 | 1000 | [Diagram] | 100 | 100 | 1000 | | |
| 98 | 10 | 10 | 1000 | [Diagram] | 100 | 100 | 1000 | | |
| 99 | 10 | 10 | 1000 | [Diagram] | 100 | 100 | 1000 | | |
| 100 | 10 | 10 | 1000 | [Diagram] | 100 | 100 | 1000 | | |

RESUMEN DE MATERIALES

| | |
|--|-----------|
| CONCRETO DE Fc = 280 kg/cm² | 123.3 m³ |
| ACERO | 84.1 m³ |
| CABEZAL, TOPE, BANCO, DIAFRAGMA, LOSA DE ACCESO, PANTALLAS, ETC. | 84.1 m³ |
| ACERO DE REFORZO CON Fy=280 kg/cm² | 16,860 kg |
| ACERO | 16,860 kg |
| CABEZAL, TOPE, BANCO, DIAFRAGMA, LOSA DE ACCESO, PANTALLAS, ETC. | 16,860 kg |
| PLACA DE REFORZO ANTE ESCASA DUREZA EN SU APOYO | 118.1 m³ |
| PLACA DE ACERO ENTRENADA, 4-20 EN APOYO | 25.0 m³ |
| PLACA DE REFORZO ANTE ESCASA DUREZA EN SU TOPE SISMICO | 25.0 m³ |
| CONCRETO DE Fc = 180 kg/cm² EN PURLILLAS | 25.0 m³ |
| ACERO DE REFORZO | 25.0 m³ |
| ACERO DE REFORZO | 25.0 m³ |
| PERNO APRIADO DE 20mm DE DIAMETRO | 2.0 m |
| MURO MECANICAMENTE CONECTADO | 847.2 m |

NOTAS
 1.- ADICIONES DE COMPLEMENTOS EXCEPTO INDICADOS EN OTRA HOJA.
 2.- ELIMINACIONES EN NEGRO.
ESPECIFICACIONES
 3.- LA UNIDAD UNICA DE LAS ESPECIFICACIONES GENERALES DE CONSTRUCCION DE LA S. C. T. EN PARTICULAR LA QUE CORRESPONDA A LOS MATERIALES CERRADOS.
 4.- EL ACERO DE REFORZO DEBE SER DE CLASE A-60.
 5.- EL ACERO DE REFORZO DEBE SER DE CLASE A-60.
 6.- EL ACERO DE REFORZO DEBE SER DE CLASE A-60.
 7.- EL ACERO DE REFORZO DEBE SER DE CLASE A-60.
 8.- EL ACERO DE REFORZO DEBE SER DE CLASE A-60.
 9.- EL ACERO DE REFORZO DEBE SER DE CLASE A-60.
 10.- EL ACERO DE REFORZO DEBE SER DE CLASE A-60.
 11.- EL ACERO DE REFORZO DEBE SER DE CLASE A-60.
 12.- EL ACERO DE REFORZO DEBE SER DE CLASE A-60.
 13.- EL ACERO DE REFORZO DEBE SER DE CLASE A-60.
 14.- EL ACERO DE REFORZO DEBE SER DE CLASE A-60.
 15.- EL ACERO DE REFORZO DEBE SER DE CLASE A-60.
 16.- EL ACERO DE REFORZO DEBE SER DE CLASE A-60.
 17.- EL ACERO DE REFORZO DEBE SER DE CLASE A-60.
 18.- EL ACERO DE REFORZO DEBE SER DE CLASE A-60.
 19.- EL ACERO DE REFORZO DEBE SER DE CLASE A-60.
 20.- EL ACERO DE REFORZO DEBE SER DE CLASE A-60.
 21.- EL ACERO DE REFORZO DEBE SER DE CLASE A-60.
 22.- EL ACERO DE REFORZO DEBE SER DE CLASE A-60.
 23.- EL ACERO DE REFORZO DEBE SER DE CLASE A-60.
 24.- EL ACERO DE REFORZO DEBE SER DE CLASE A-60.
 25.- EL ACERO DE REFORZO DEBE SER DE CLASE A-60.
 26.- EL ACERO DE REFORZO DEBE SER DE CLASE A-60.
 27.- EL ACERO DE REFORZO DEBE SER DE CLASE A-60.
 28.- EL ACERO DE REFORZO DEBE SER DE CLASE A-60.
 29.- EL ACERO DE REFORZO DEBE SER DE CLASE A-60.
 30.- EL ACERO DE REFORZO DEBE SER DE CLASE A-60.
 31.- EL ACERO DE REFORZO DEBE SER DE CLASE A-60.
 32.- EL ACERO DE REFORZO DEBE SER DE CLASE A-60.
 33.- EL ACERO DE REFORZO DEBE SER DE CLASE A-60.
 34.- EL ACERO DE REFORZO DEBE SER DE CLASE A-60.
 35.- EL ACERO DE REFORZO DEBE SER DE CLASE A-60.
 36.- EL ACERO DE REFORZO DEBE SER DE CLASE A-60.
 37.- EL ACERO DE REFORZO DEBE SER DE CLASE A-60.
 38.- EL ACERO DE REFORZO DEBE SER DE CLASE A-60.
 39.- EL ACERO DE REFORZO DEBE SER DE CLASE A-60.
 40.- EL ACERO DE REFORZO DEBE SER DE CLASE A-60.
 41.- EL ACERO DE REFORZO DEBE SER DE CLASE A-60.
 42.- EL ACERO DE REFORZO DEBE SER DE CLASE A-60.
 43.- EL ACERO DE REFORZO DEBE SER DE CLASE A-60.
 44.- EL ACERO DE REFORZO DEBE SER DE CLASE A-60.
 45.- EL ACERO DE REFORZO DEBE SER DE CLASE A-60.
 46.- EL ACERO DE REFORZO DEBE SER DE CLASE A-60.
 47.- EL ACERO DE REFORZO DEBE SER DE CLASE A-60.
 48.- EL ACERO DE REFORZO DEBE SER DE CLASE A-60.
 49.- EL ACERO DE REFORZO DEBE SER DE CLASE A-60.
 50.- EL ACERO DE REFORZO DEBE SER DE CLASE A-60.
 51.- EL ACERO DE REFORZO DEBE SER DE CLASE A-60.<

